



CORSO SUPERIORE SIFO IN FARMACIA CLINICA

Ed. 2015-2016 – II ANNO

Catania, 27 - 30 settembre 2016



I RADIOFARMACI

RUOLO DEL FARMACISTA IN MEDICINA NUCLEARE

Maria Concetta Fornito

U.O.C. Medicina Nucleare

P.O. Nesima A.R.N.A.S. GARIBALDI



LA MEDICINA NUCLEARE



- CHE ROBA È ...
- A COSA SERVE ...
- FA MALE ...

?



CHE COSA E'?

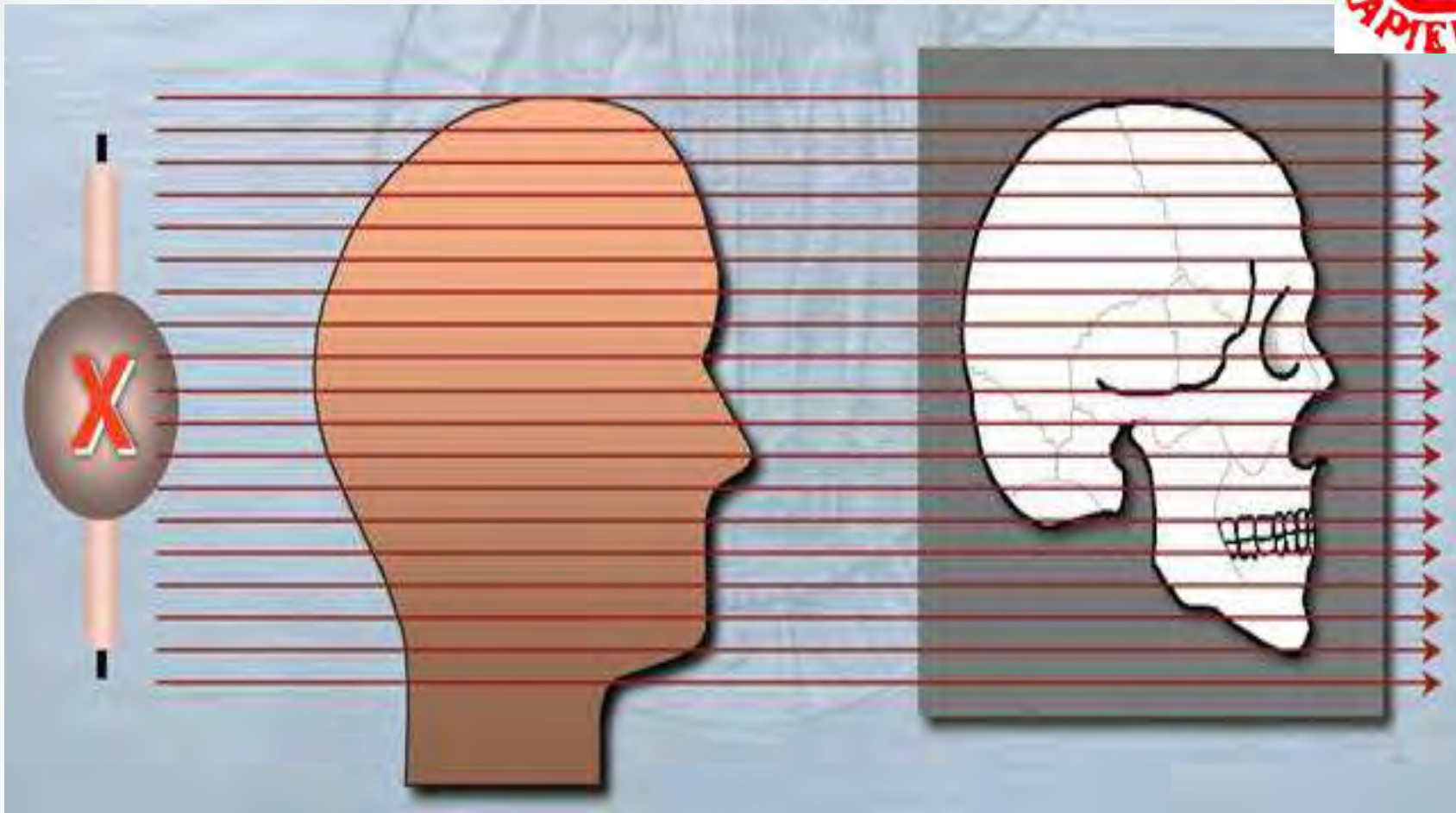


E' LA BRANCA SPECIALISTICA DELLA MEDICINA
CHE SI AVVALE DELL'USO DI RADIONUCLIDI A
SCOPO DIAGNOSTICO, TERAPEUTICO E DI
RICERCA BIOMEDICA.

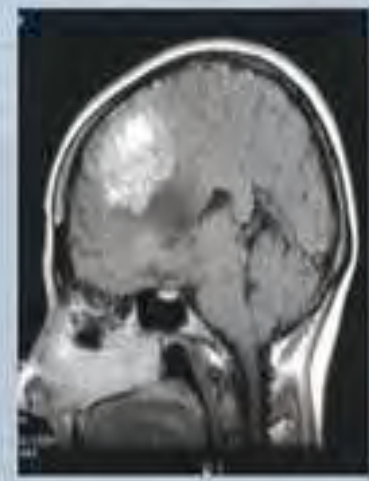
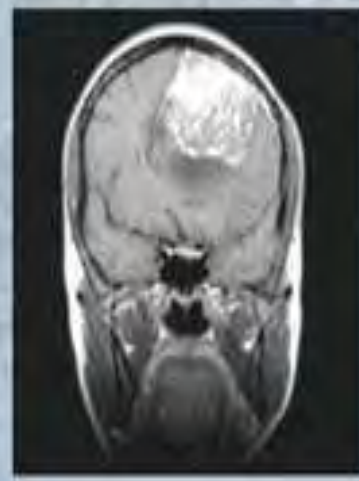
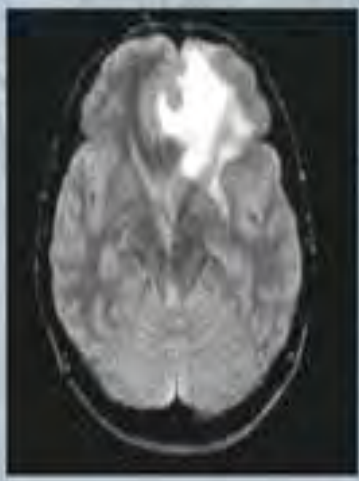
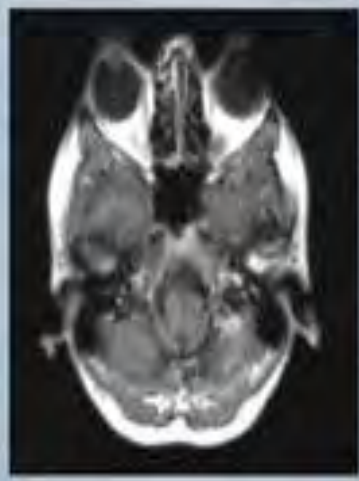
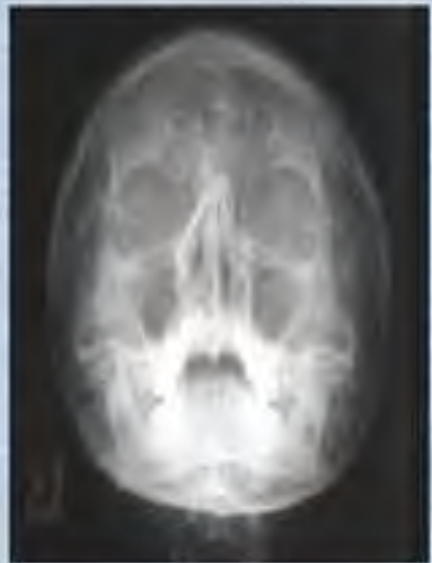
**PERMETTE L'INDAGINE "IN VIVO" DEI PROCESSI
BIOLOGICI, FISIOLOGICI E PATHOLOGICI.**

I RADIOISOTOPI, CONIUGATI A MOLECOLE O CELLULE CHE FUNGONO
DA VETTORI E LI RENDONO "**INTELLIGENTI**", VENGONO INTRODOTTI
NELL'ORGANISMO E PERMETTONO DI IDENTIFICARE ORGANI E TESSUTI
SANI E MALATI E, IN ALCUNI CASI, DI IRRADIARE I TESSUTI PATHOLOGICI

IMMAGINI RADIOLOGICHE

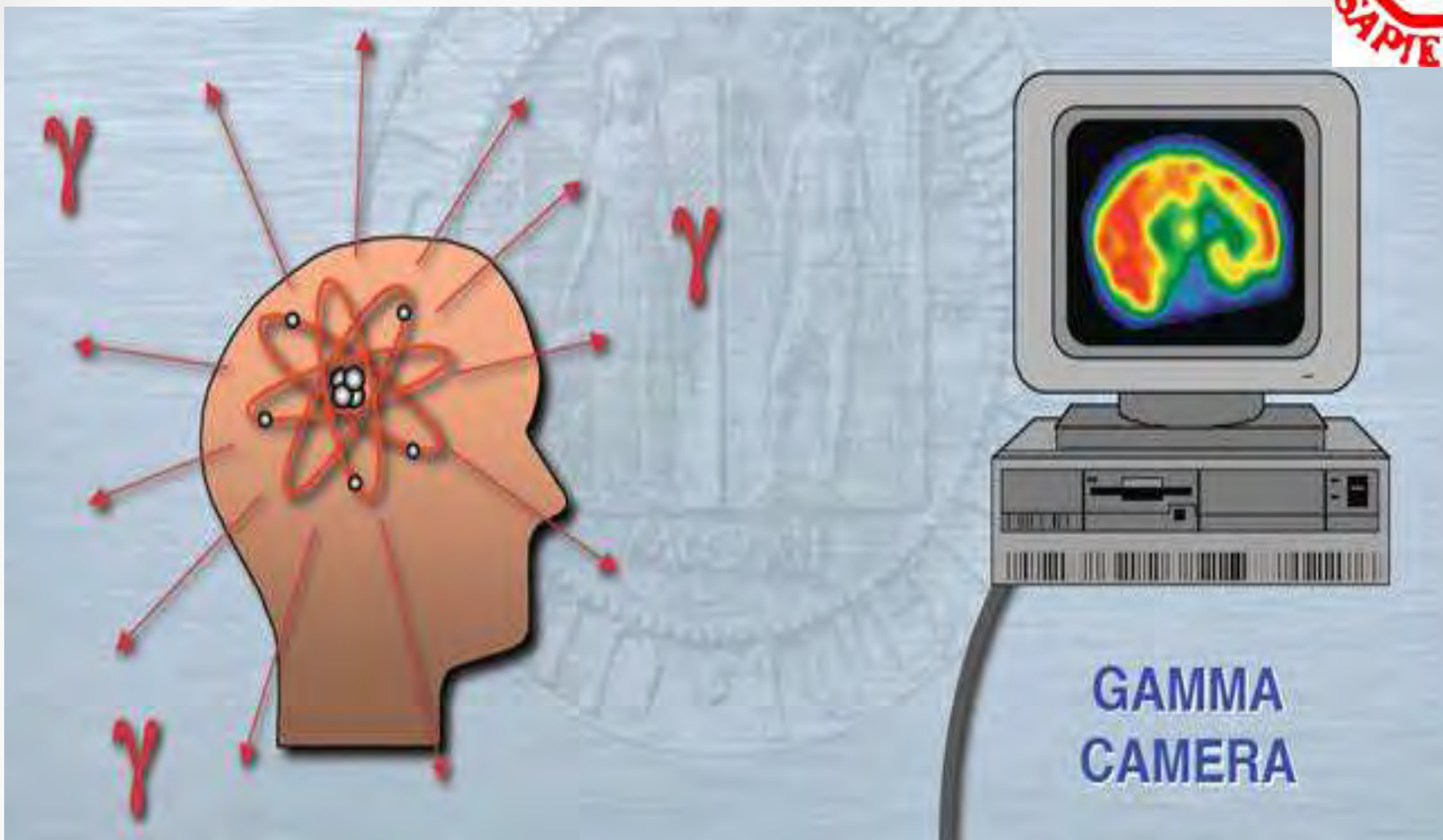


Il fascio di radiazioni X provenienti da un tubo radiogeno viene attenuato dai tessuti interposti da analizzare prima di raggiungere il sistema di rilevazione



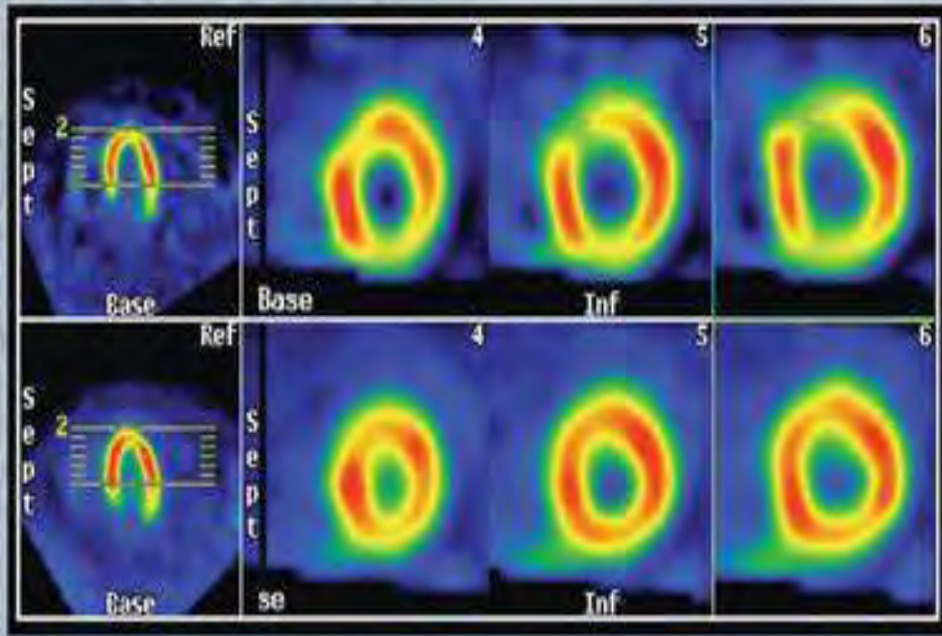
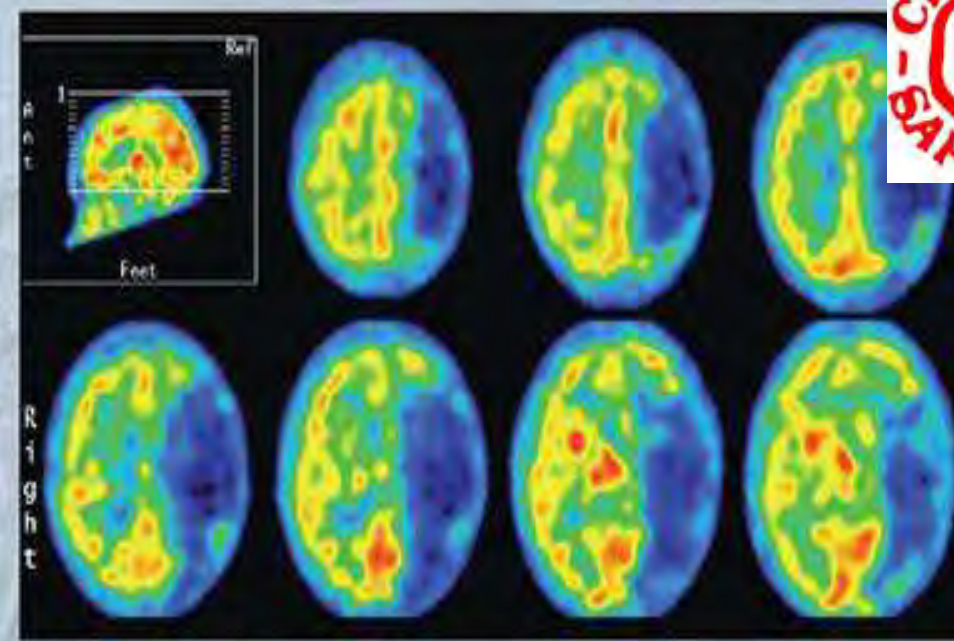
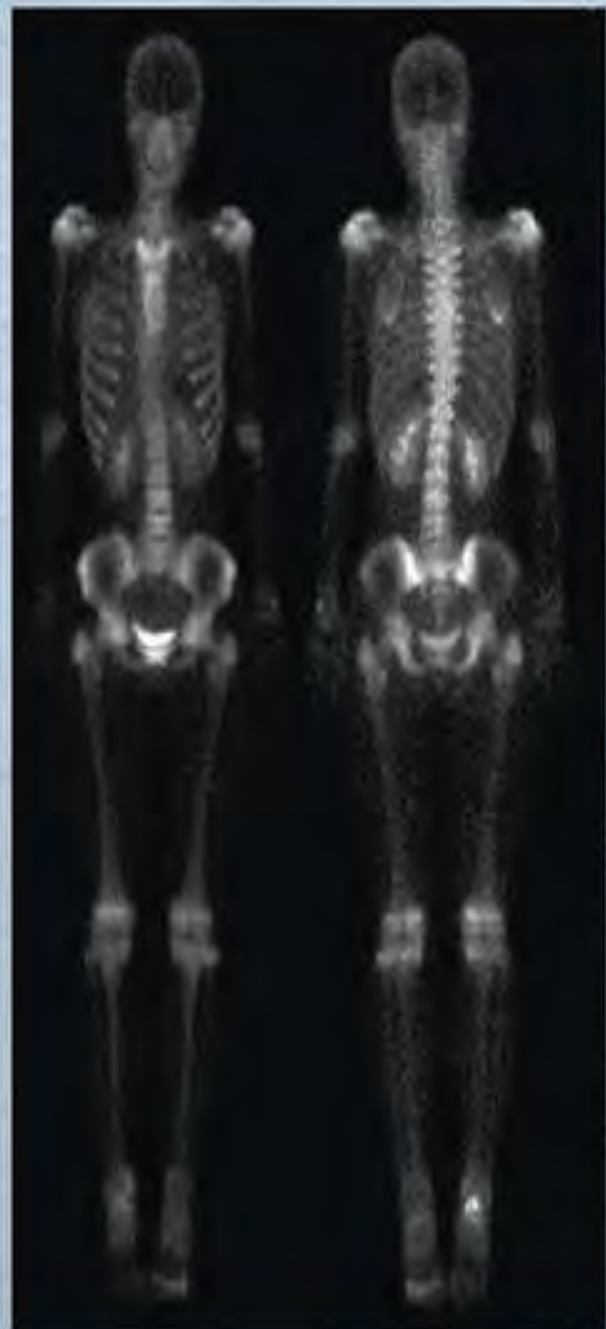


IMMAGINI MEDICO NUCLEARI

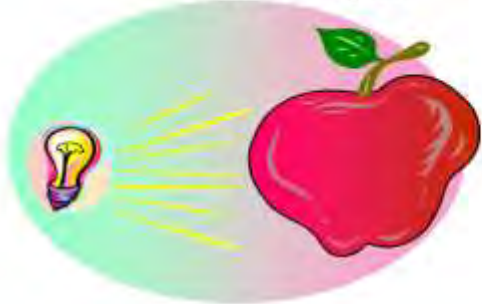


Si ottengono rilevando le radiazioni emesse dal radiofarmaco distribuito nell'organismo.

E' il paziente che emette le radiazioni



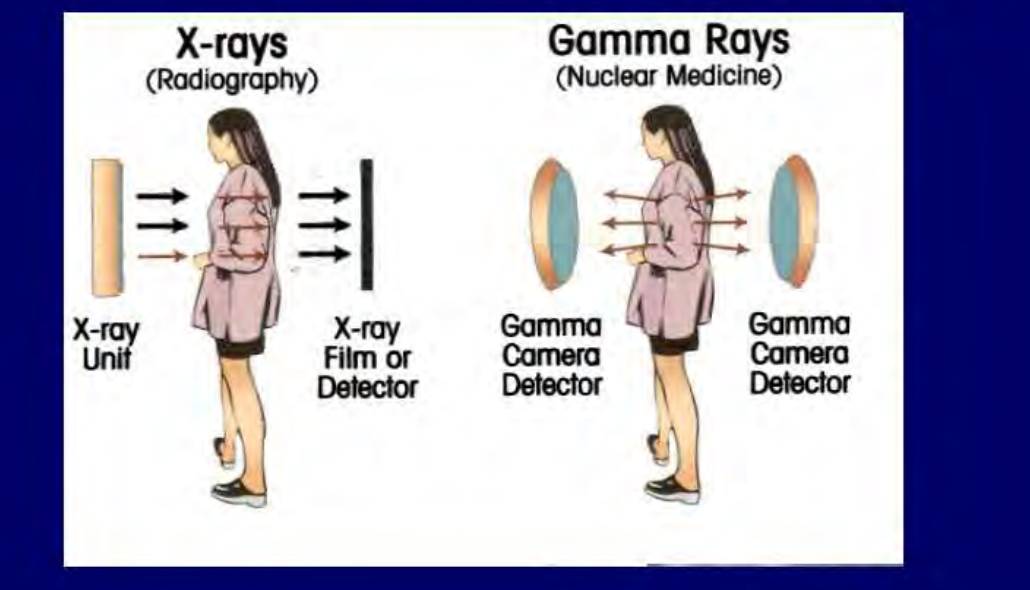
Radiologia



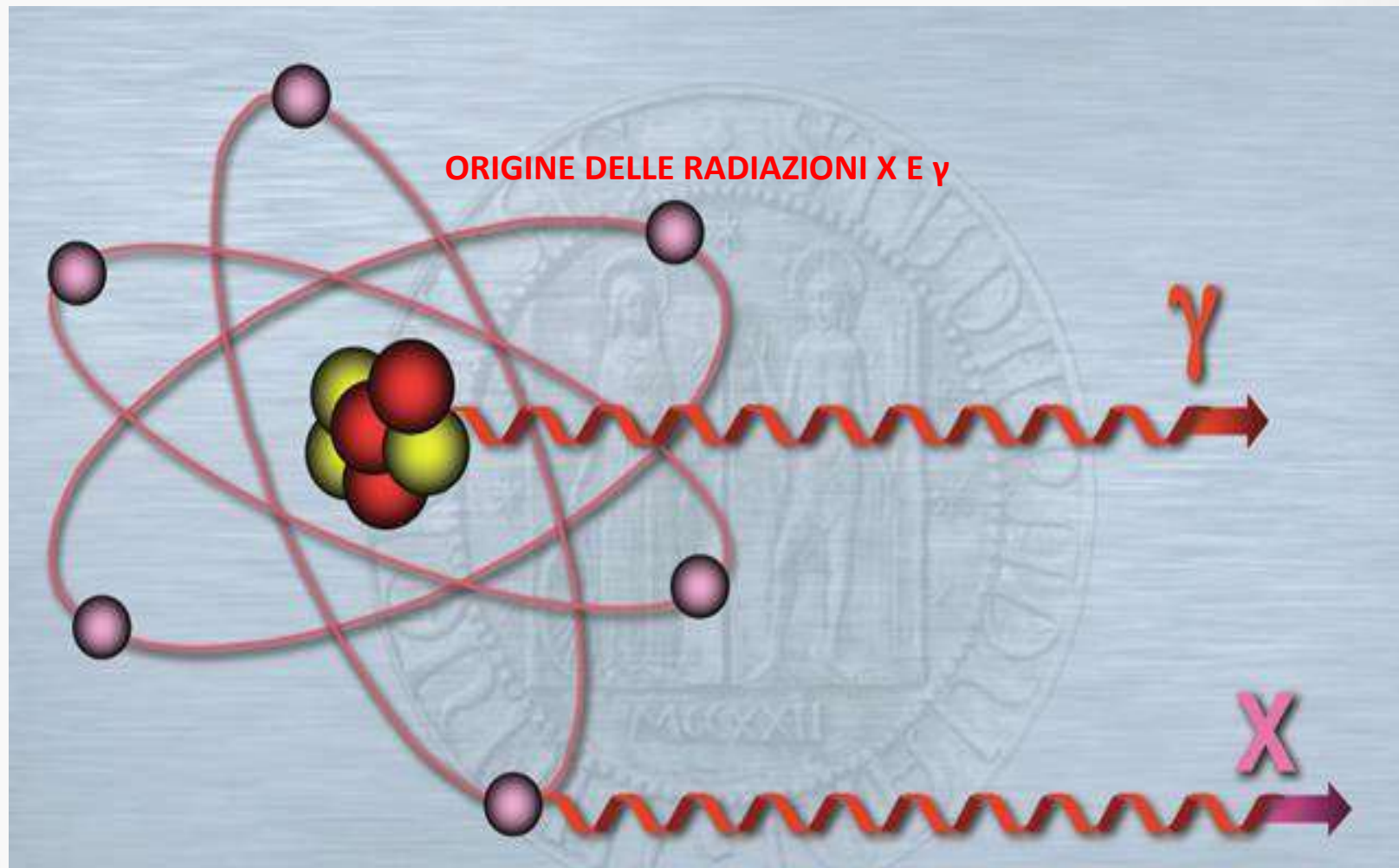
Medicina Nucleare



Nuclear Medicine Vs Radiography

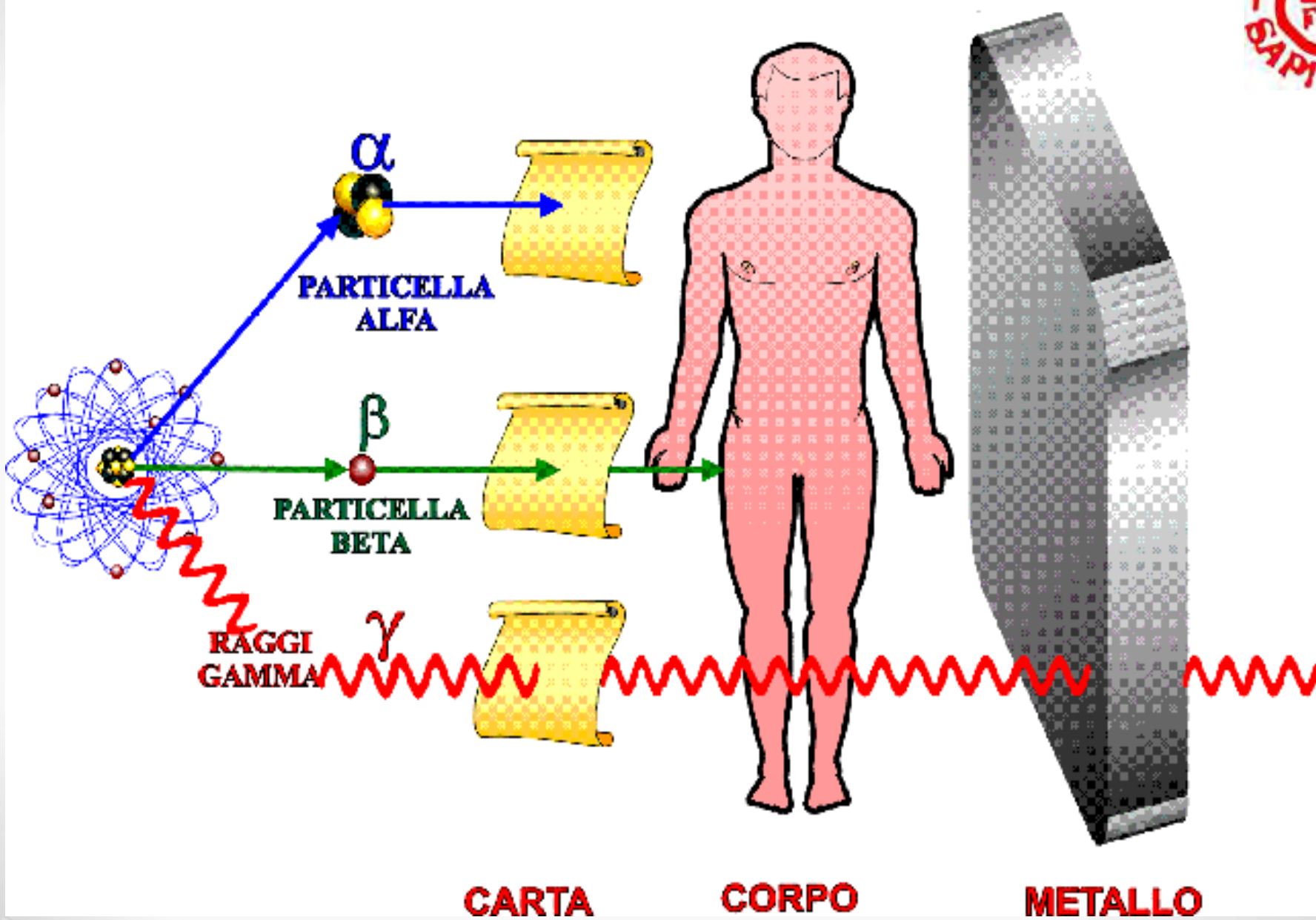


LA MEDICINA NUCLEARE E' ANCORA GRAVATA DA UN ALONE DI
MISTERO E DI TIMORE LEGATO SOPRATTUTTO ALL'AGGETTIVO
“NUCLEARE” CHE FA RIAFFIORARE ALLA MEMORIA OLOCAUSTICI BELLCI
ED INCIDENTI NUCLEARI.



NON C'E' ALCUNA DIFFERENZA, A PARITA' DI ENERGIA, TRA GLI EFFETTI DI UNA
RADIAZIONE “X” RADIOLOGICA ED UNA “γ”(gamma) MEDICO NUCLEARE

RADIAZIONI E LORO POTERE DI PENETRAZIONE





- 
- CHE ROBA È ...
 - A COSA SERVE ...
 - FA MALE ...

A COSA SERVE?

- ❖ DOSAGGI DI LABORATORIO ***"IN VITRO"***
- ❖ IMAGING ***"IN VIVO"*** MEDIANTE LE SCINTIGRAFIE
- ❖ TERAPIA RADIOMETABOLICA

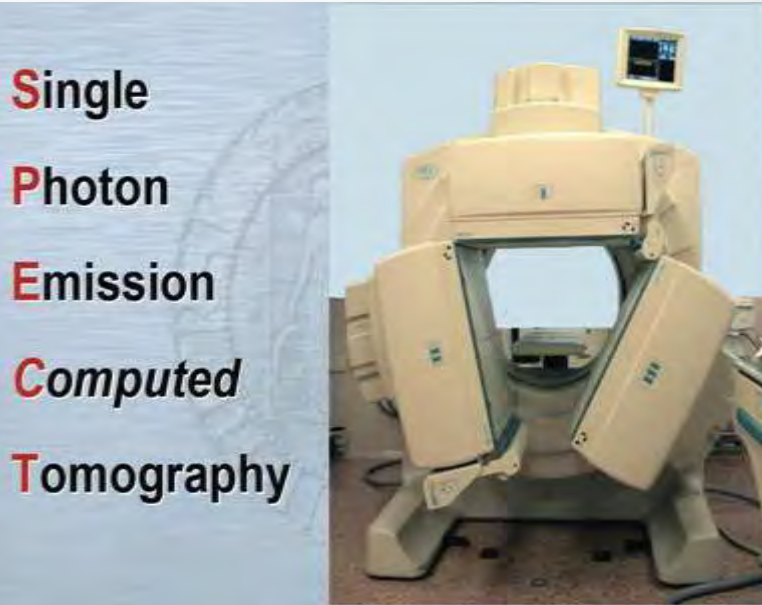
**LA MEDICINA NUCLEARE HA LA PECULIARIETA' DI
EVIDENZIARE UN'ALTERAZIONE FUNZIONALE
PRIMA CHE SIANO RICONOSCIBILI ALTERAZIONI
ANATOMICHE**



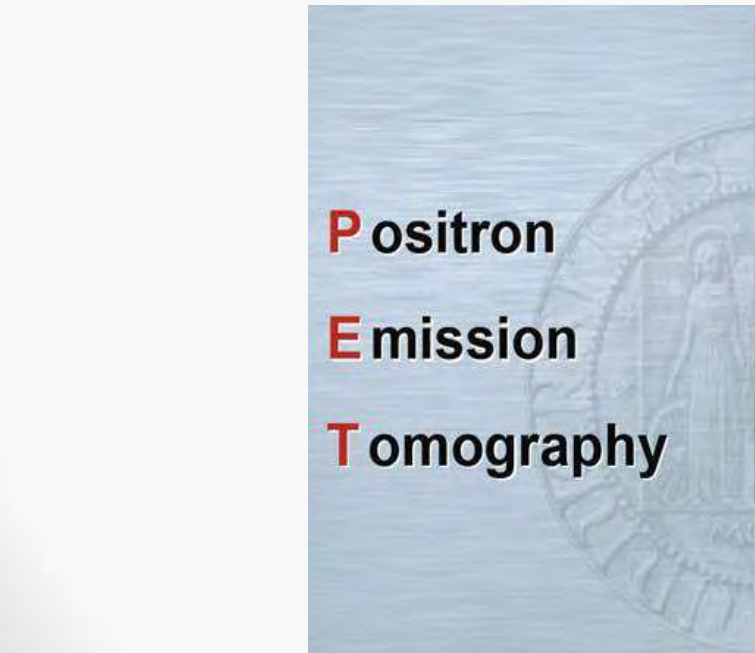
**LE TECNICHE DI IMAGING MEDICO
NUCLEARE NON SONO INVASIVE.**

**IL PAZIENTE SUBISCE AL MASSIMO
UNA INIEZIONE ENDOVENOSA**

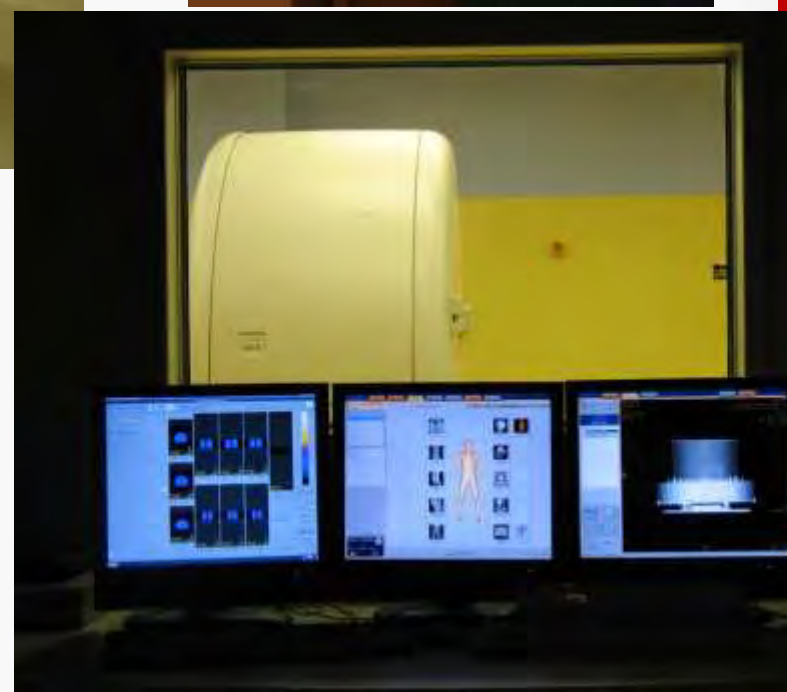
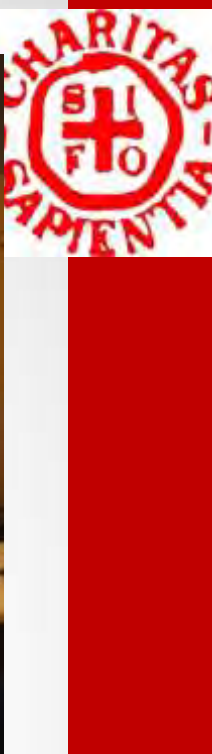
**I RADIOFARMACI USATI SONO ASSOLUTAMENTE SICURI E
PRIVI DI REAZIONI AVVERSE**



Single
Photon
Emision
Computed
Tomography

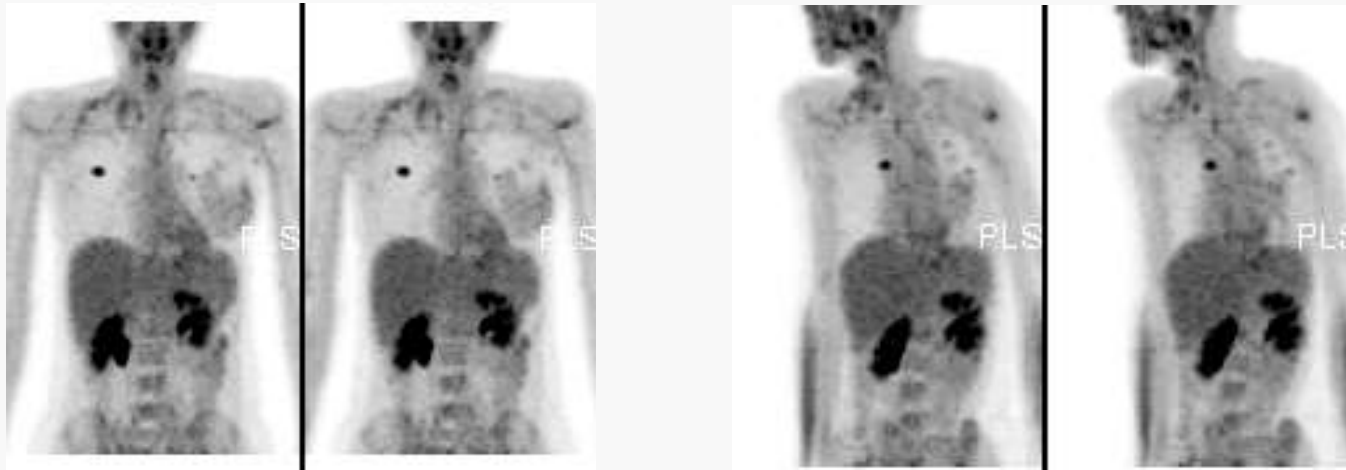






PET - quale imaging ?

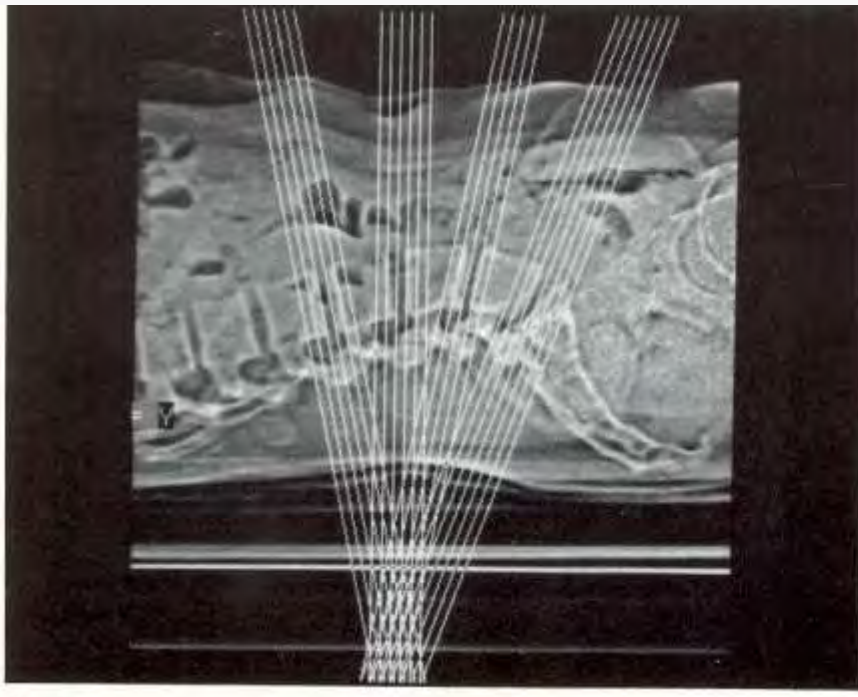
Con la PET la rilevazione della distribuzione del tracciante all'interno dei distretti anatomici fornisce informazioni **metabolico-funzionali**



processi chimici e fisici
forniscono le informazioni
per rilevare l'immagine diagnostica

TAC - quale imaging ?

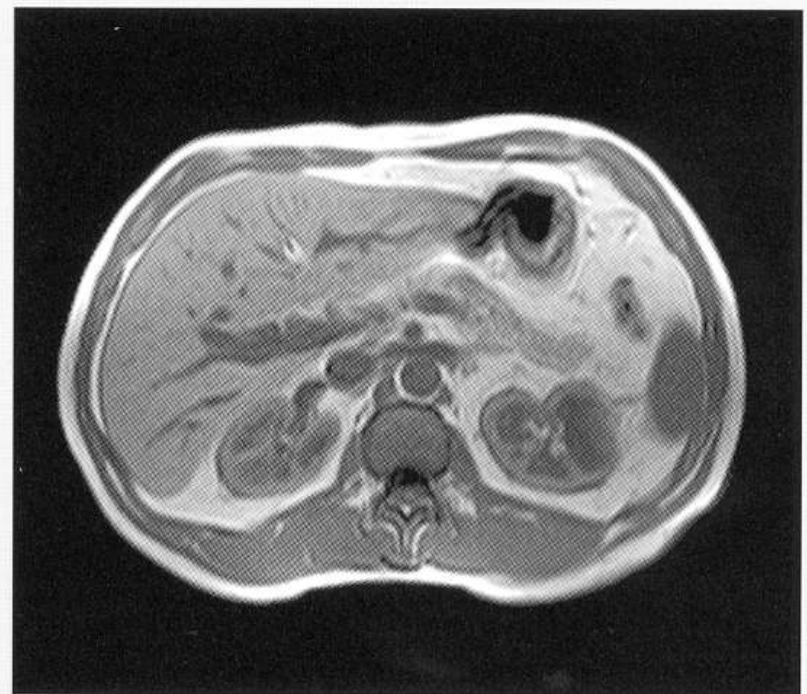
- ottimo imaging morfologico



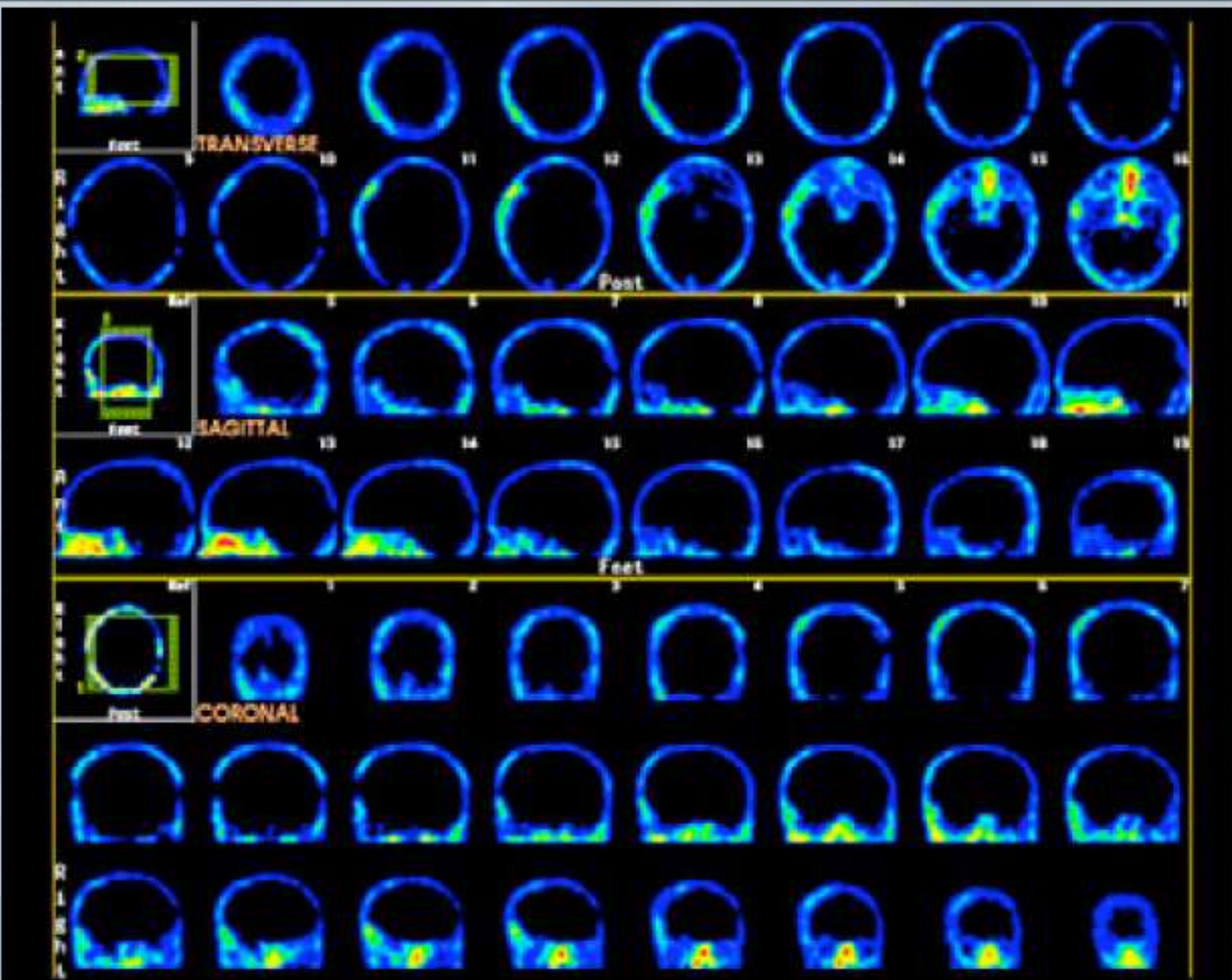


RMN - quale imaging ?

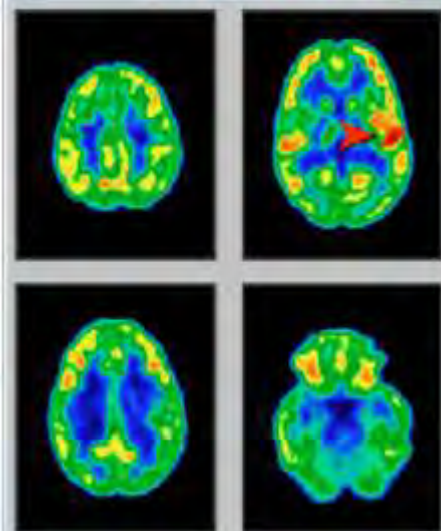
ottimo imaging morfologico



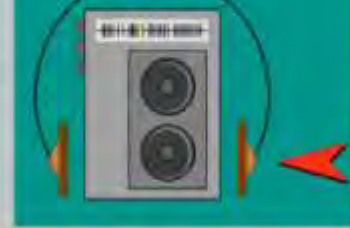
TRAUMA 48h - Brain Death



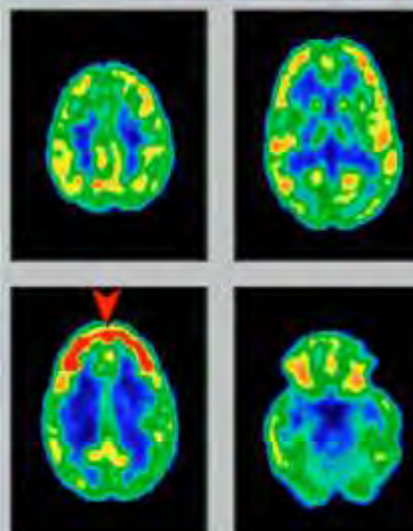
PET CEREBRALE con ^{18}FDG



STIMOLO ACUSTICO
MUSICALE sinistro



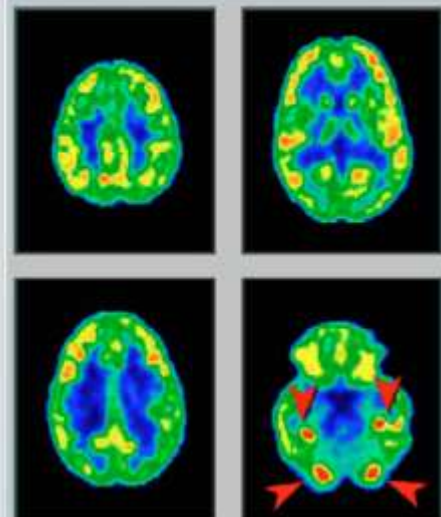
PET CEREBRALE con ^{18}FDG



STIMOLO
DEL
PENSIERO



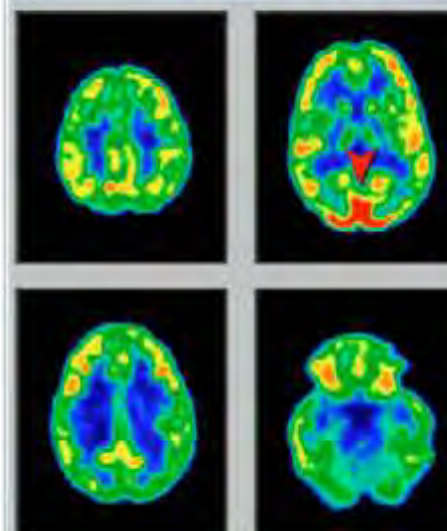
PET CEREBRALE con ^{18}FDG



STIMOLO DELLA
MEMORIA VISIVA



PET CEREBRALE con ^{18}FDG



STIMOLO VISIVO
con immagine a colori





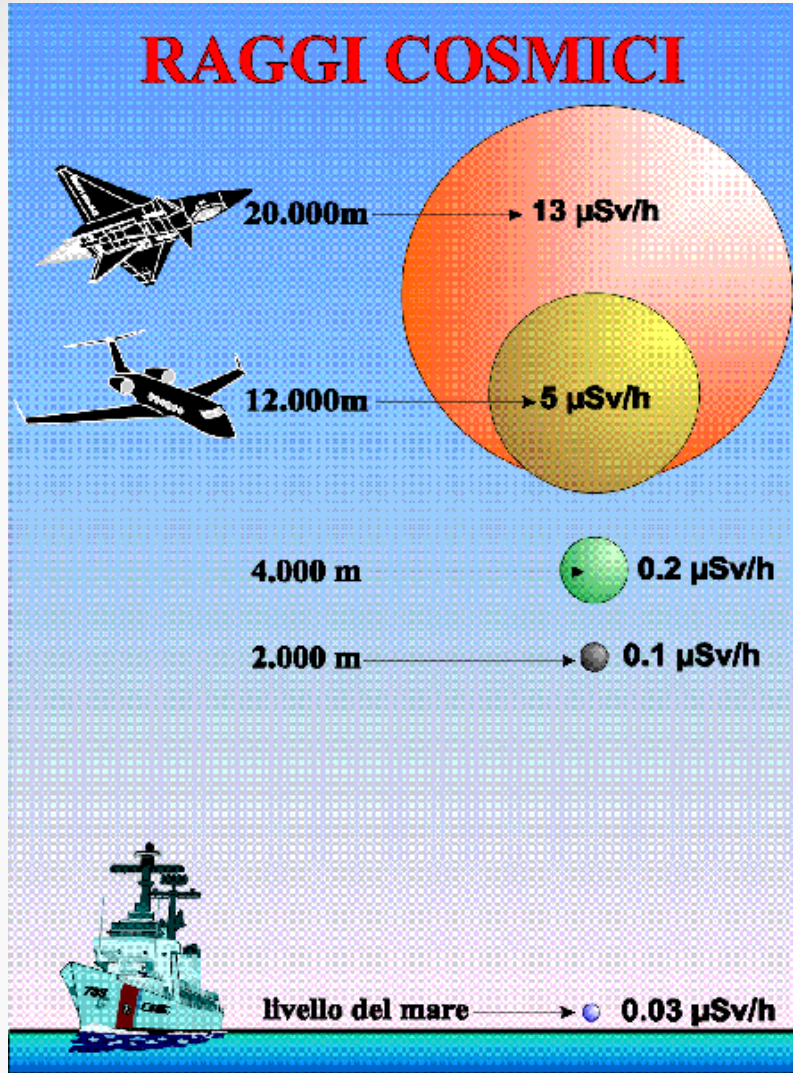
FA MALE ?



SICURAMENTE NO!

LE TECNICHE DI IMAGING MEDICO
NUCLEARE NON SONO INVASIVE. IL
PAZIENTE SUBISCE AL MASSIMO UNA
INIEZIONE ENDOVENOSA

I RADIOFARMACI USATI SONO ASSOLUTAMENTE SICURI E
PRIVI DI REAZIONI AVVERSE



LA RADIOATTIVITA' E' NORMALMENTE PRESENTE NELL'AMBIENTE

BASTI PENSARE ALLE RADIAZIONI COSMICHE O A QUELLE PRODOTTE DALLE ROCCE , ASSORBITE DURANTE VIAGGI INTERCONTINENTALI IN AEREO O DURANTE TERAPIE TERMALI.



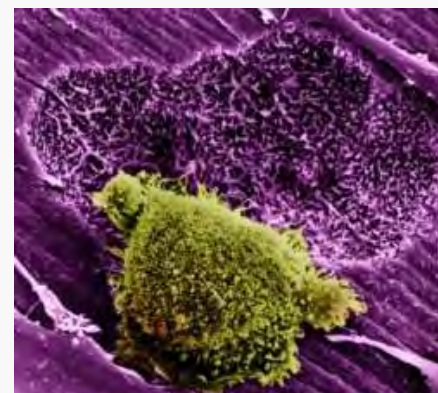
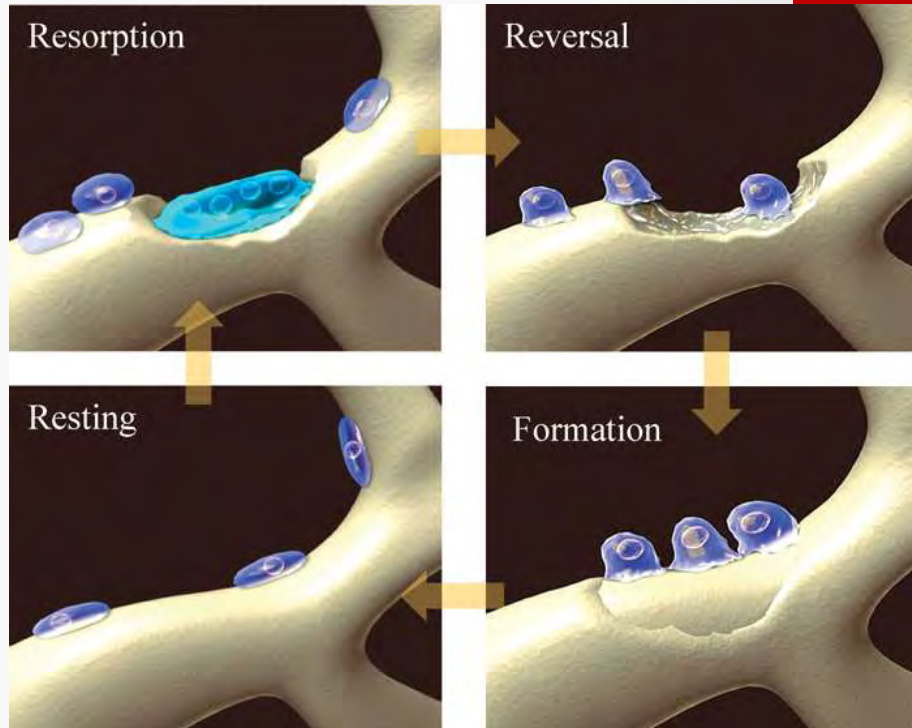
Radiofarmaci per l'apparato osteoarticolare



Biologia dell'osso

L'osso è sempre in uno stato attivo di rimodellamento(costruzione/distruzione)

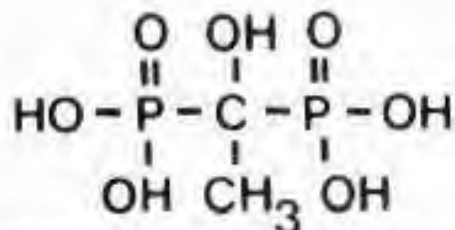
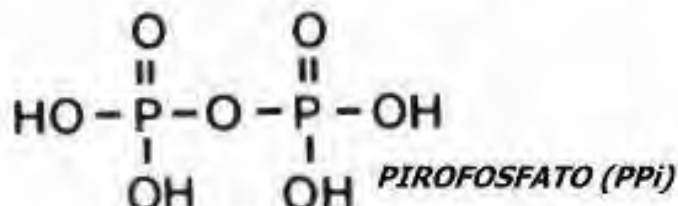
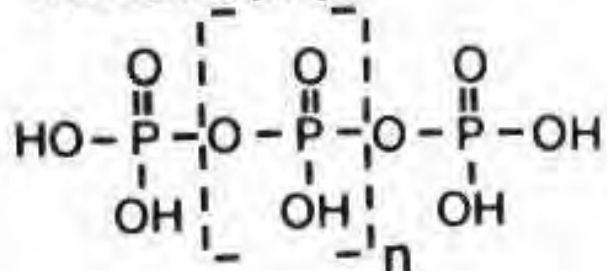
- **Riassorbimento:** gli osteoclasti stimolati erodono l'osso creando una cavità.
- **Inversione:** la superficie ossea è preparata per gli osteoblasti che iniziano a formare osso.
- **Formazione:** Gli osteoblasti sostituiscono l'osso riassorbito e riempiono le cavità con osso nuovo.
- **Riposo:** la superficie dell'osso riposa sino al nuovo ciclo di riassorbimento.



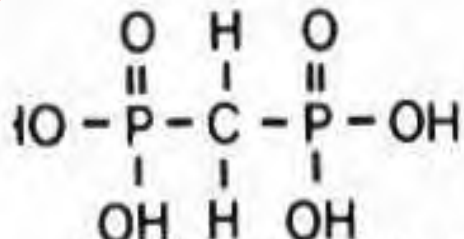
Bone Radiopharmaceuticals



POLIFOSFATO (PPx)

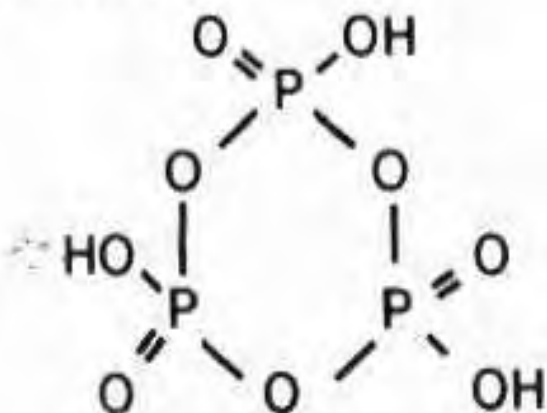


EHDP - ETILENIDROSSI DIFOSFONATO

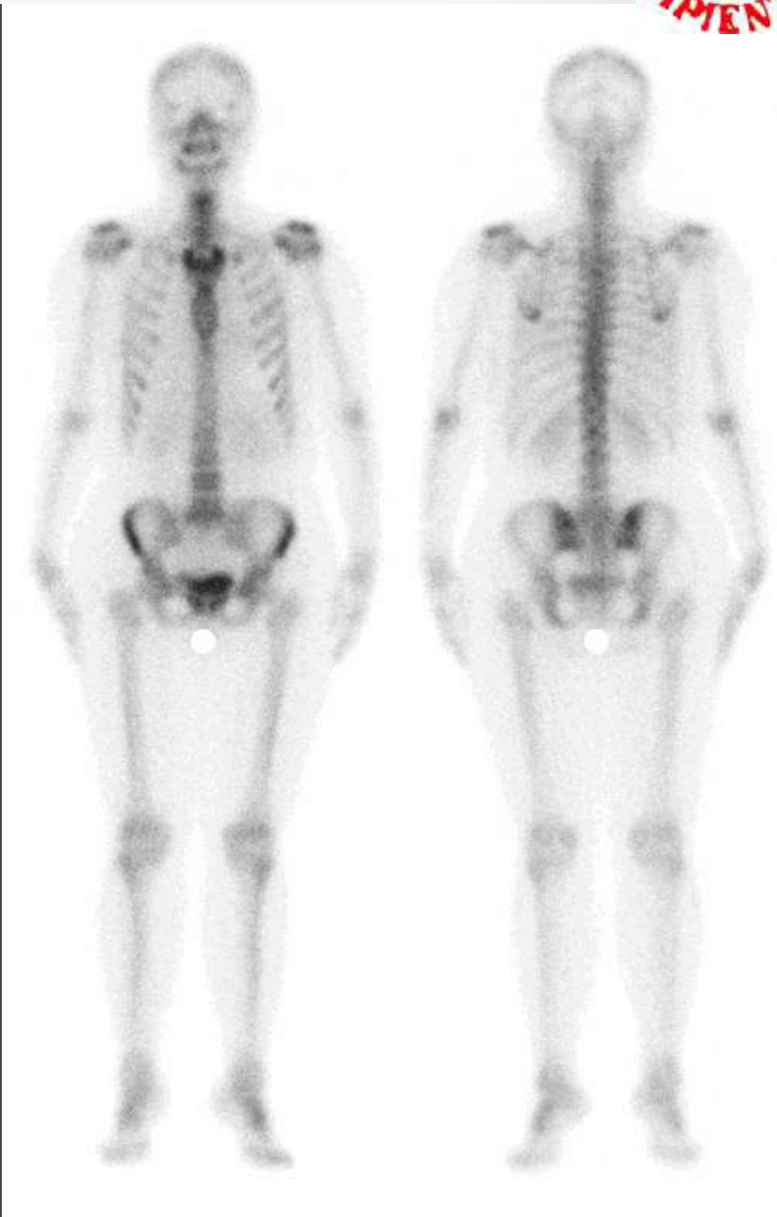


MDP - METILEN DIFOSFONATO

TRIMETAFOSFATO



Scintigrafia Total Body



Scintigrafia Normale :

Scheletro assiale ed appendicolare, simmetria, presenza di attività nei tessuti molli, reni con minima attività, vescica, tiroide, contaminazione.



Radiofarmaci per scintigrafia ossea

- I difosfonati marcati con tecnezio-99m sono i radiofarmaci di scelta per la scintigrafia ossea
- Diffondono passivamente negli spazi extra-vascolari ed extracellulari e si depositano intorno alla matrice ossea
- La quota di radiofarmaco che non viene legata, viene eliminata dal plasma per escrezione renale
- Le immagini tardive mostrano il legame del tracciante alla matrice ossea, visualizzando l'intero apparato scheletrico
- L'esame viene eseguito 2-3 ore dopo l'iniezione per ottenere un elevato rapporto osso/fondo, che garantisce una buona qualità dell'immagine
- Maggiore è il flusso ematico e l'attività metabolica di una particolare regione ossea, maggiore sarà la concentrazione del tracciante



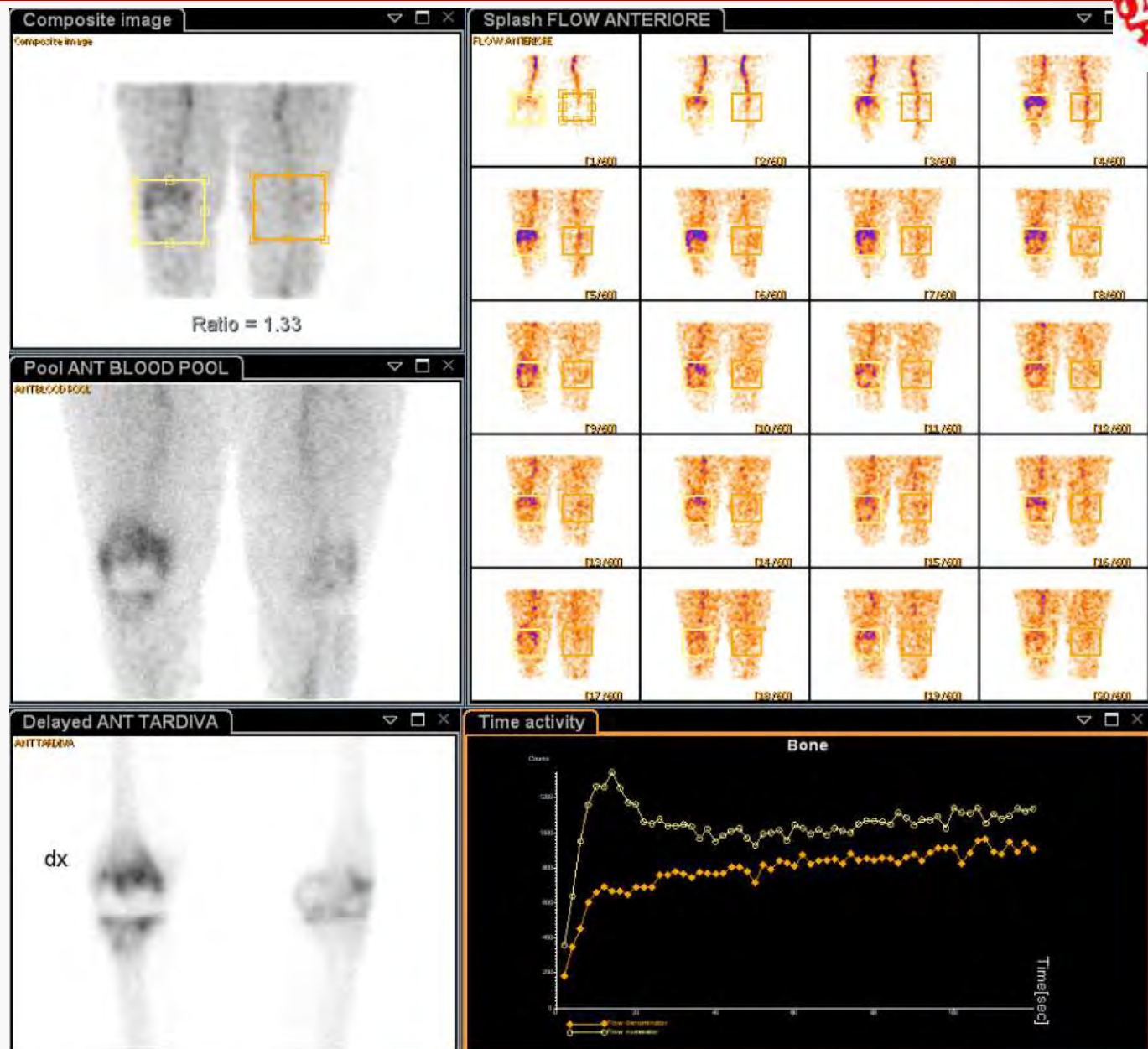
Artrosi





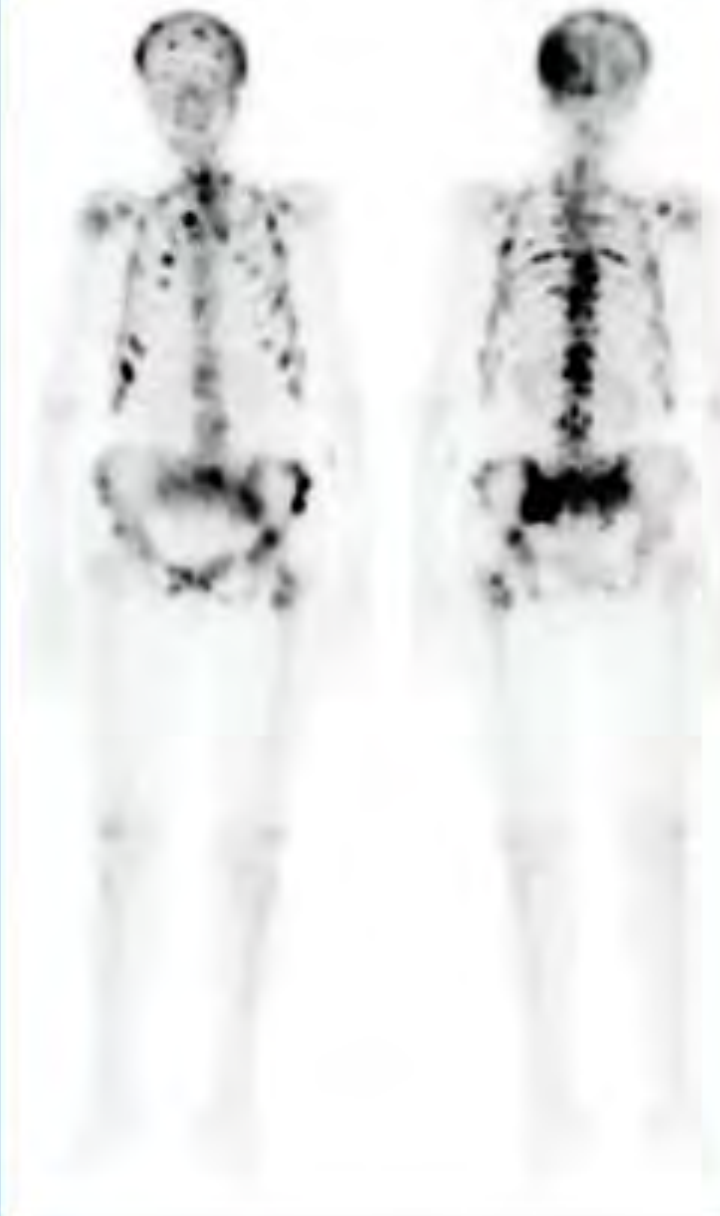
Crollo vertebrale di n.d.d.



SCINTIGRAFIA
TRIFASICA

Metastasi ossee

- Carcinoma gastrico



Lesioni metastatiche “ fredde ”



ANTERIORE

ANTERIORE



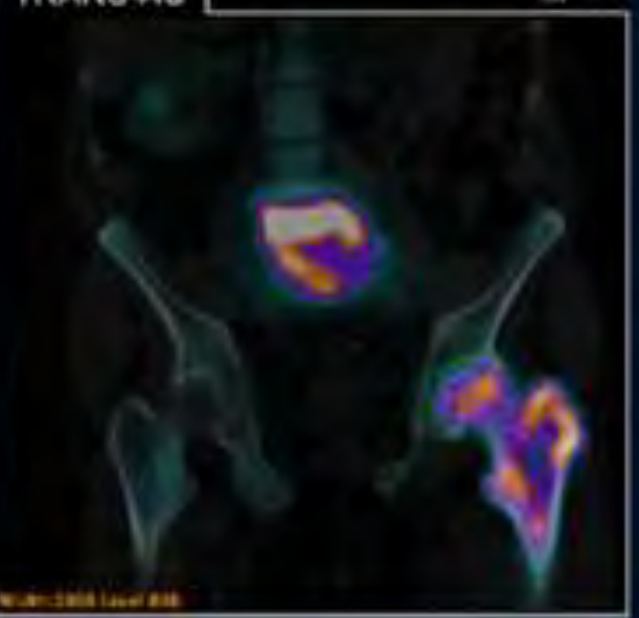
POSTERIOR...

POSTERIOR



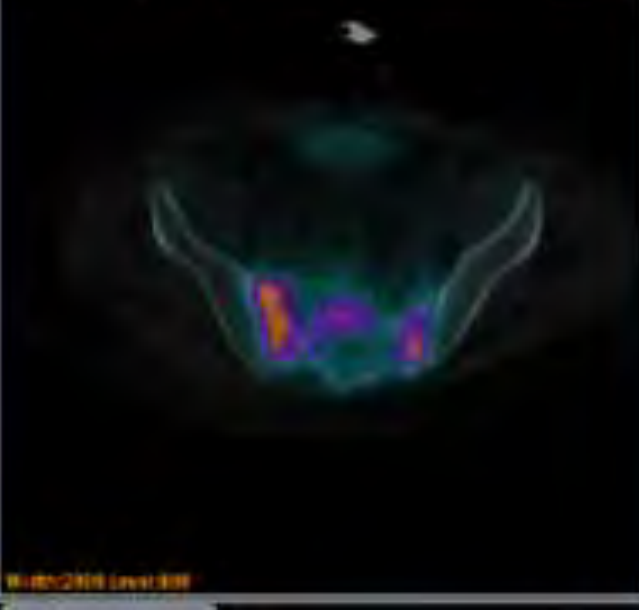
ANT-TARD

ANT-TARD



TRANS-AC

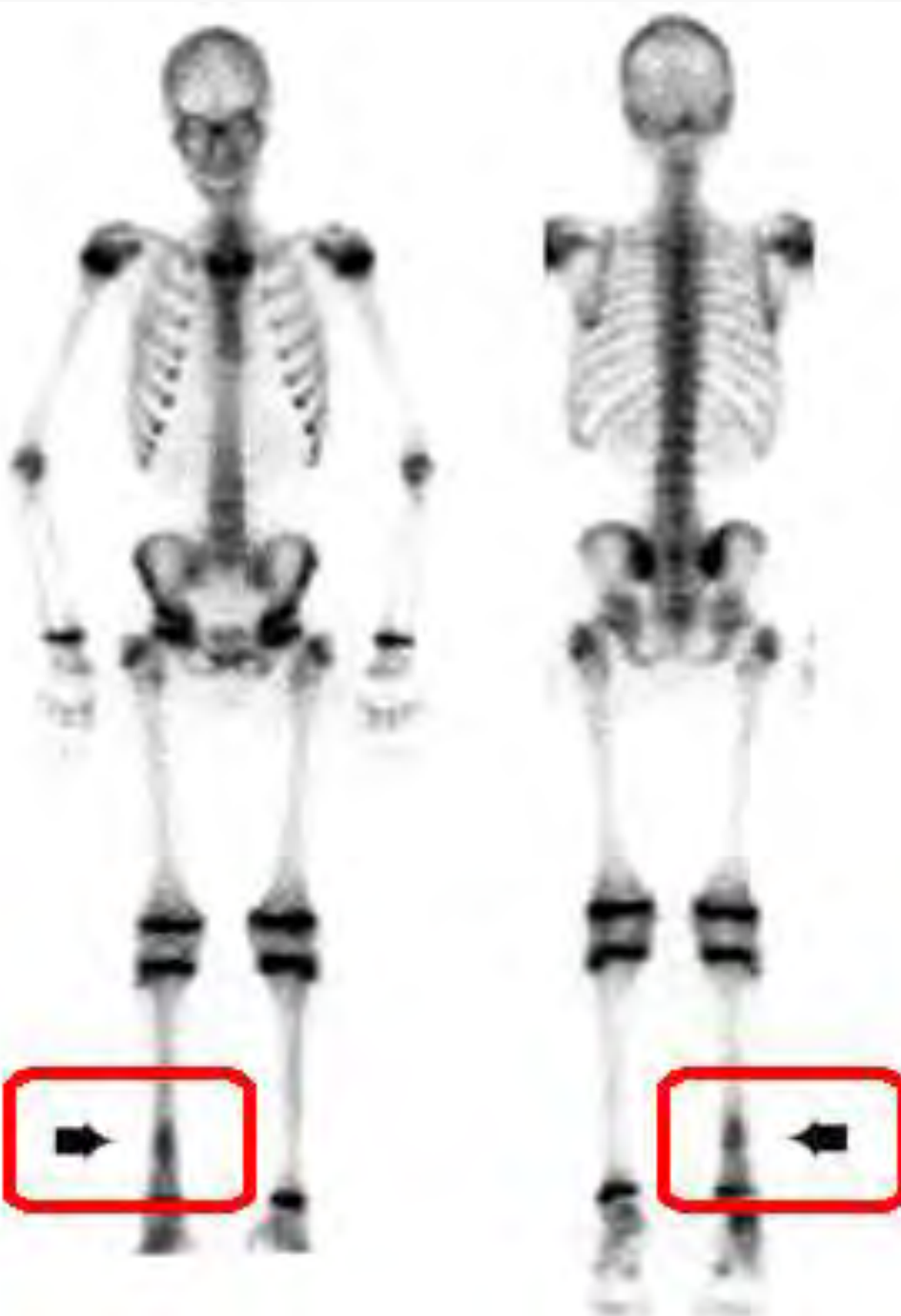
R



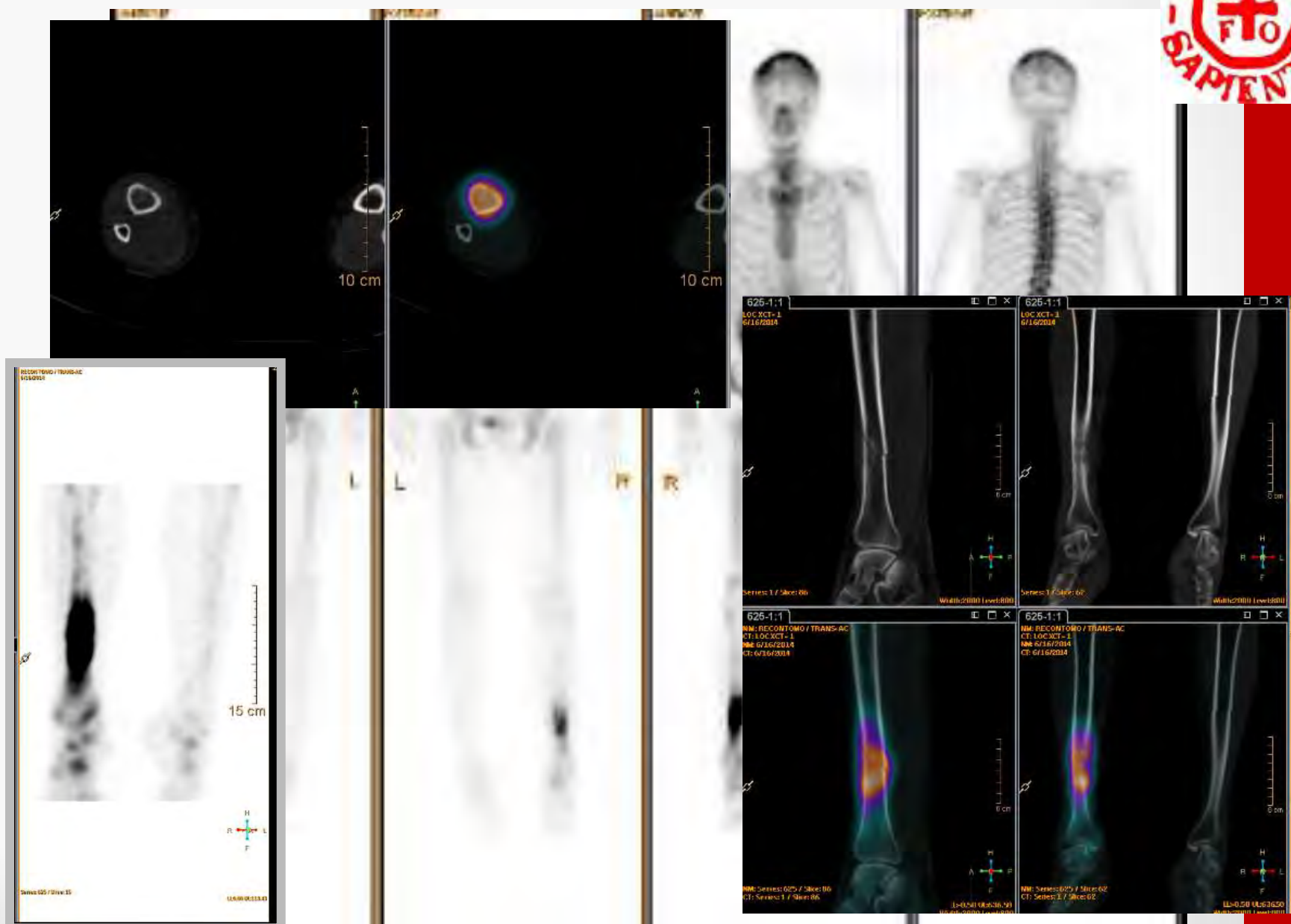
Paget

Fratture costali





“Hot lesion”

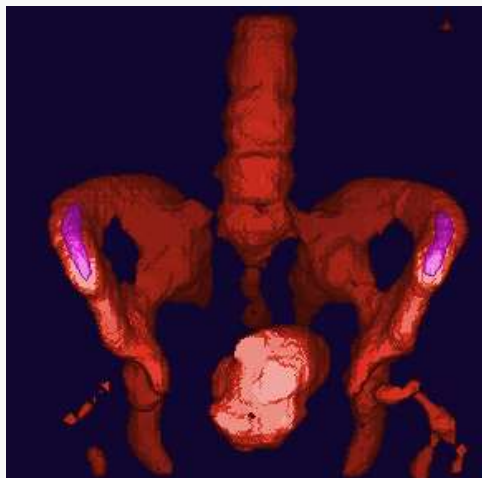


SPET

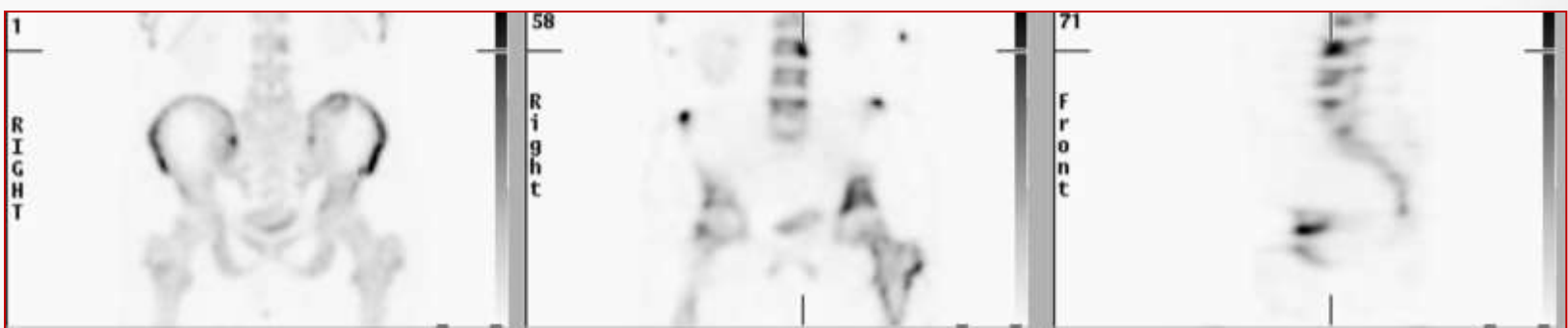
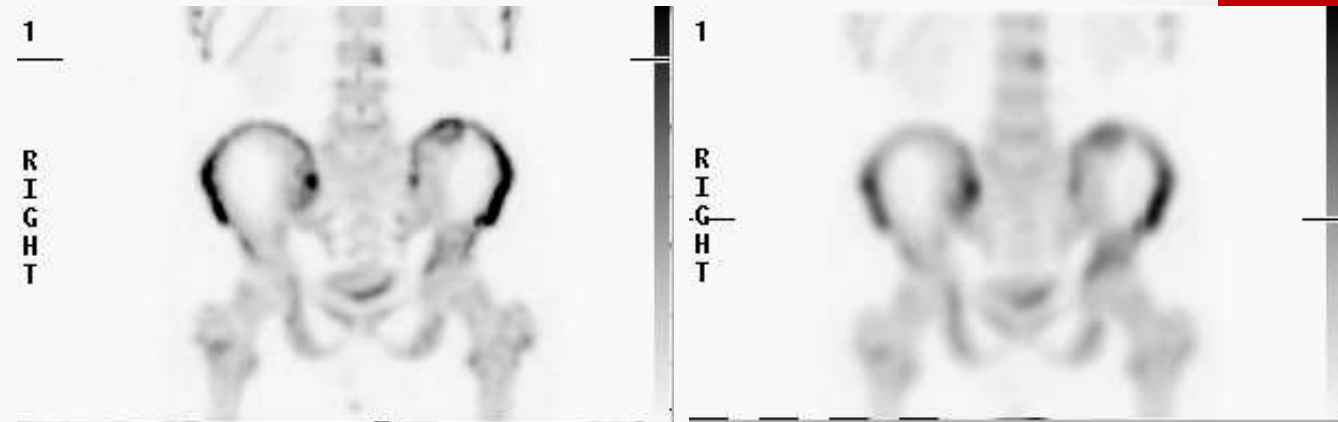
Aumenta la Sensibilità ed il dettaglio anatomico



I. 3D



II. tomographic slices



SPECT/CT - Ossee



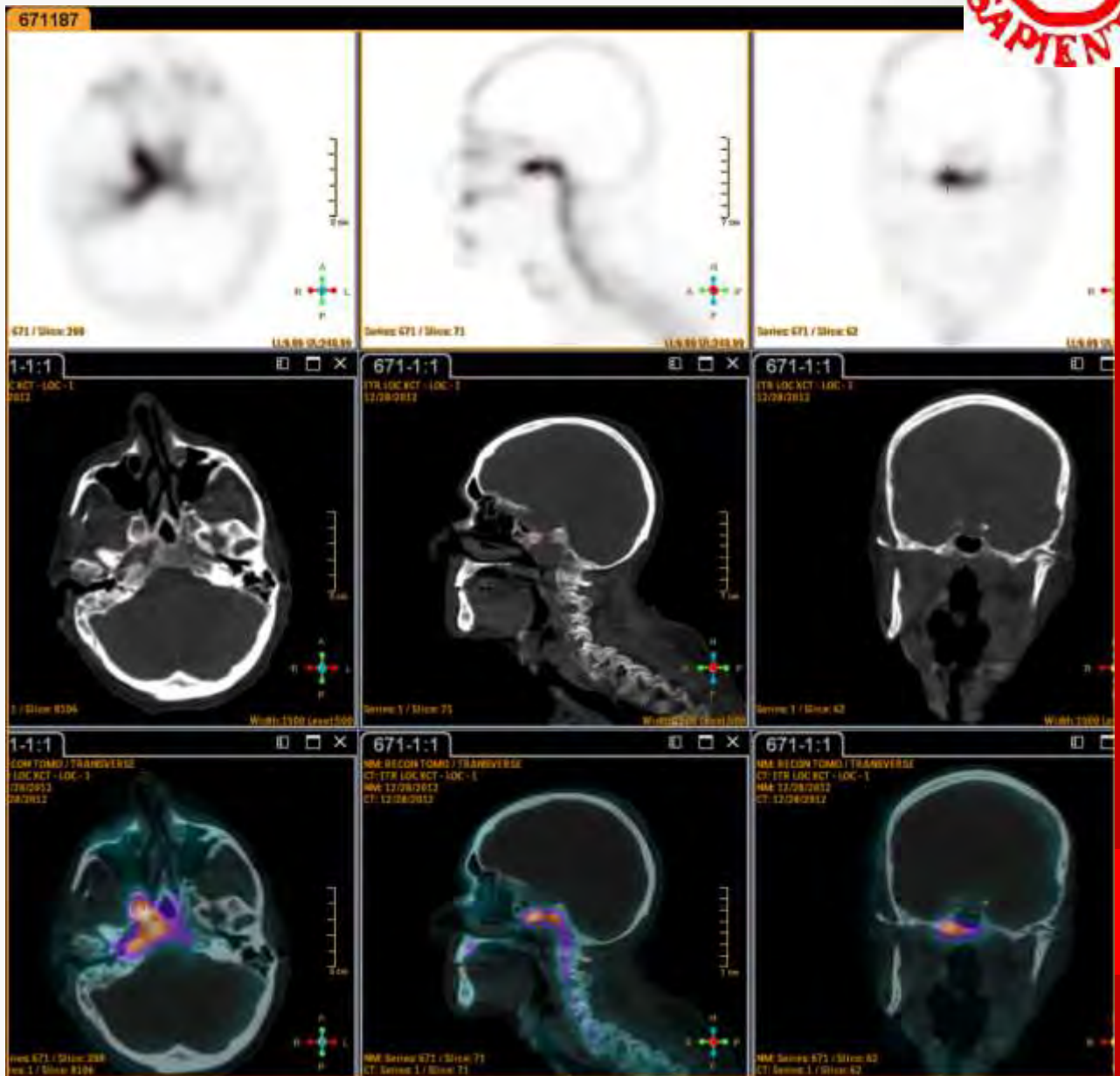
SPECT/CT - S.Sudek



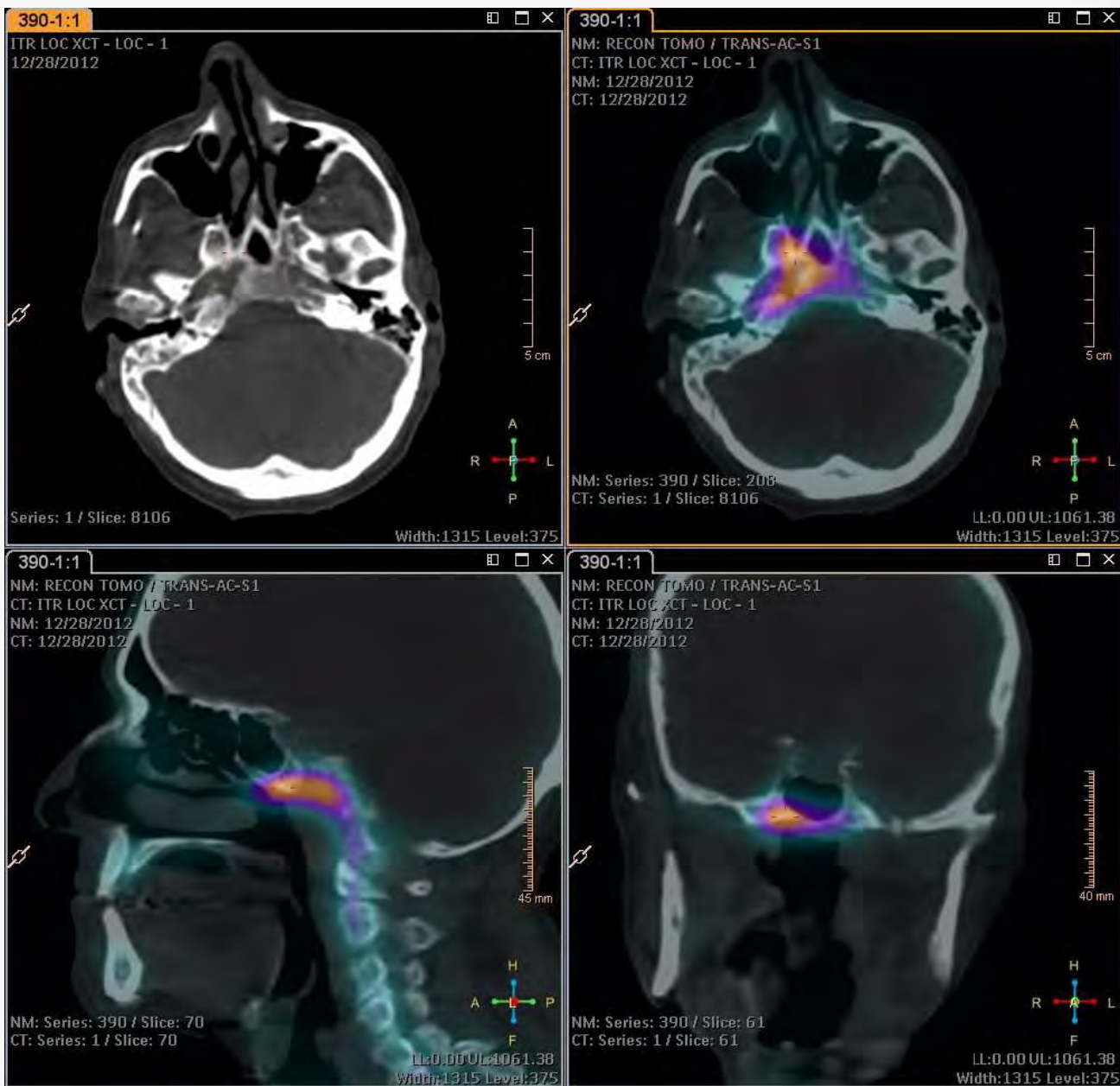
SPECT/CT - Otorino



Otite maligna

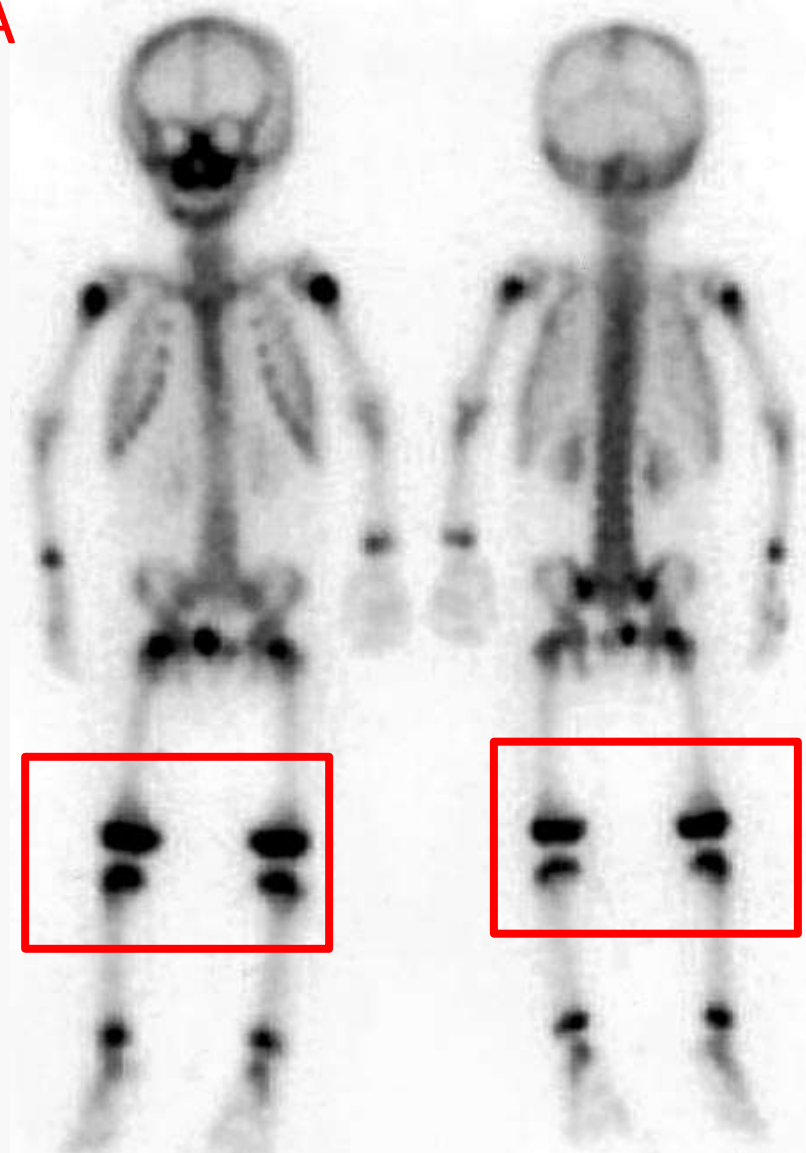
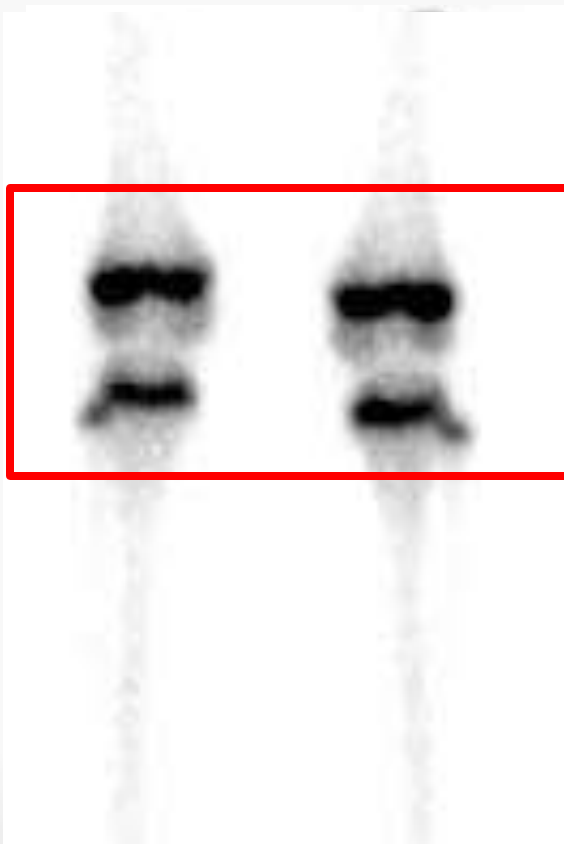


SPECT/CT - Otorino



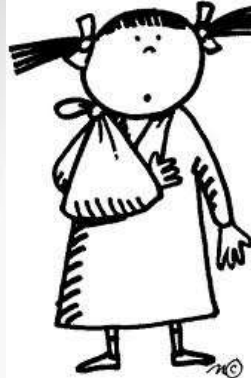


SCINTIGRAFIA OSSEA PEDIATRICA



Qu

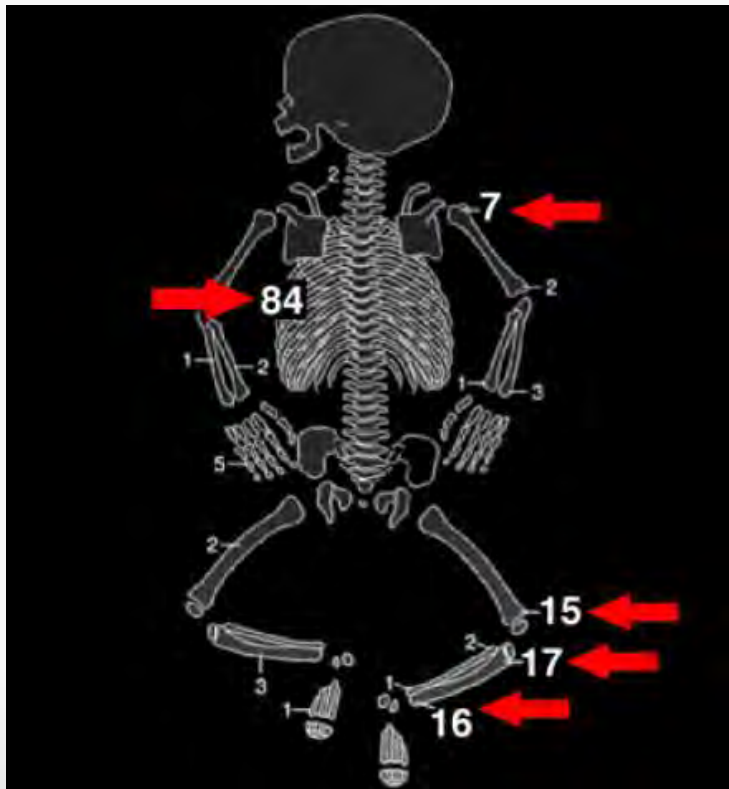
Aumen



AMERICAN ACADEMY OF PEDIATRICS

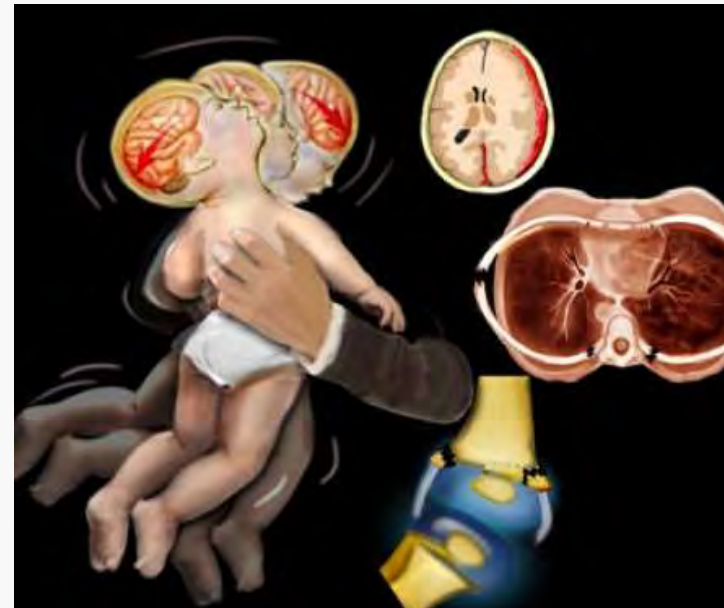


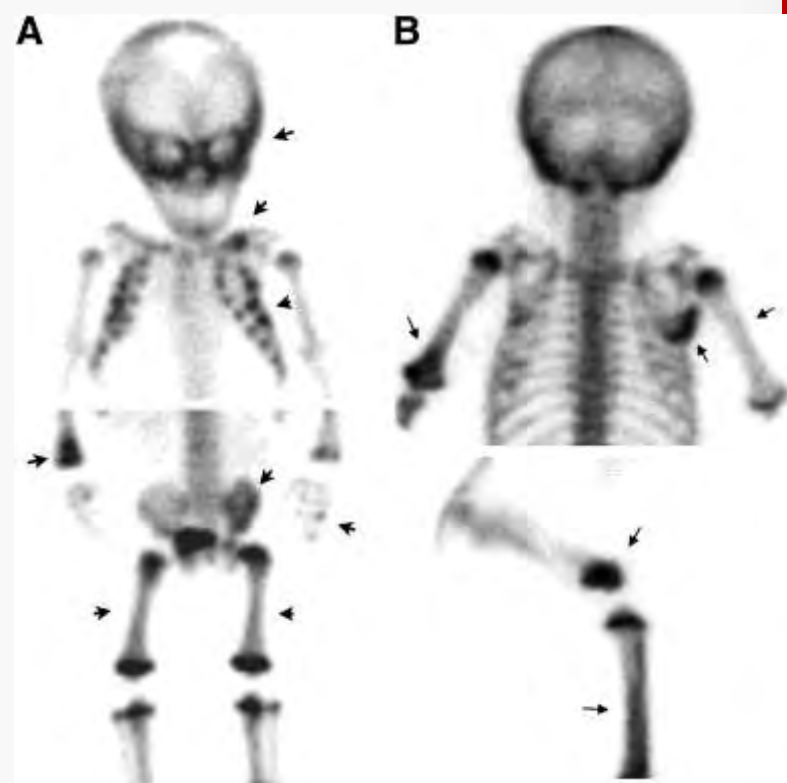
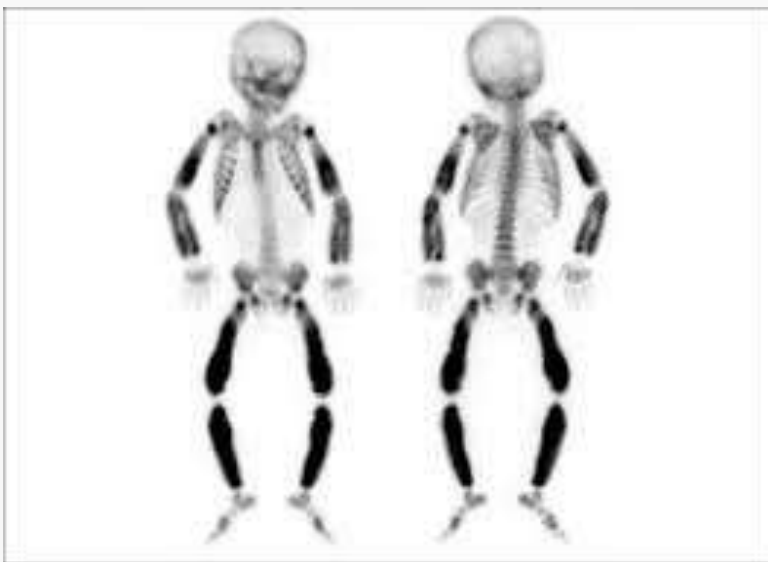
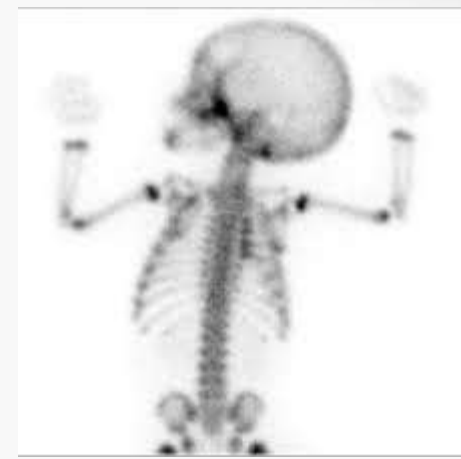
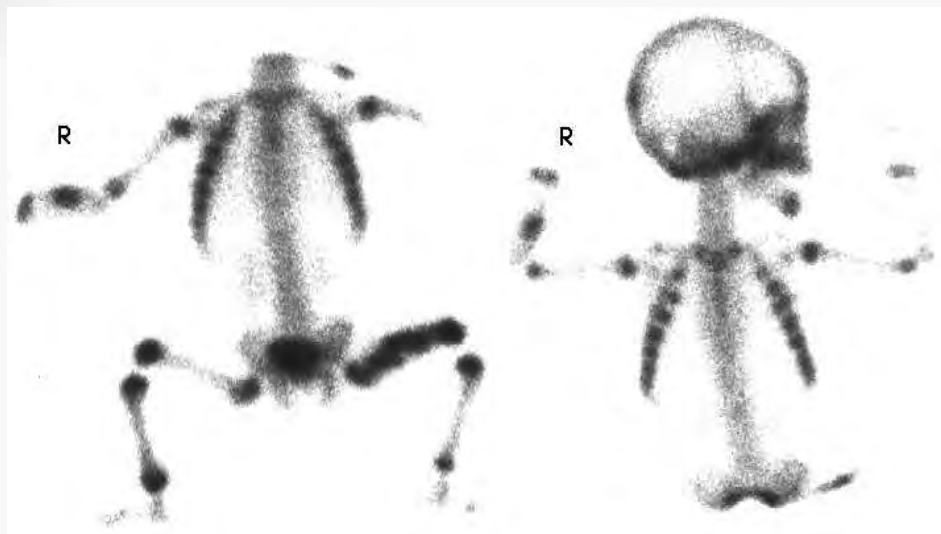
Diagnostic Imaging of Child Abuse



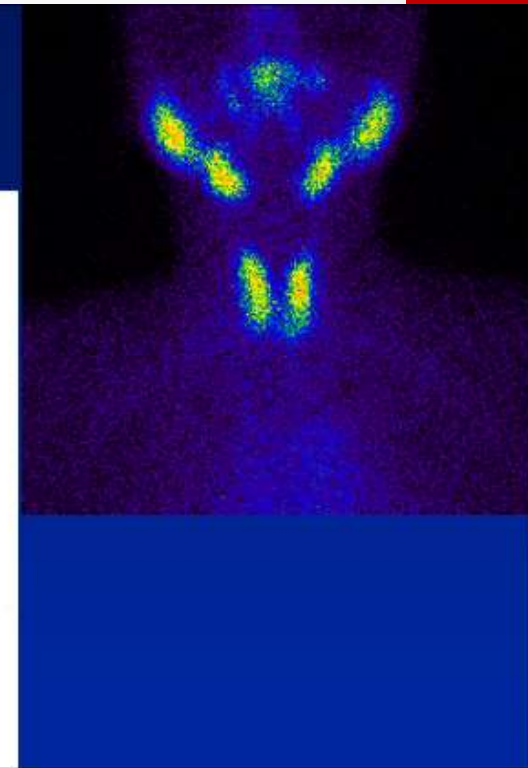
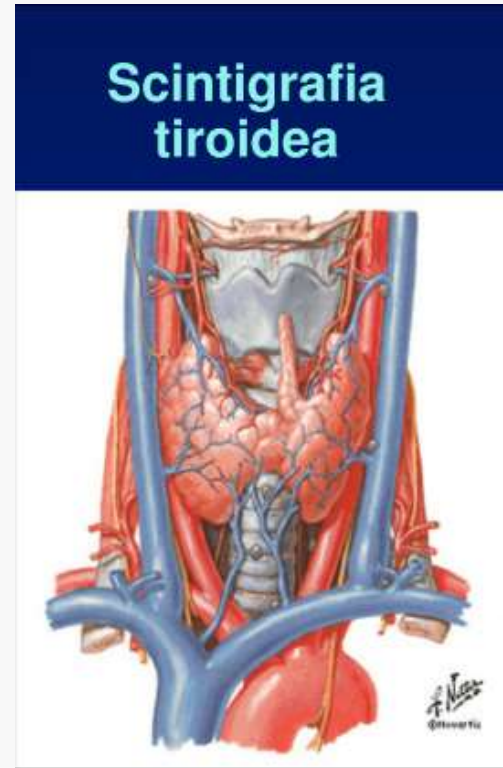
Fractures *High Specificity for Child Abuse*

Bucket handle or Corner fractures
Ribs (especially posterior)
Acromion
Spinous processes
Sternum
Occipital impression fractures





Radiofarmaci per scintigrafia tiroidea

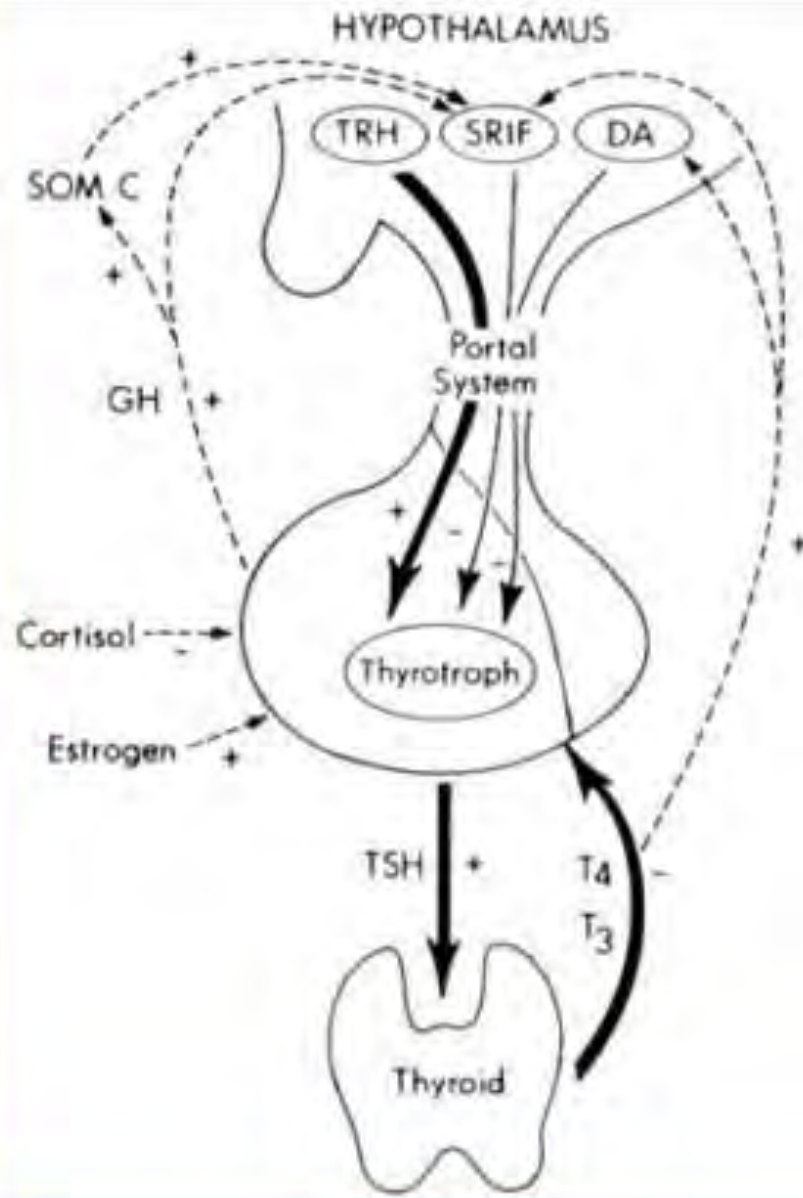


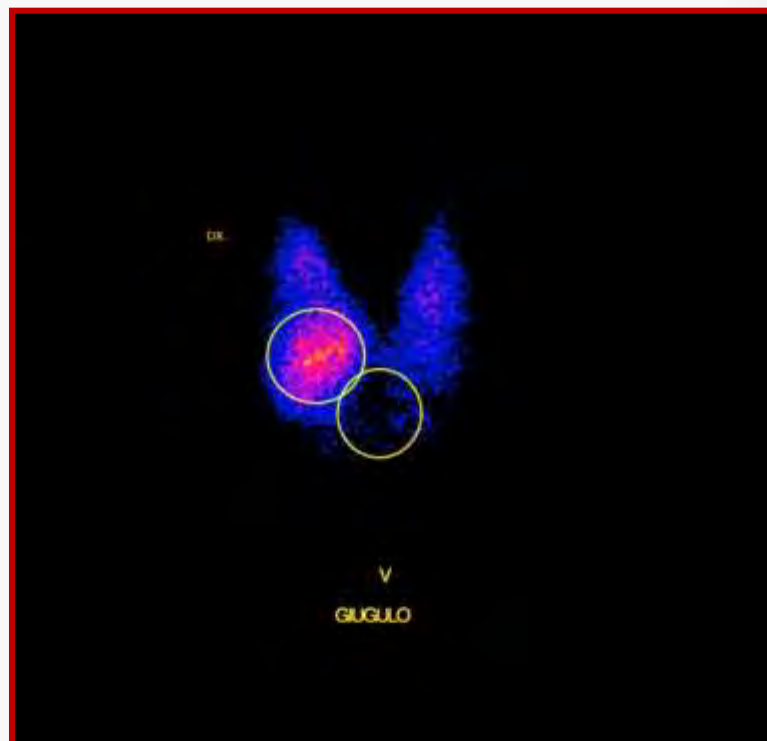
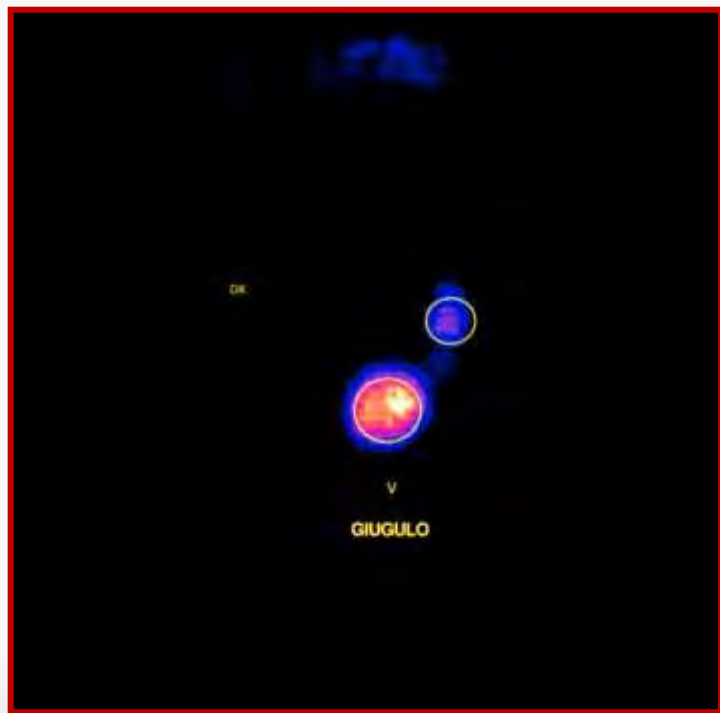
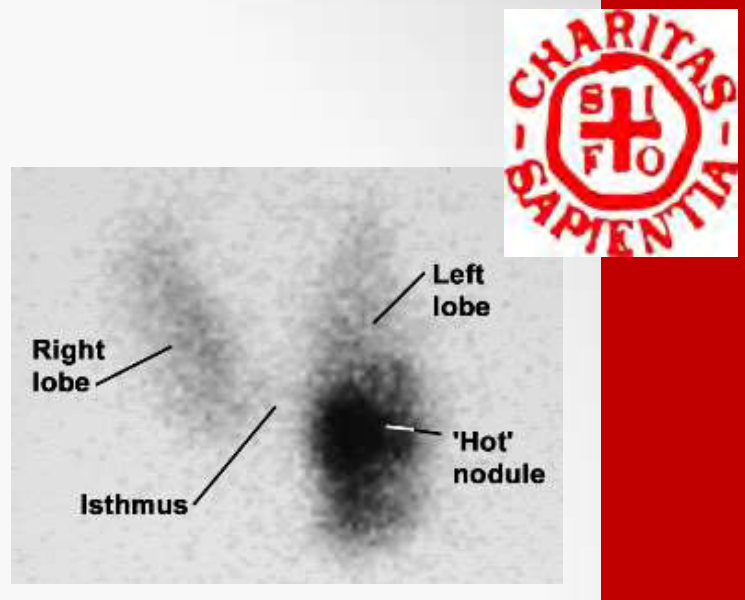
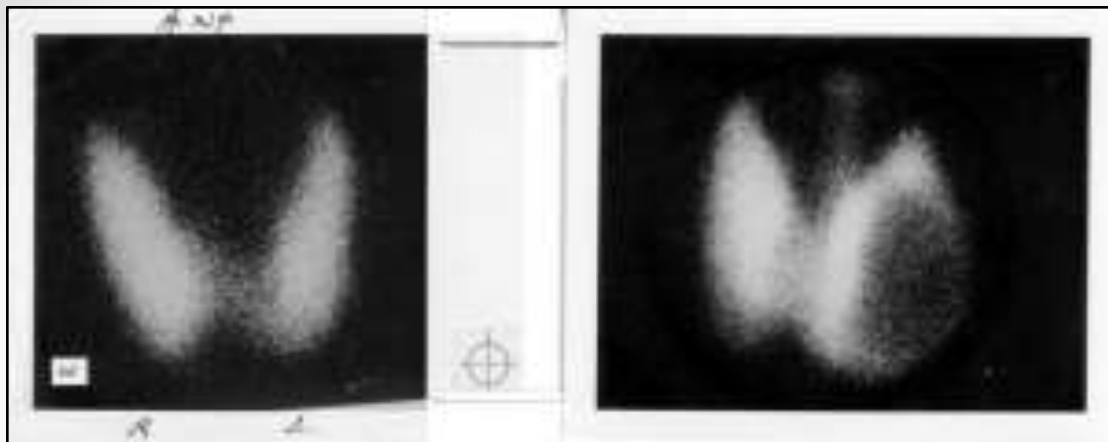


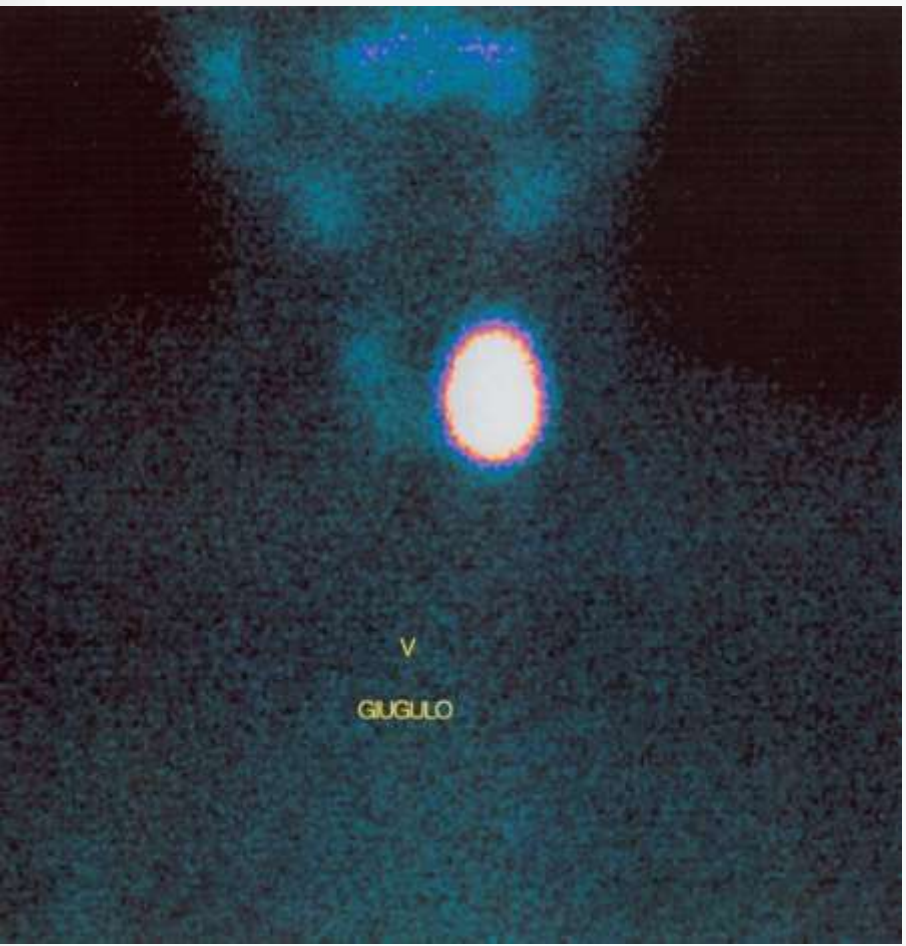
Radioisotopi per lo studio della tiroide

	Emivita	KeV	MBq	Caratteristiche
Tc-99m	6 h	140	100	Facilmente disponibile Poco costoso Bassa dose al paziente
I-131	8 g	364	1.4	Relativamente alta dose
I-123	13 h	159	3.7 – 18.5	Proprietà fisiche favorevoli Costo elevato Difficilmente disponibile

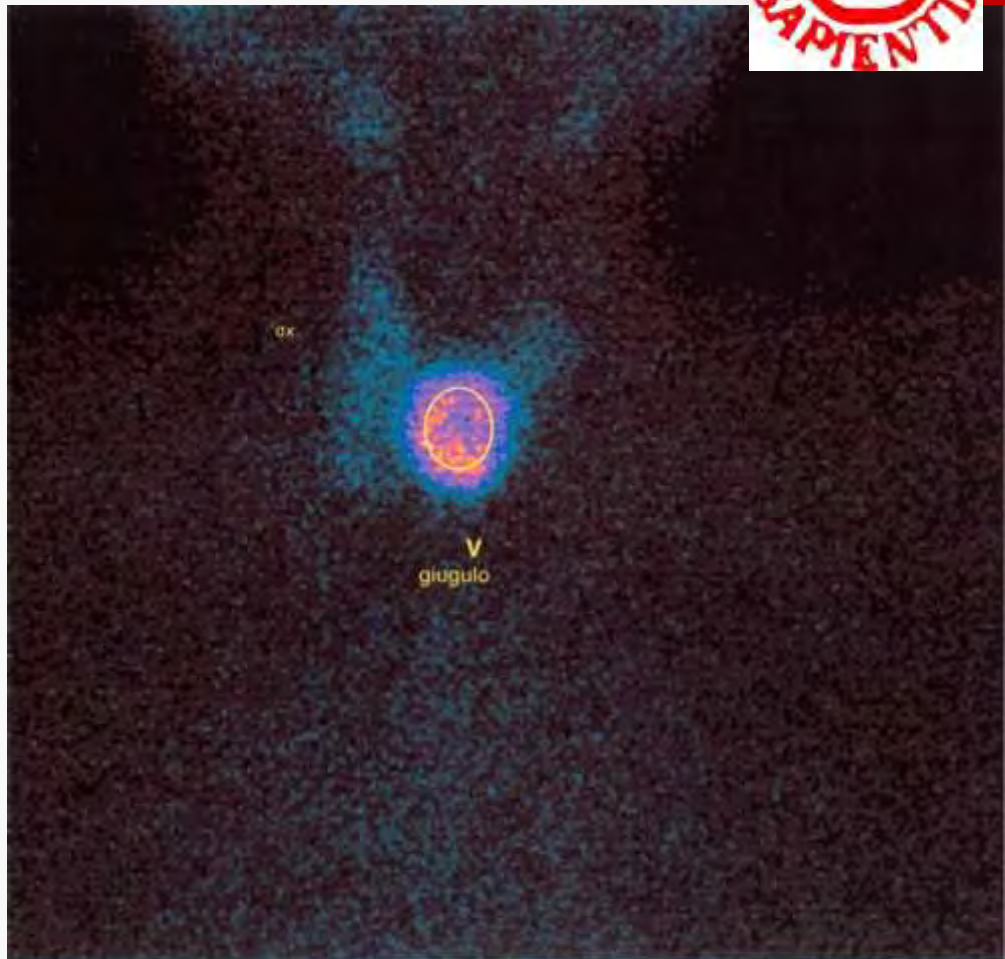
Asse ipotalamo- ipofisi-tiroide



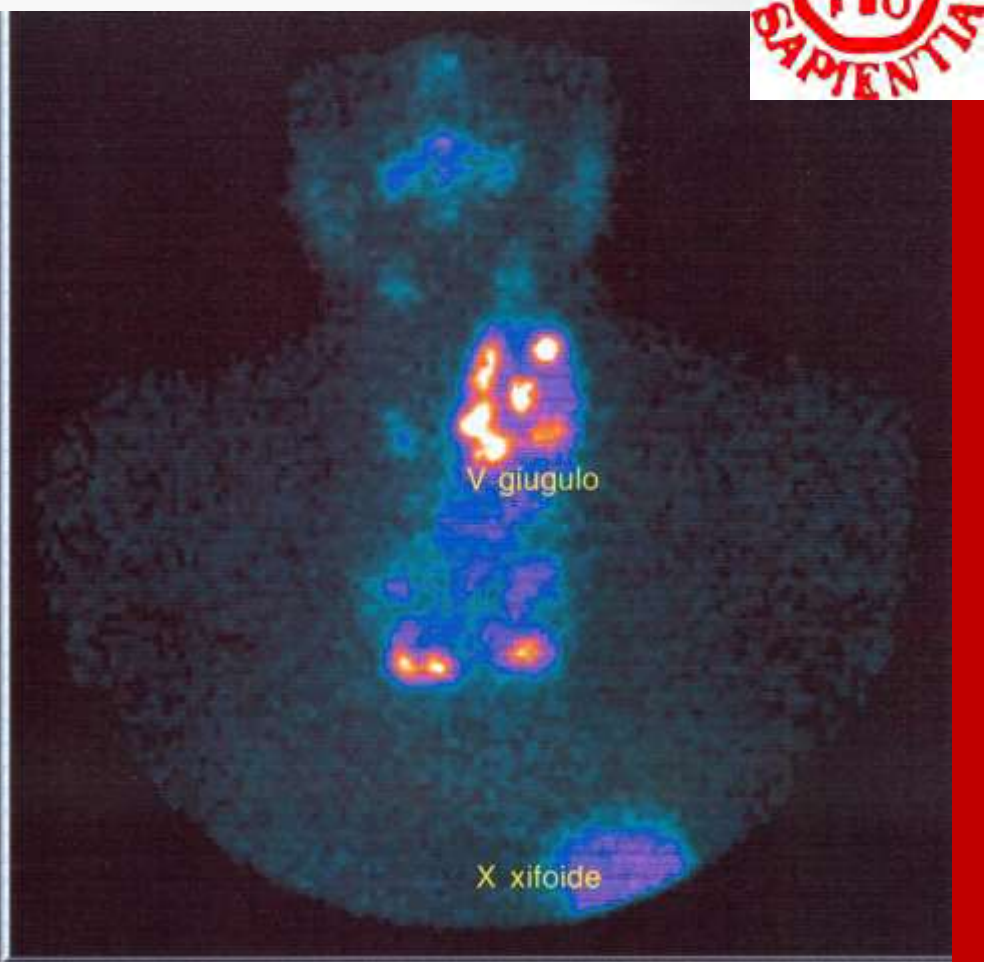
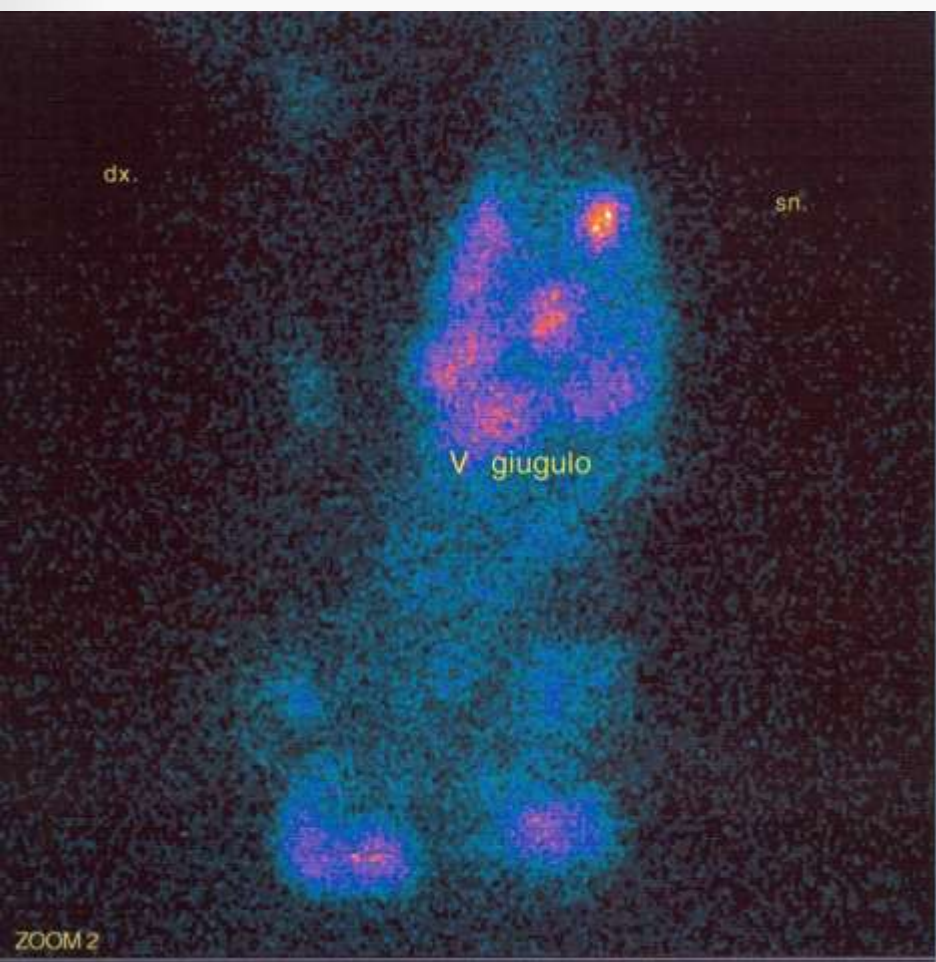




*Adenoma Tiroideo lobo sn a
"capacità inibente"*

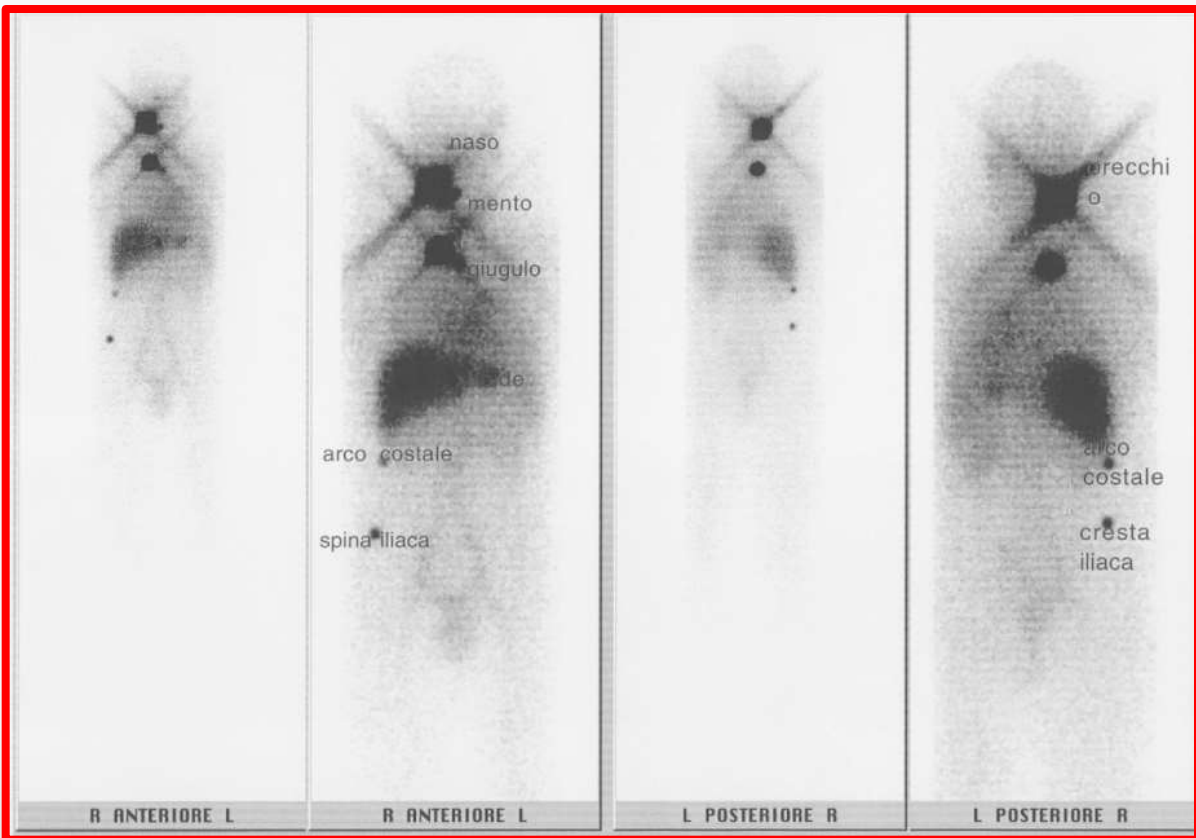


*Adenoma Tiroideo
con necrosi colliquativa*



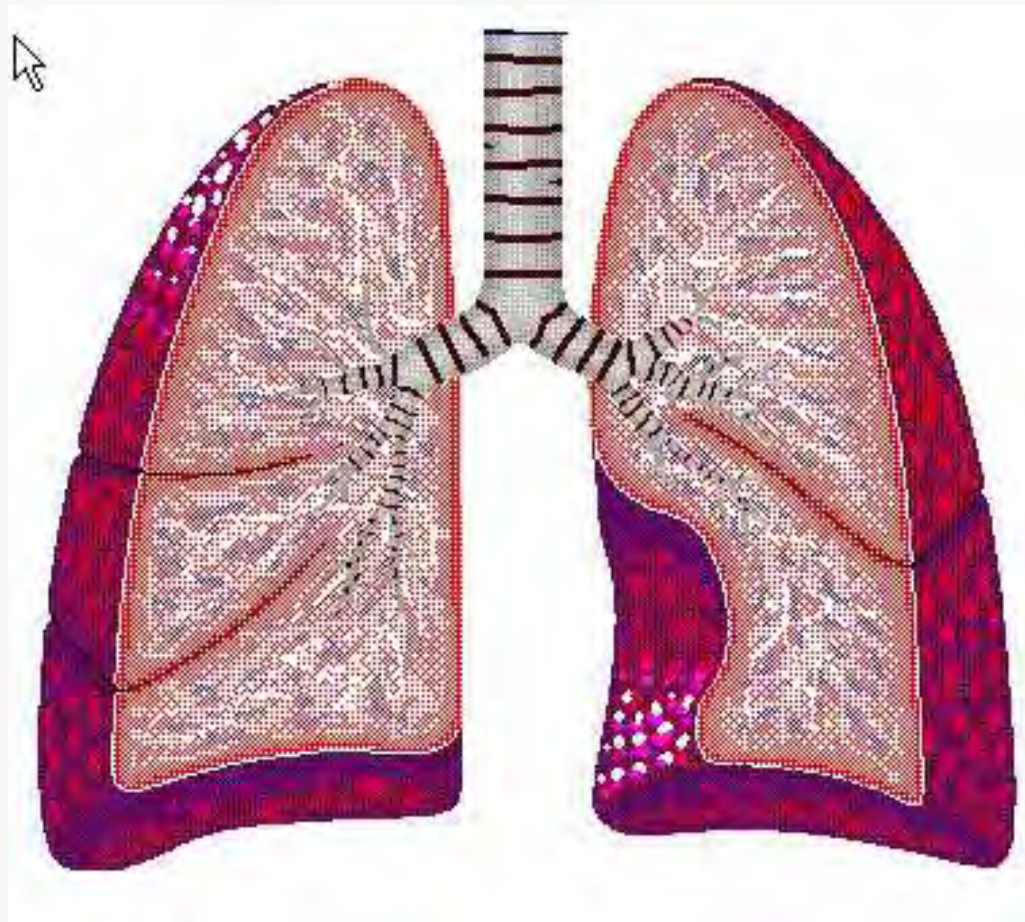
Voluminoso gozzo intratoracico

Scintigrafia TB 7 gg dopo dose terapeutica 3.7 GBq 131Iodio K TIROIDE





Radiofarmaci per lo studio dei polmoni



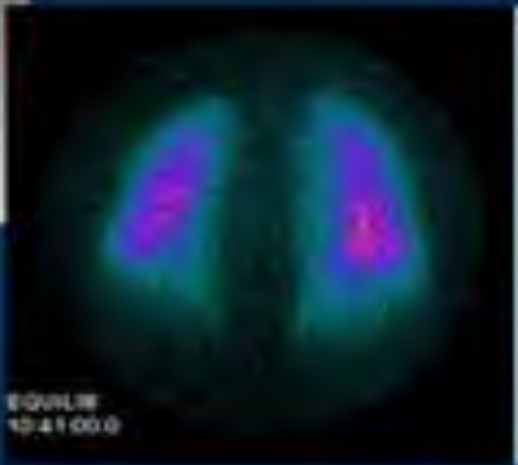


Macroaggregati di albumina (MAA)

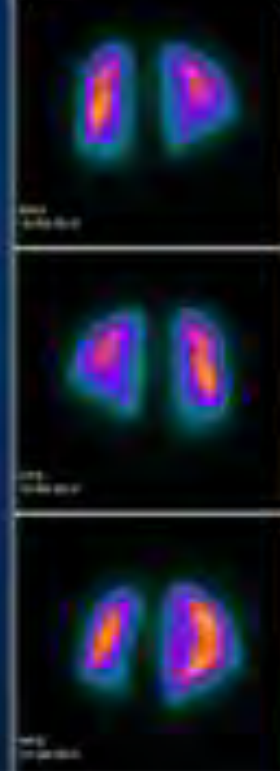
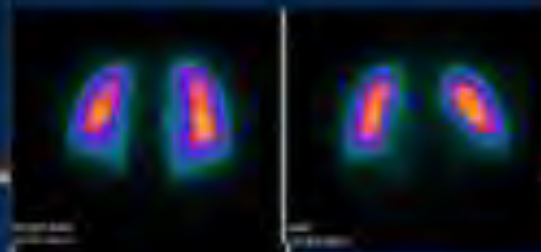
- Preparati per denaturazione al calore di albumina umana e coniugati con ^{99m}Tc .
- Dimensioni: il 90% tra 5-90 μm , la maggior parte tra 10-40 μm .



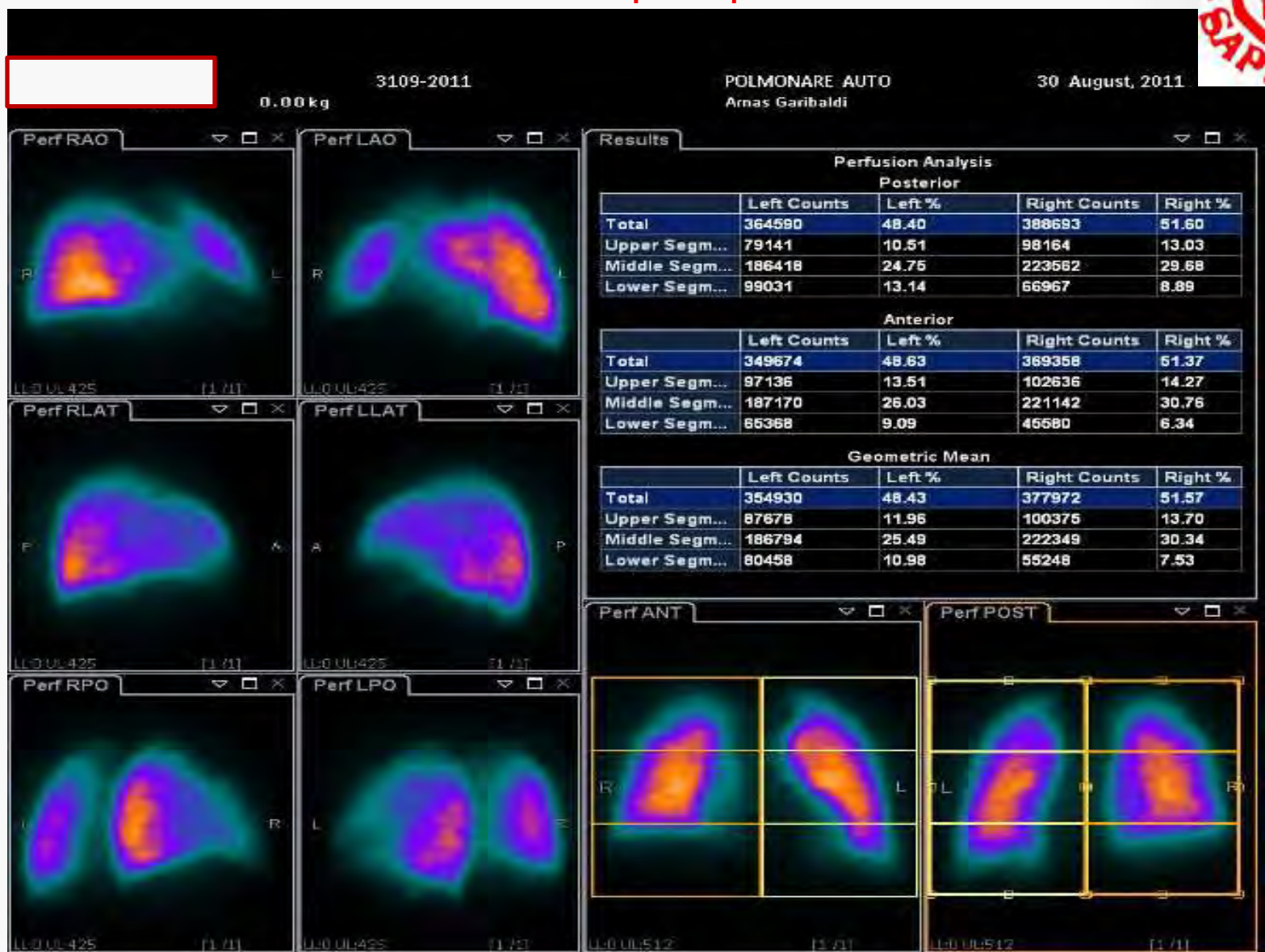
SCINTIGRAFIA POLMONARE



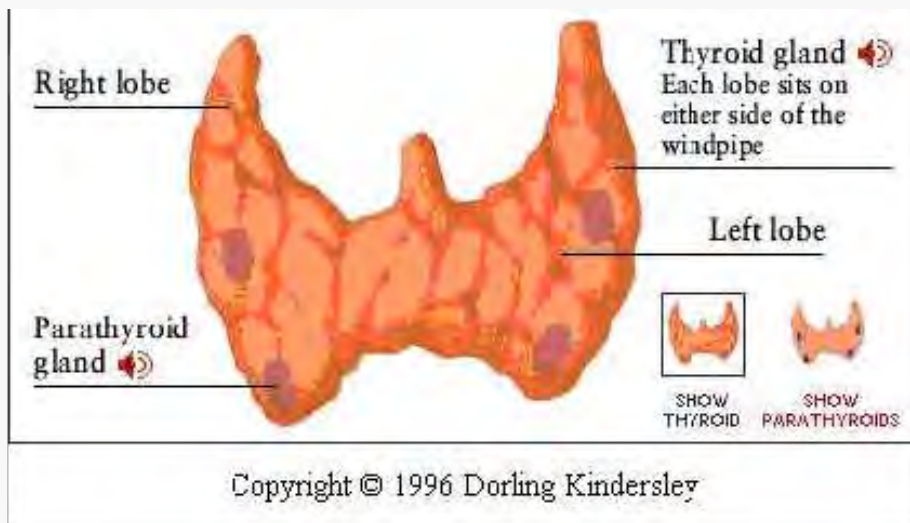
*Scintigrafia
Ventilatoria*



Valutazione funzionale preoperatoria

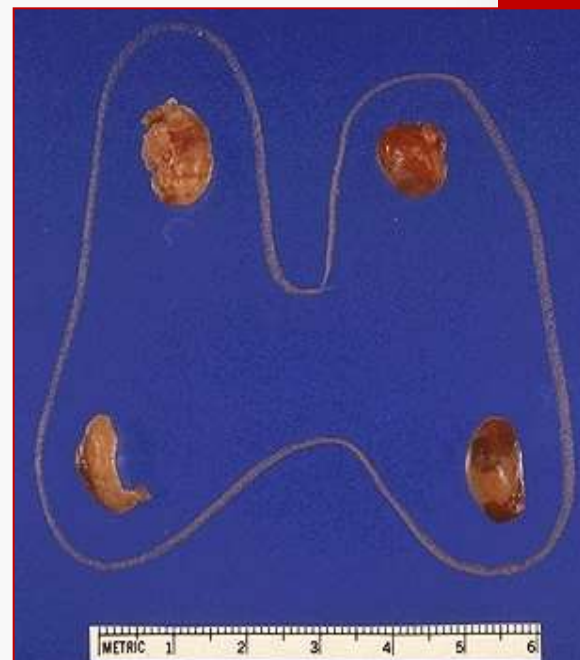


Radiofarmaci per paratiroidi



4 ghiandole (2 superiori e 2 inferiori) situate nel collo dietro la tiroide ma spesso in sede ectopica:

- Intratimiche
- Mediastiniche
- Intratiroidee





Favorisce
(indirettamente
Vit D)
l'assorbimento
intestinale di calcio

PTH



Favorisce il
riassorbimento
tubulare di calcio



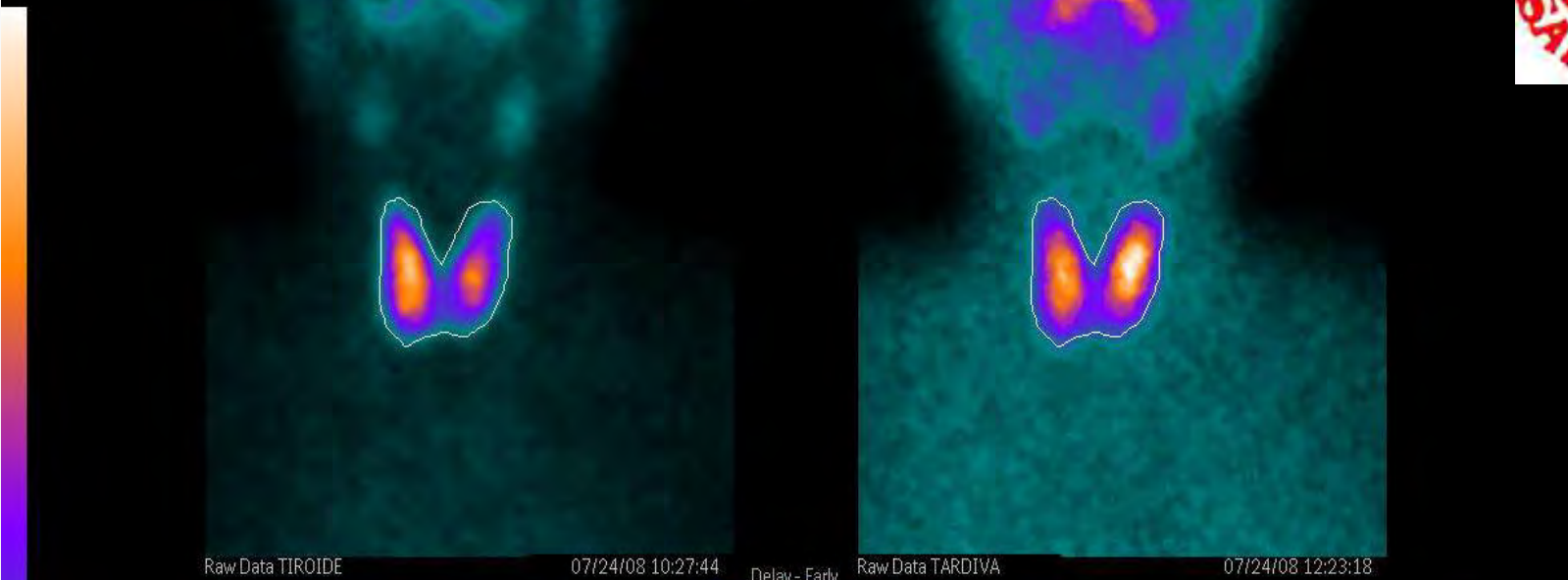
- riassorbimento minerale e spostamento di calcio nel sangue
- rimodellamento osseo: osteite fibrosa

RICCERI GRAZIA

1548-08

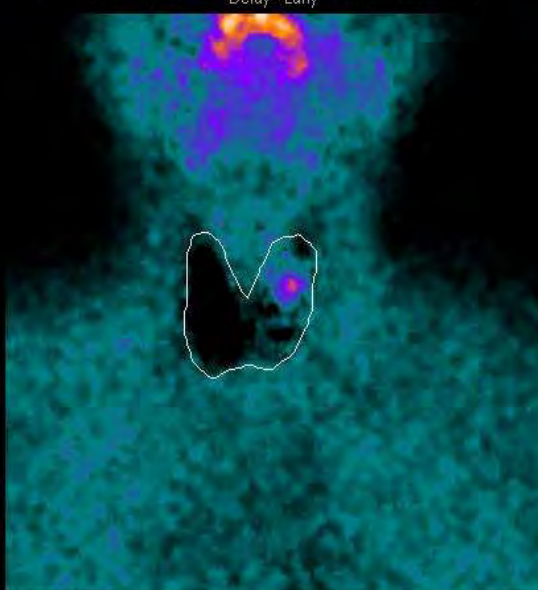
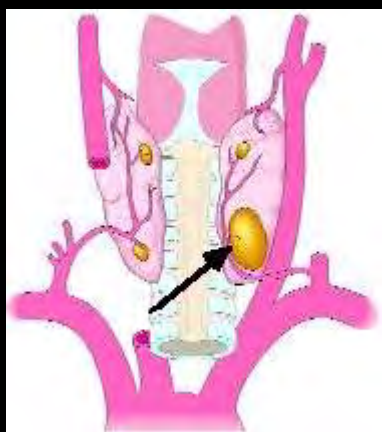
NOT FOR DIAGNOSTIC PURPOSES
PARATHYROID

July 24, 2008

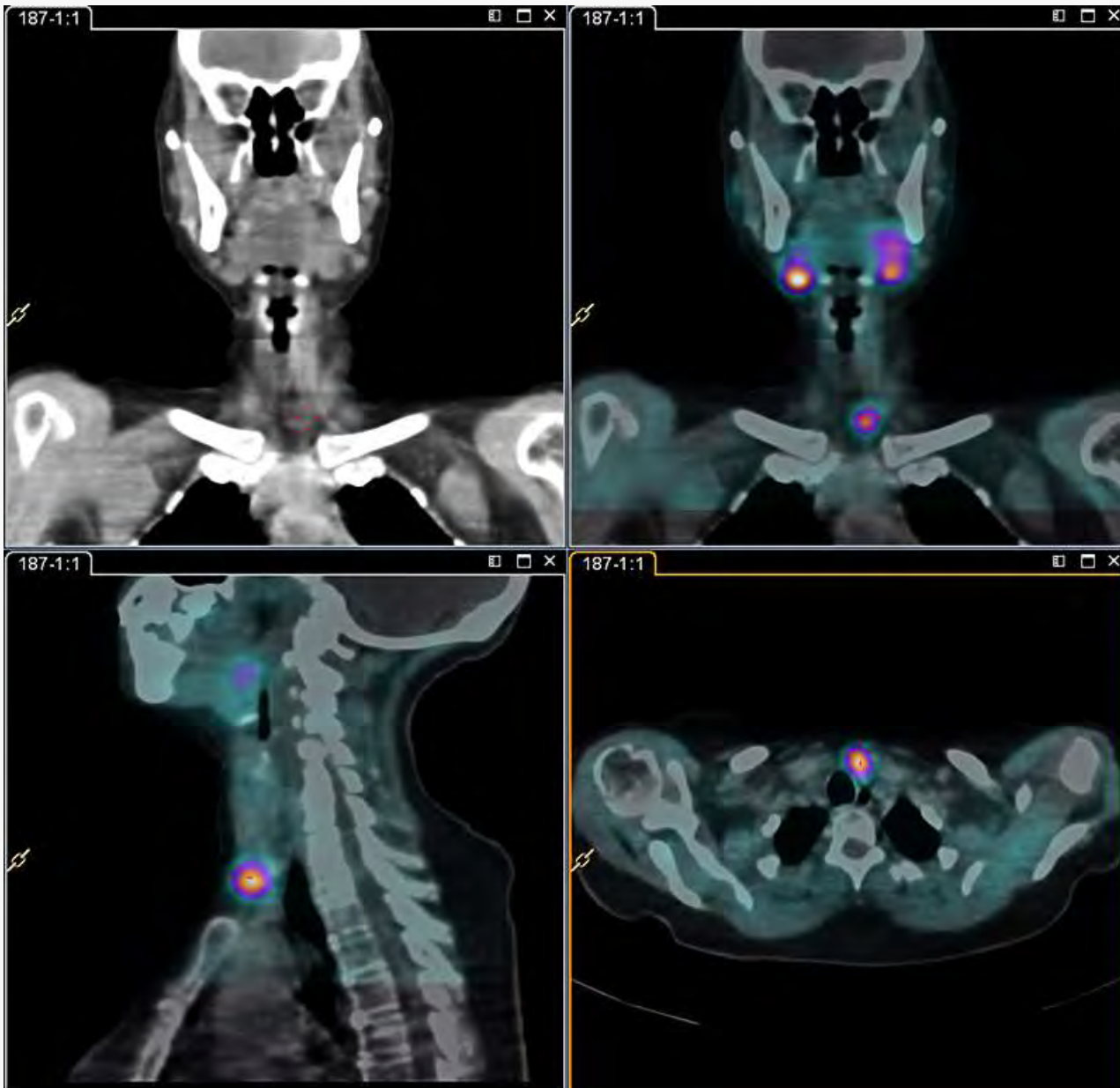


Counts in early ROI = 45403.

Counts in late ROI = 69592.



SPECT/CT - Paratiroidi



Sestamibi



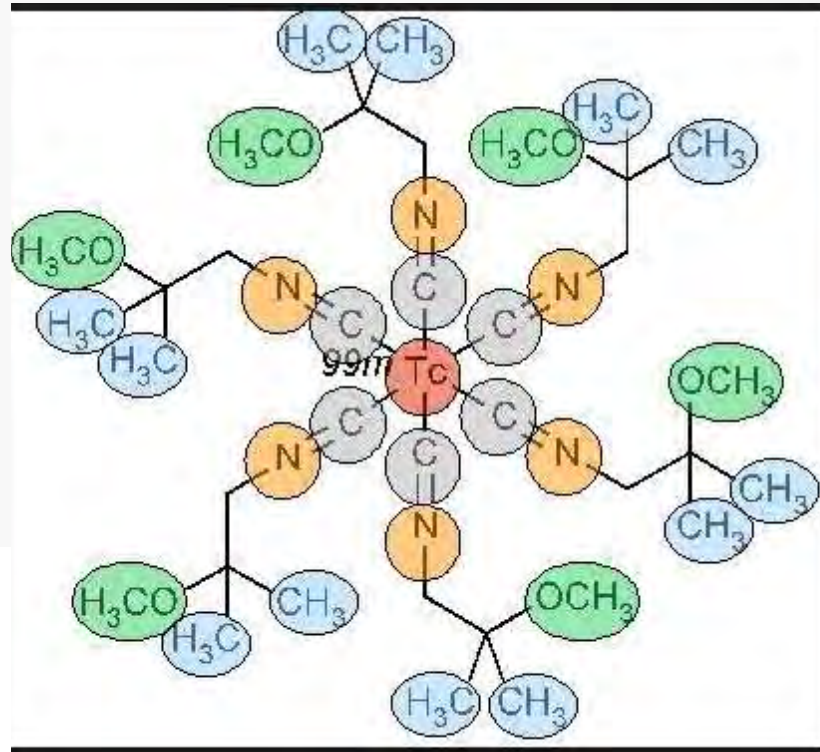
Cardiolite®
99mTc-Sestamibi

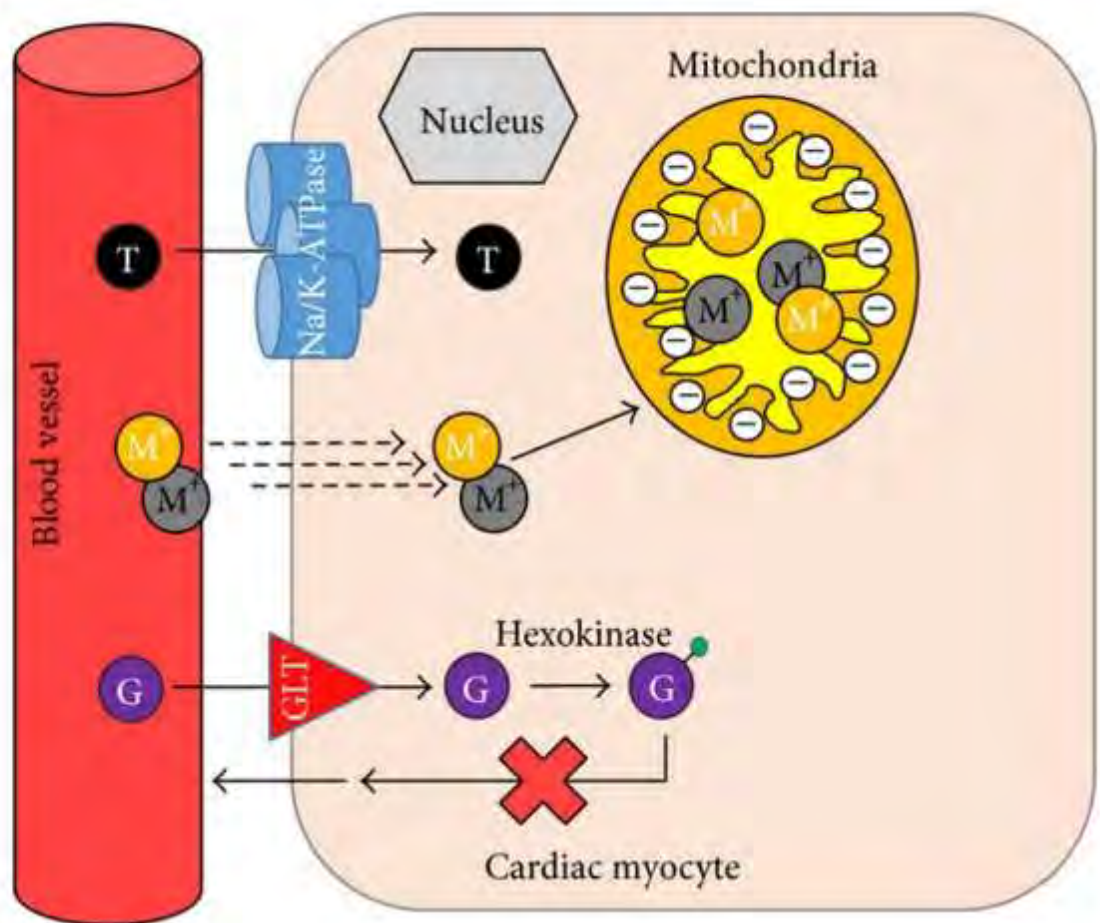
Protocollo di marcatura:

- 1-3 ml di pertechnetato sodico
- Agitare fino a completa dissoluzione
- 10 min a 100 ° C
- Raffreddare
- Stabile 10h



[^{99m}TcO₄]Na





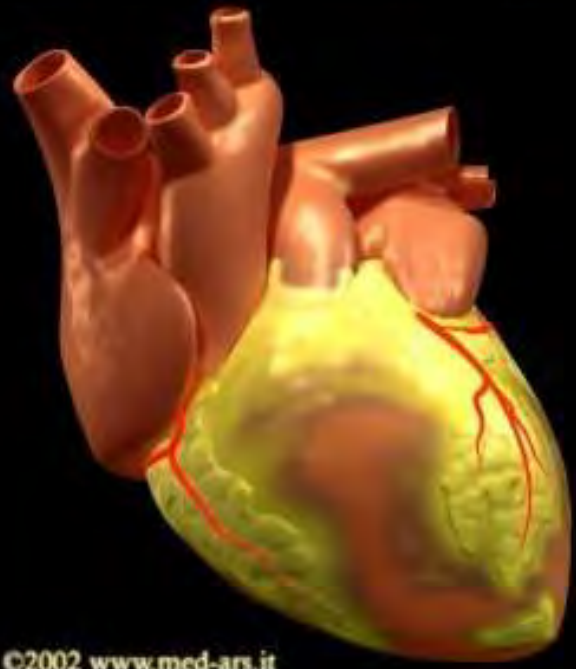
M^+ $^{99\text{m}}\text{Tc}$ -tetrofosmin

M' $^{99\text{m}}\text{Tc}$ -sestamibi

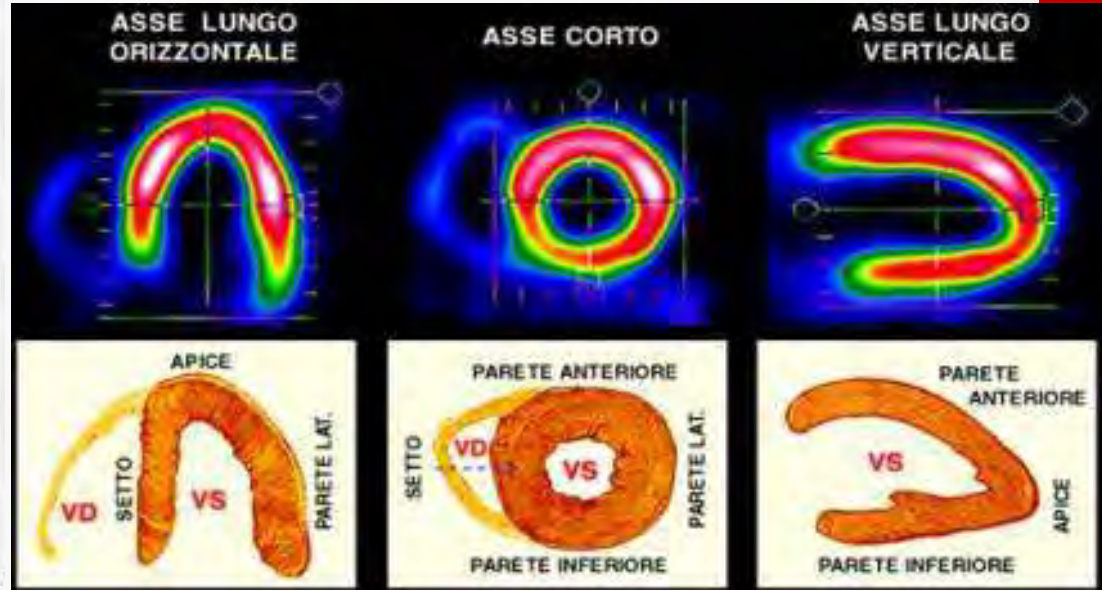
T $^{201}\text{Tl}^+$

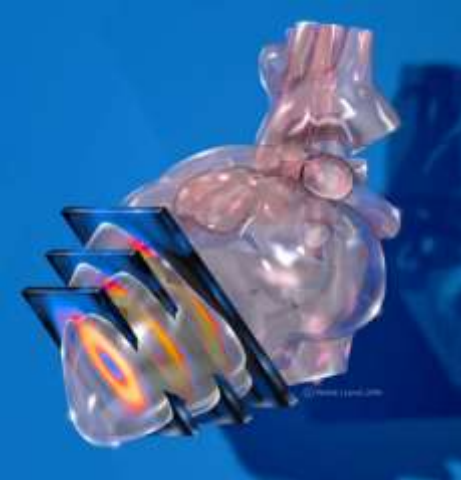
G ^{18}F -FDG

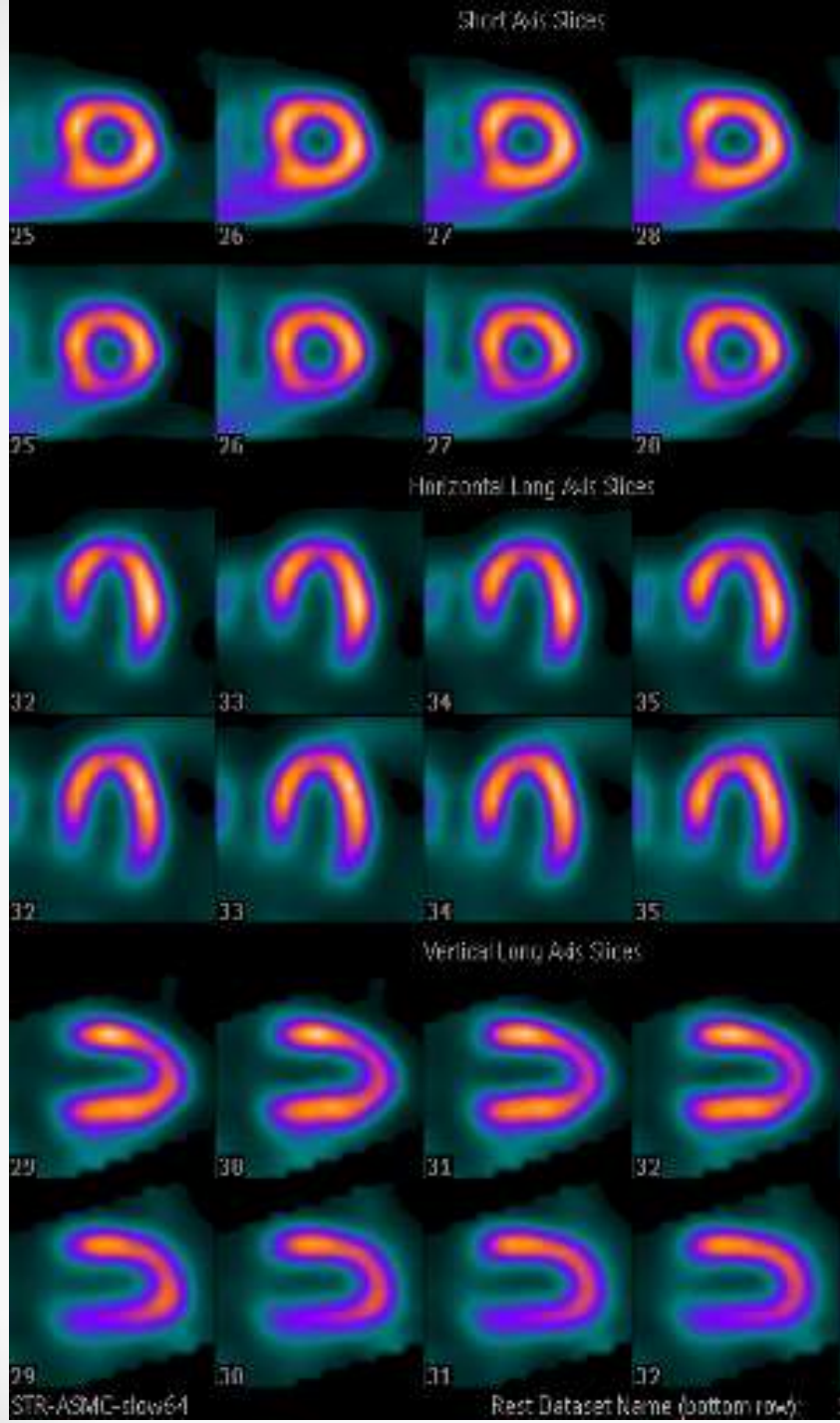
Radiofarmaci per il cuore

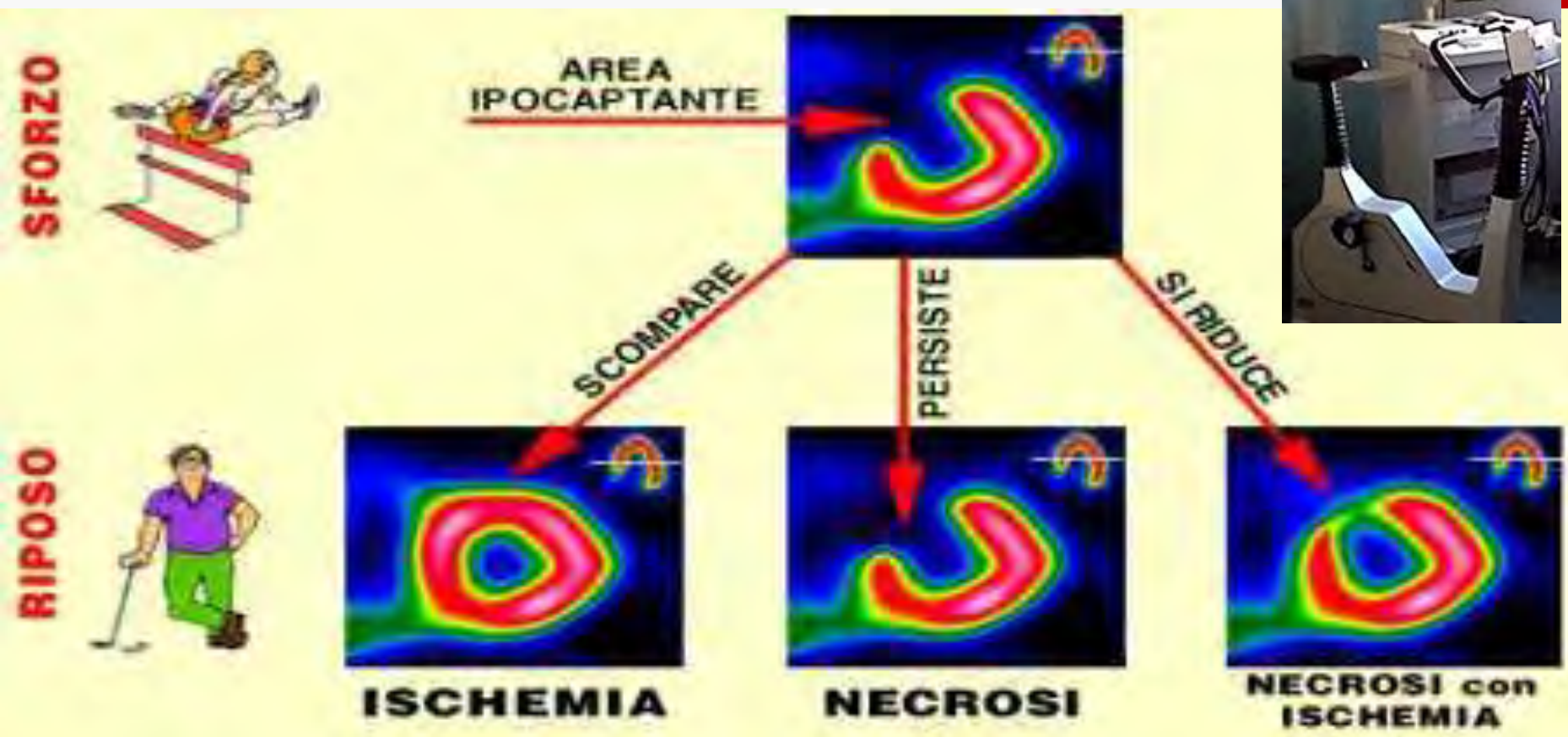
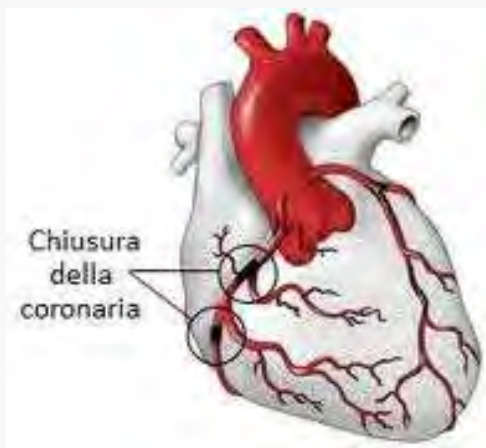


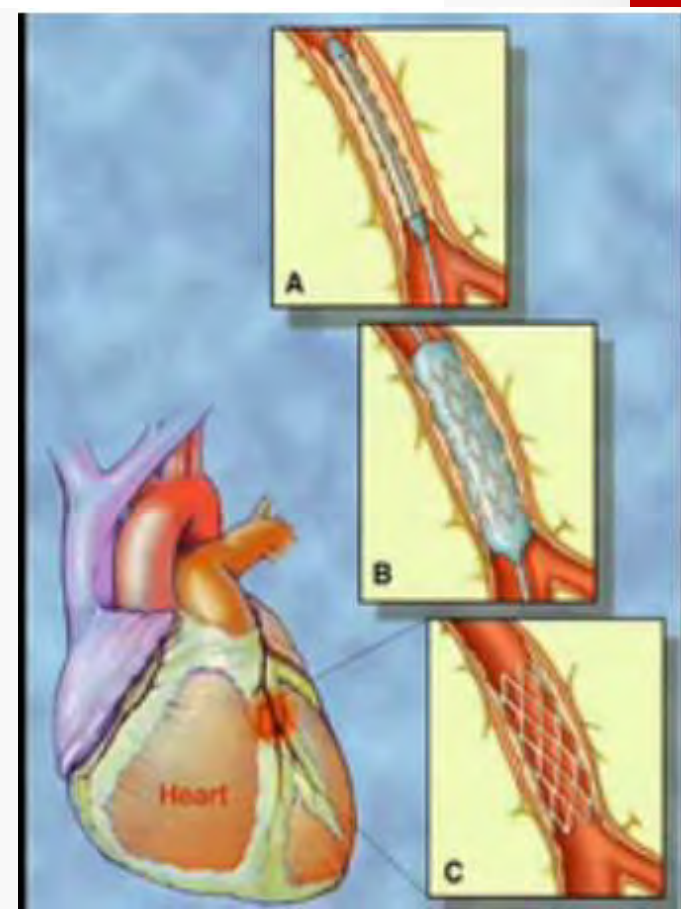
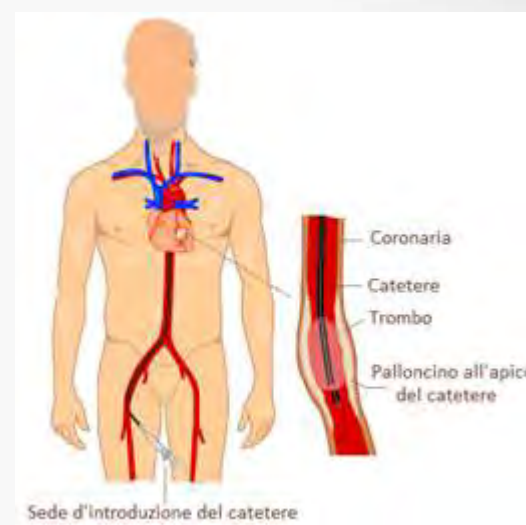
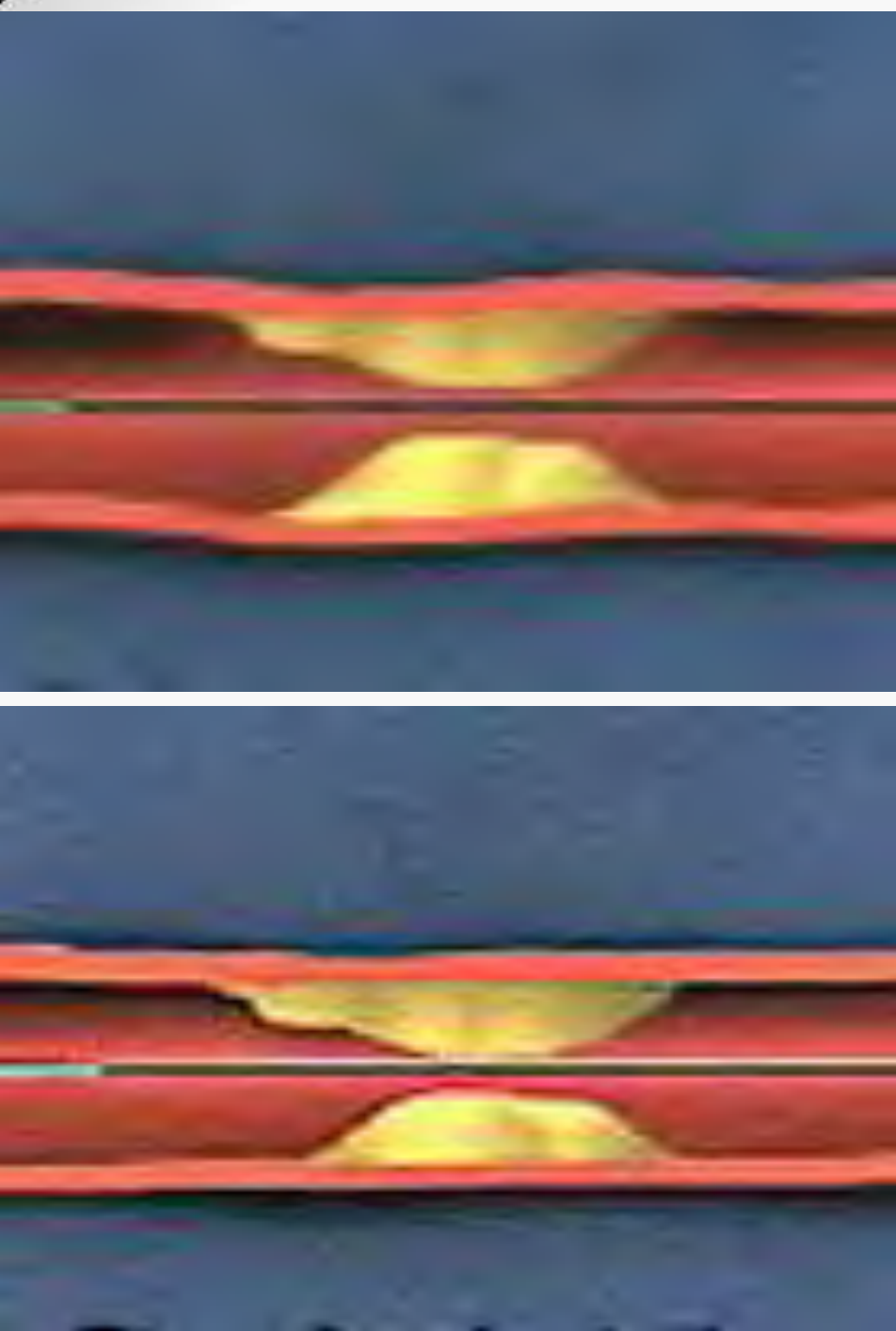
©2002 www.med-ars.it

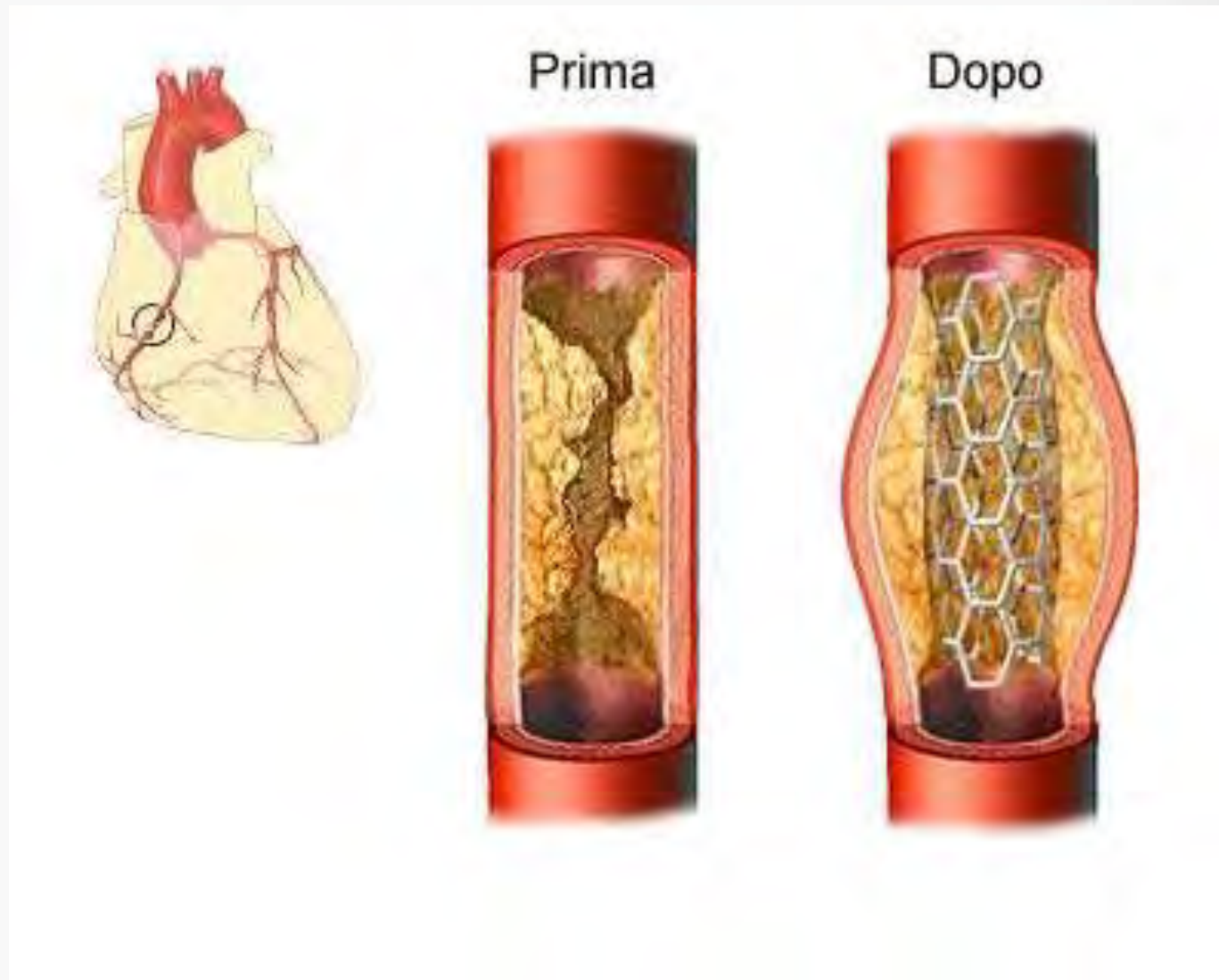






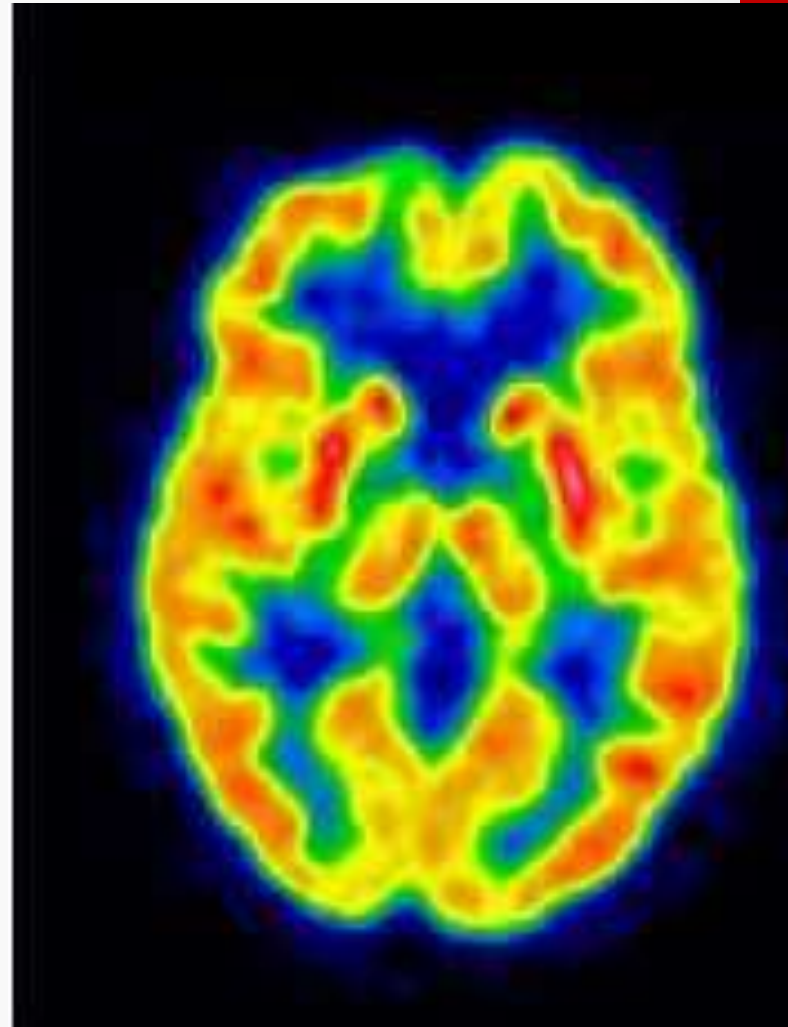
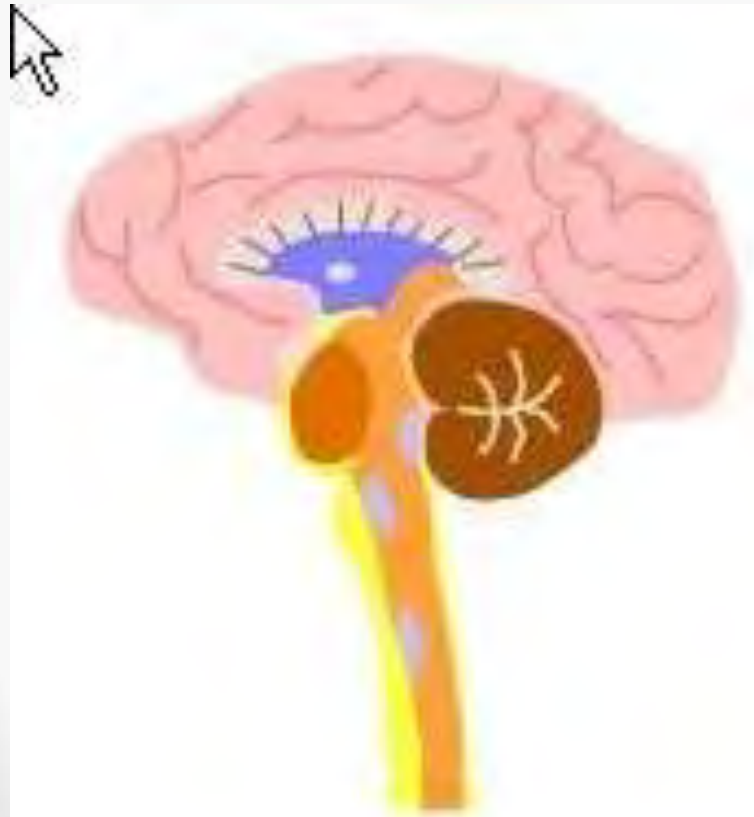








Radiofarmaci per lo studio del sistema nervoso centrale

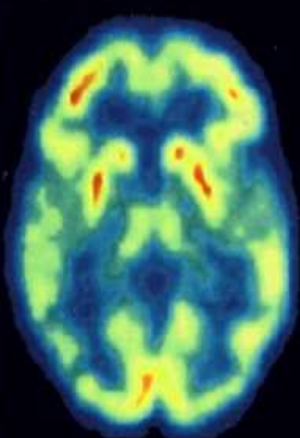




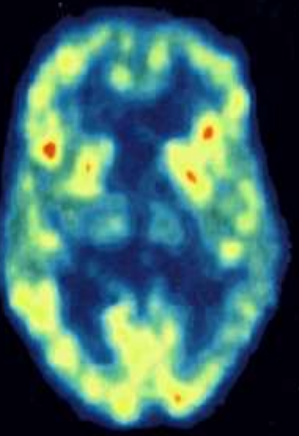
ATLAS



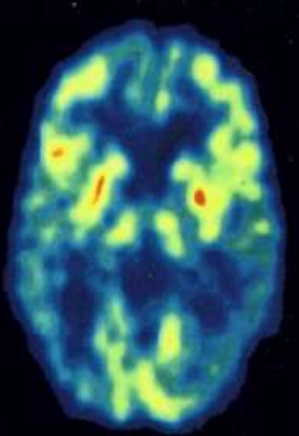
NORMAL



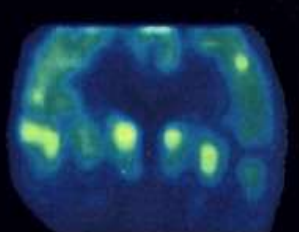
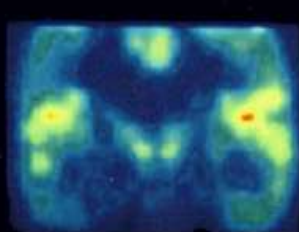
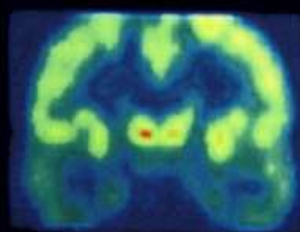
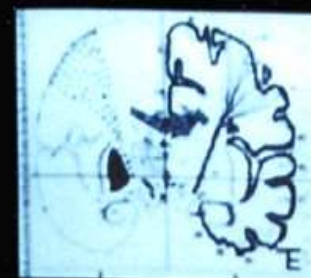
AMNESIC



ALZHEIMER



transaxial

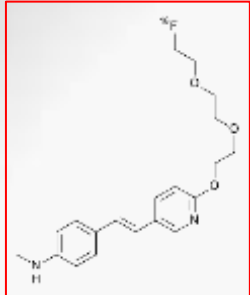


coronal

left

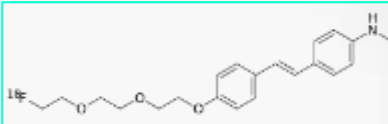
[¹⁸F]FDG





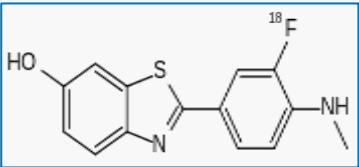
Radiofarmaci ^{18}F per l'imaging della β -amiloide

- (18)F]3'-F-PiB (Flutemetamol)
- (18)F-AV-45 (Florbetapir)
- (18)F-AV-1 (Florbetaben)
- ^{18}F -AZD4694



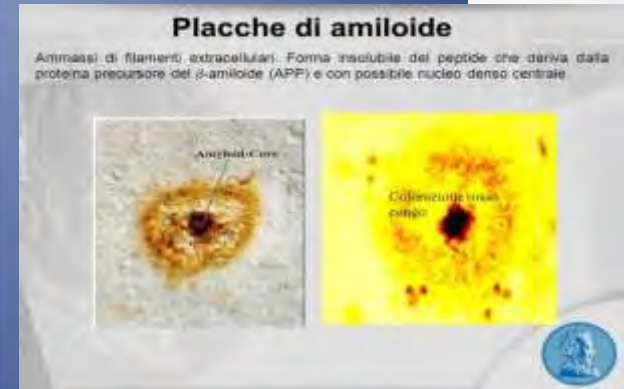
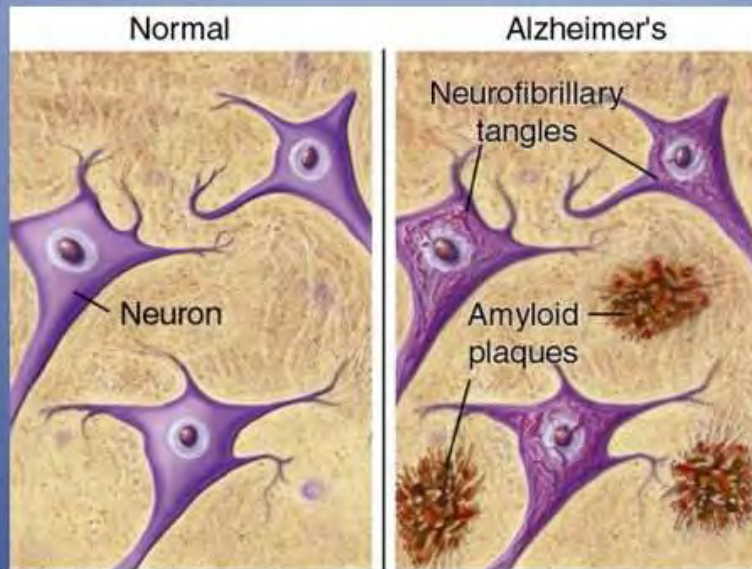
Negative

Positive



A β PET imaging

LA MALATTIA DI ALZHEIMER



Dal punto di vista neuropatologico, i cervelli dei pazienti colpiti da Alzheimer sono caratterizzati da placche costituite dall'accumulo di proteina beta-amiloide e dalla formazione di grovigli (ammassi neurofibrillari della proteina tau).

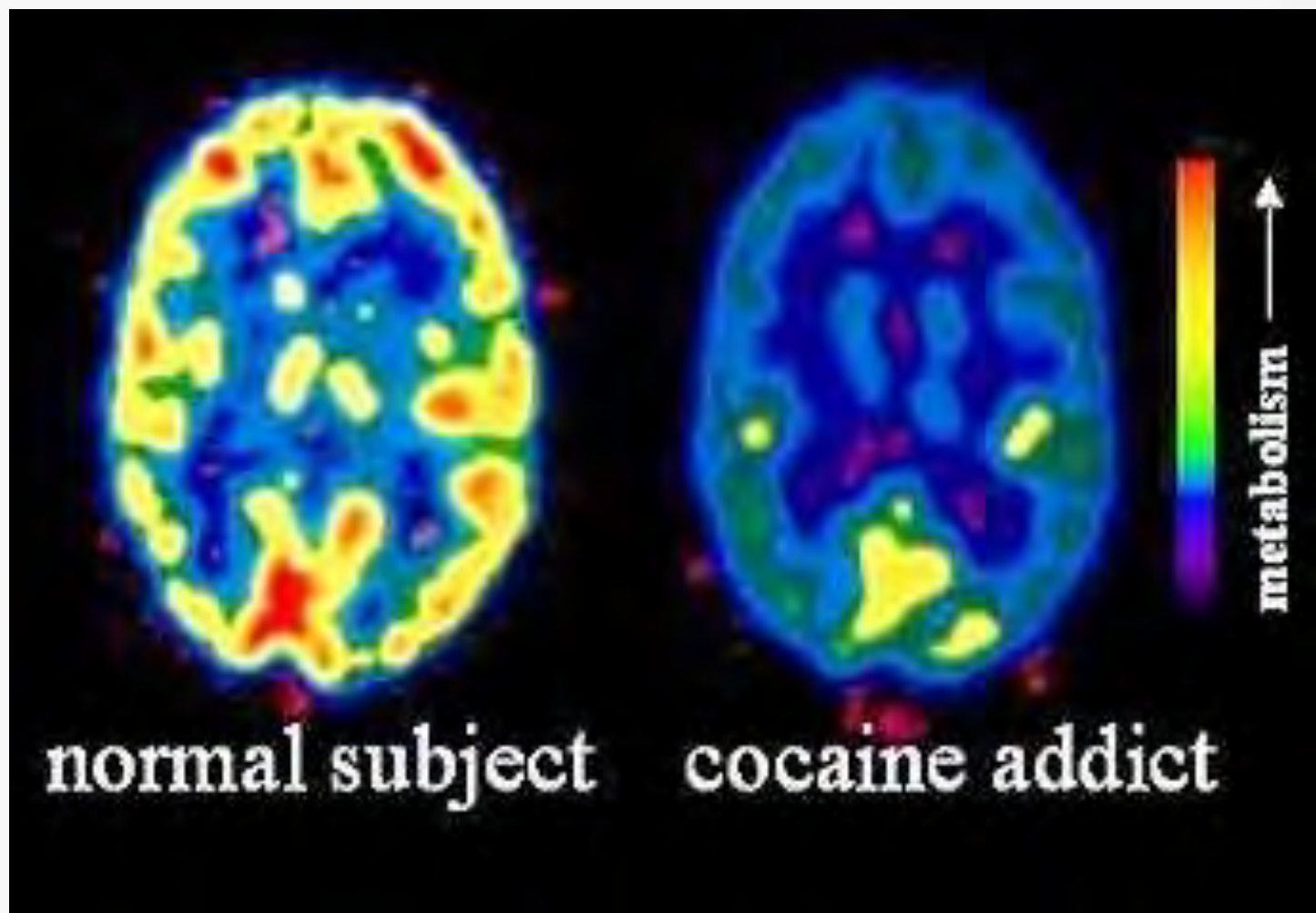




Fig. 3

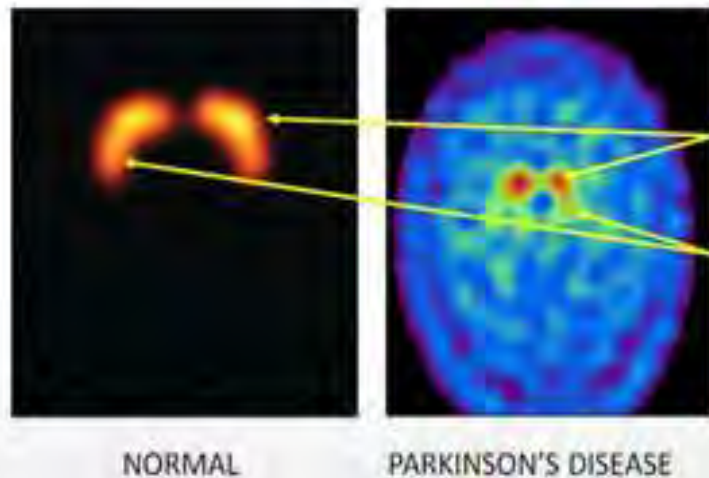
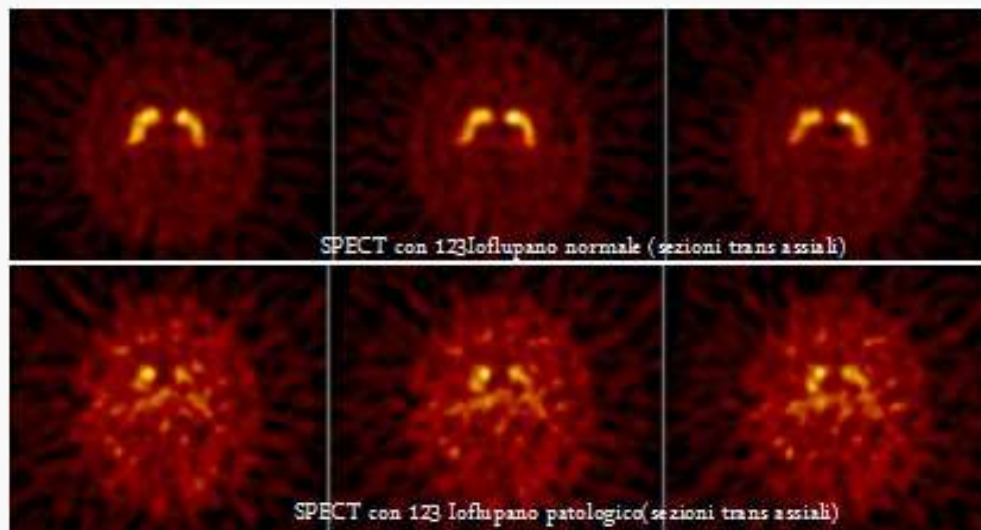


Fig. 4

Caudate
nucleus
Putamen



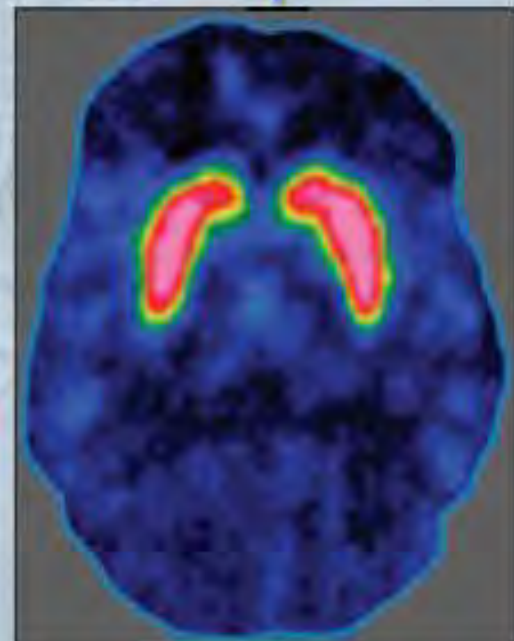
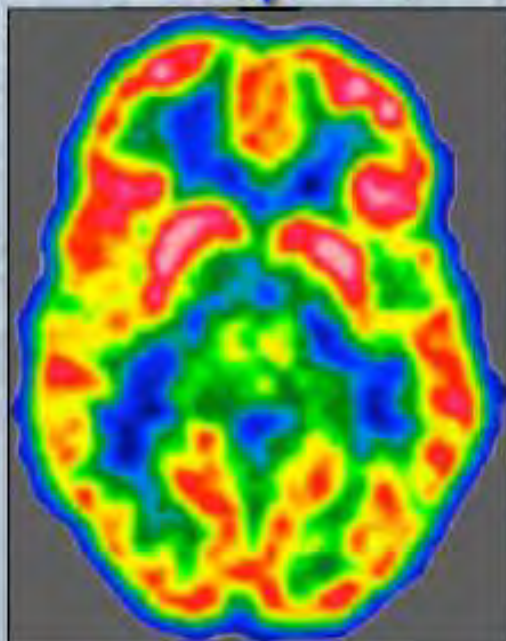
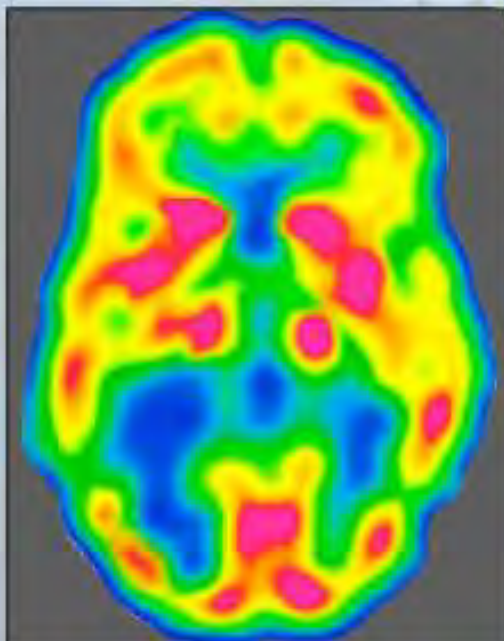


RM

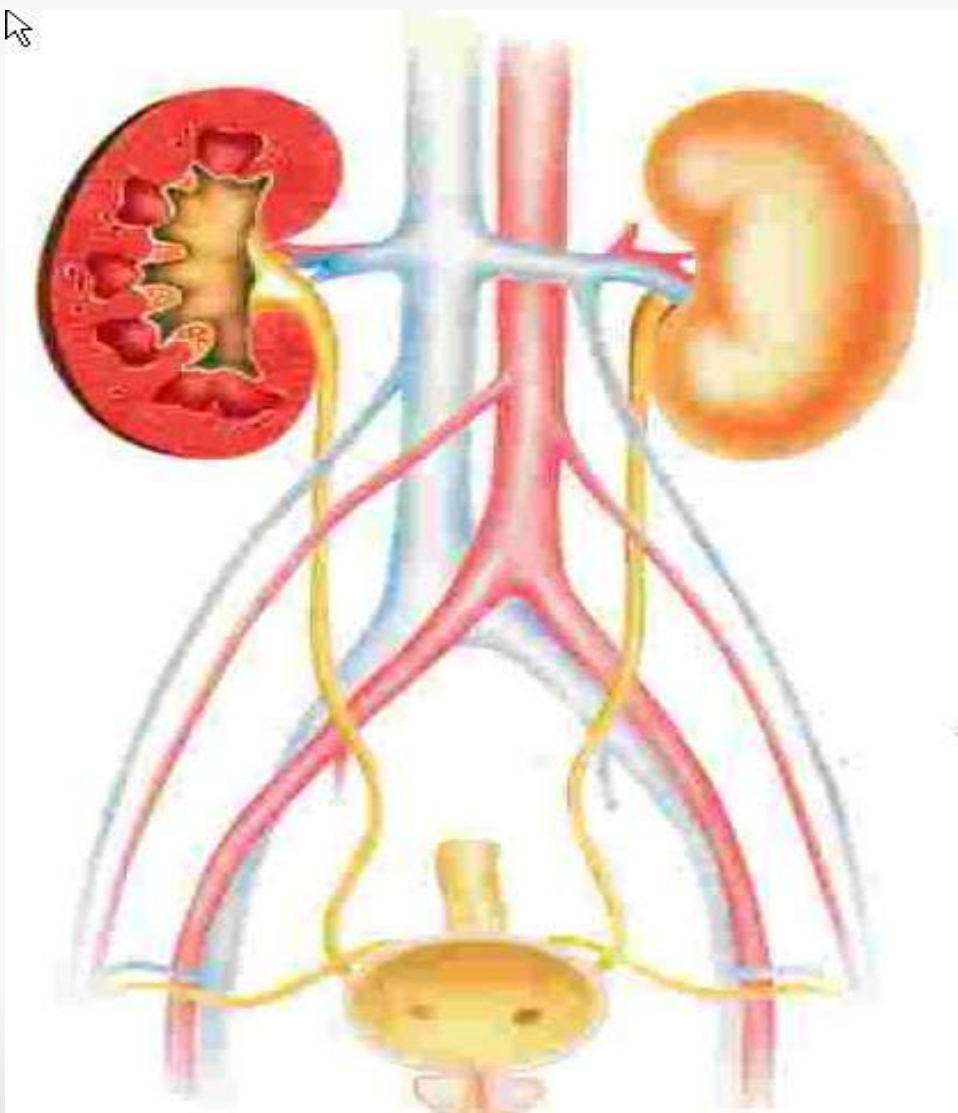
SPET ^{99m}Tc -ECD
[perfusione]

PET ^{18}FDG
[metabolismo]

PET $^{18}\text{FDOPA}$
[per Parkinson]



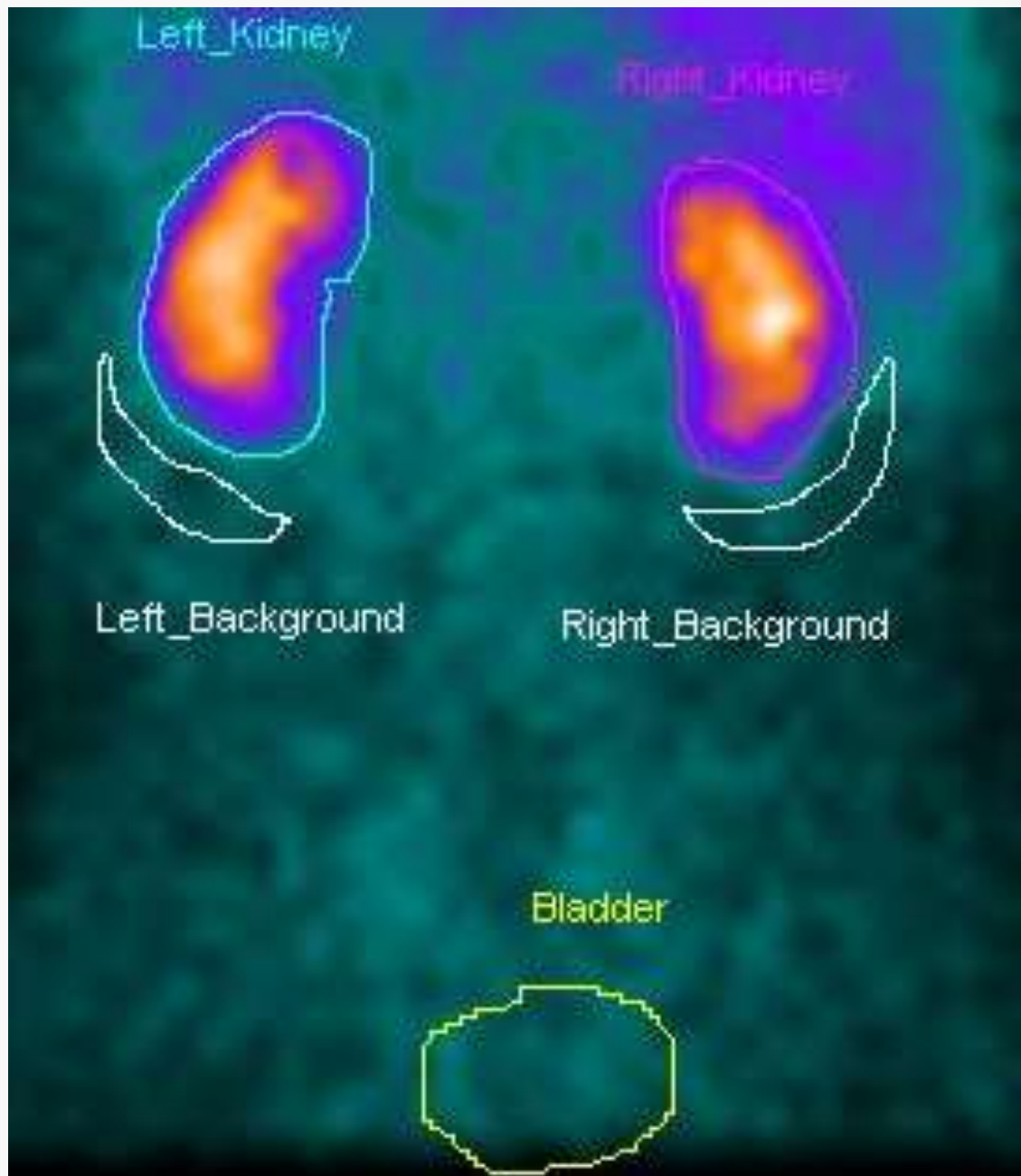
Radiofarmaci per l'apparato urinario

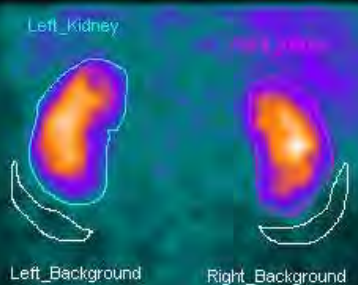




POST

ANT





01/27/04
RENAL SCAN
renal_results
P2Reframe
28

Bladder Image

No Post-void Image



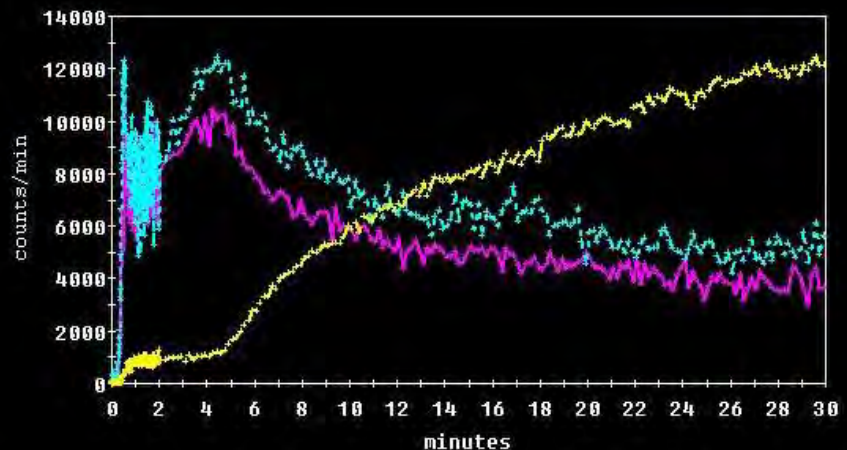
01/27/04
RENAL SCAN
renal_results
FuncSum1

2-3 Minute Summed Image

Patient Information

Height (cm)	2
Weight (kg)	100.0
Age (years)	42.0
Isotope	---
Dose Injected (MBq)	185.00
Transplant	NO
No Lasix	

Background Subtracted Kidney Curves



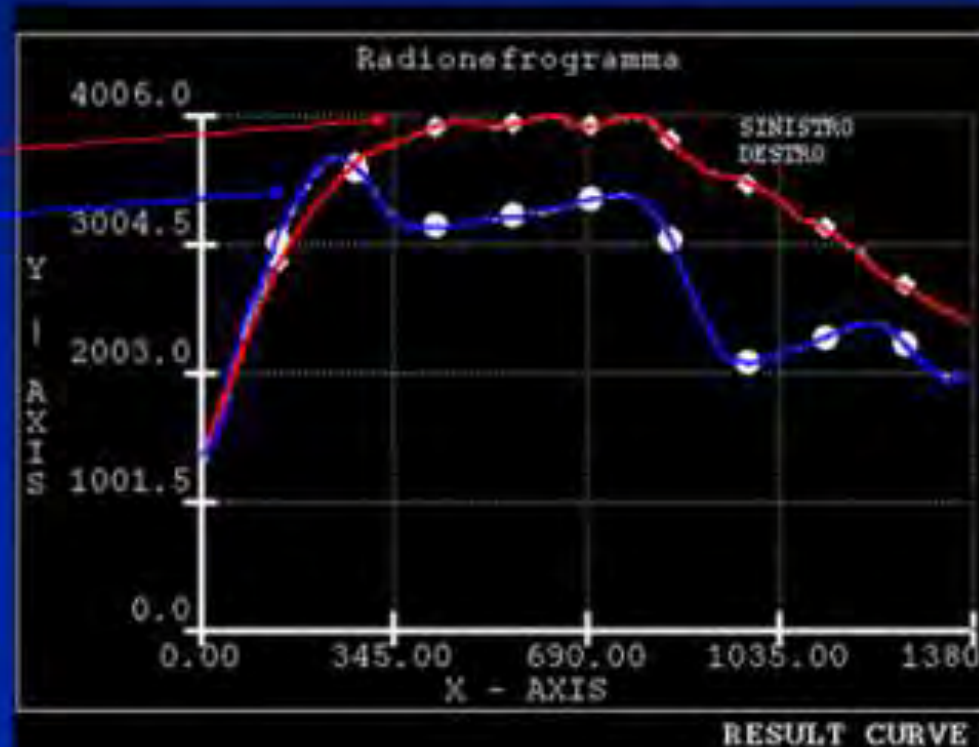
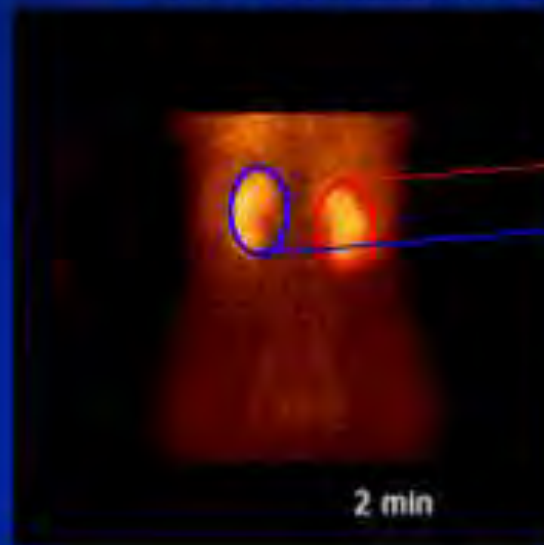
— Right Kidney BS Curve - - - Left Kidney BS Curve
- · - Scaled Bladder Curve

Function Results

	Left	Right
Uptake (%) (2-3 min)	51.7	48.3
TTP (min)	4.42	4.25
Peak Count Rate (counts/min)	12460.3	10436.7
T 1/2 from peak (min)	15.22	10.86
Left Kidney : Bladder peak ratio	0.37	

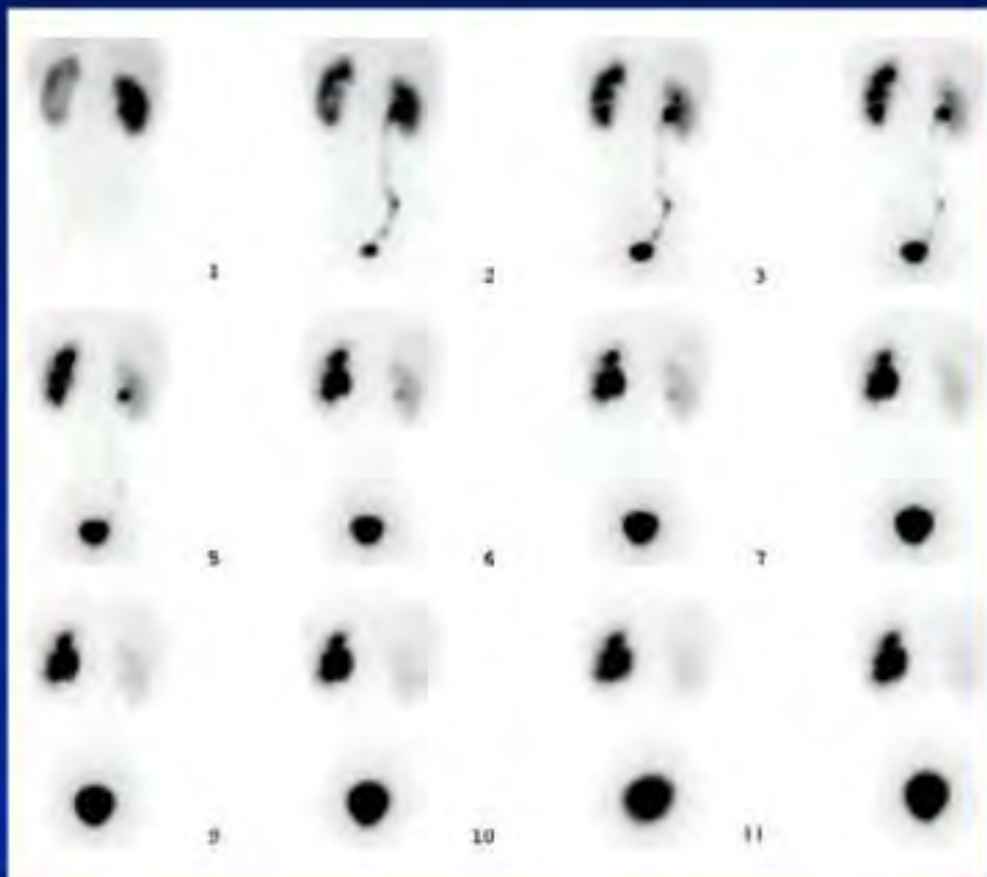
Radionefrogramma

- E' la rappresentazione grafica del transito di tracciante attraverso ciascun rene
 - Fase angiografica
 - Tempo di picco
 - Fase di eliminazione





Stenosi del giunto pieloureterale sin.



SCINTIGRAFIA CON LEUCOCITI MARCATI O CON Ab-
monoclonali Antigranulociti

STUDIO DEI PROCESSI SETTICI/INFIAMMATORI



Morbo di Chron

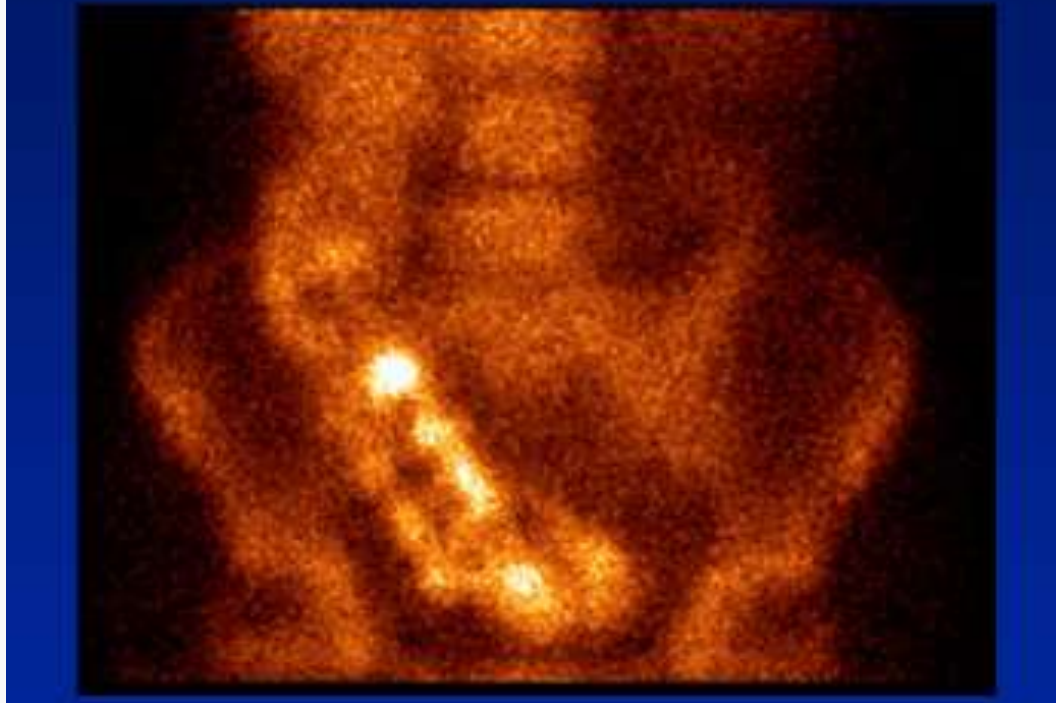




Fig. 2A

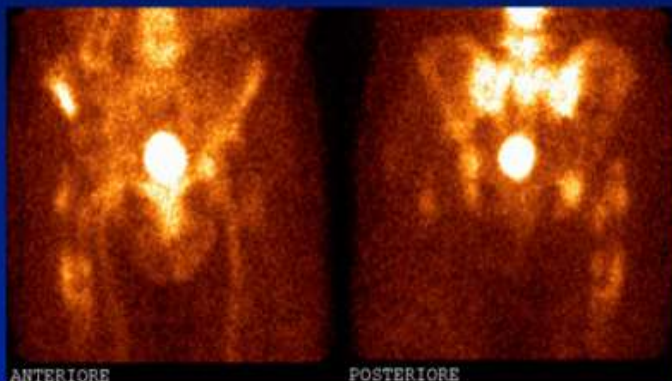


Fig. 2B



Fig. 2C

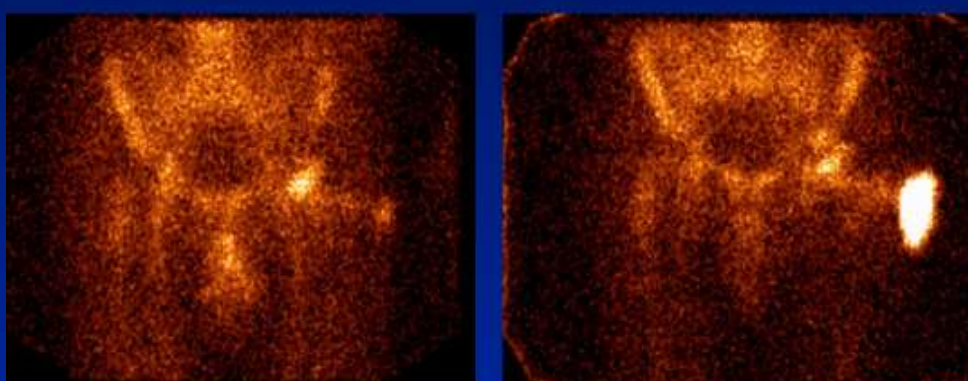
Protesi di anca infetta (^{99m}Tc -HMPAO)



ANTERIORE

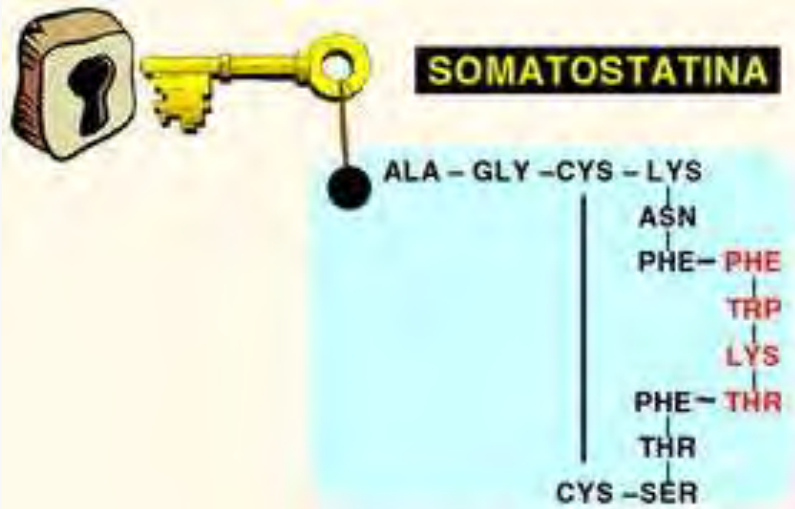
POSTERIORE

Protesi di anca infetta (^{111}In -oxinato)

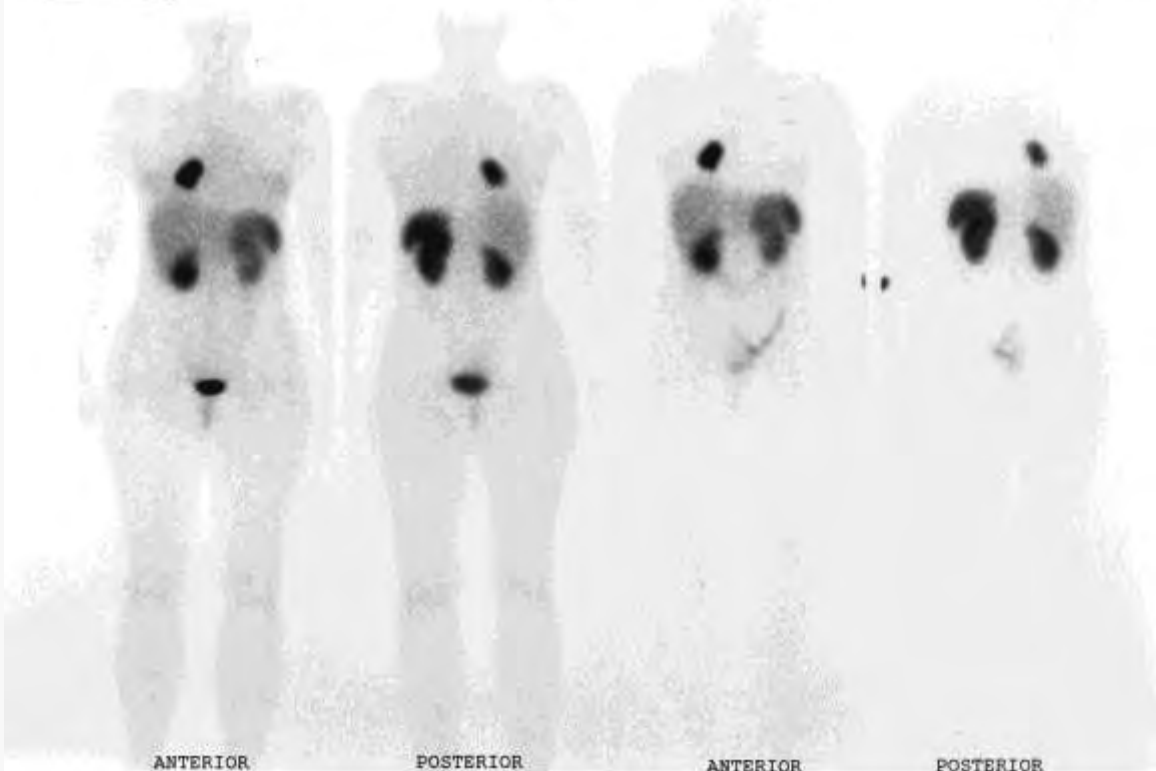


Scintigrafia ^{99m}Tc -HMPAO-leucociti autologhi marcati, per sospetta infezione di artroprotesi coxo-femorale destra completa

Scintigrafia ossea con ^{111}In -oxinato leucociti autologhi marcati in infezione di artroprotesi con fistola cutanea

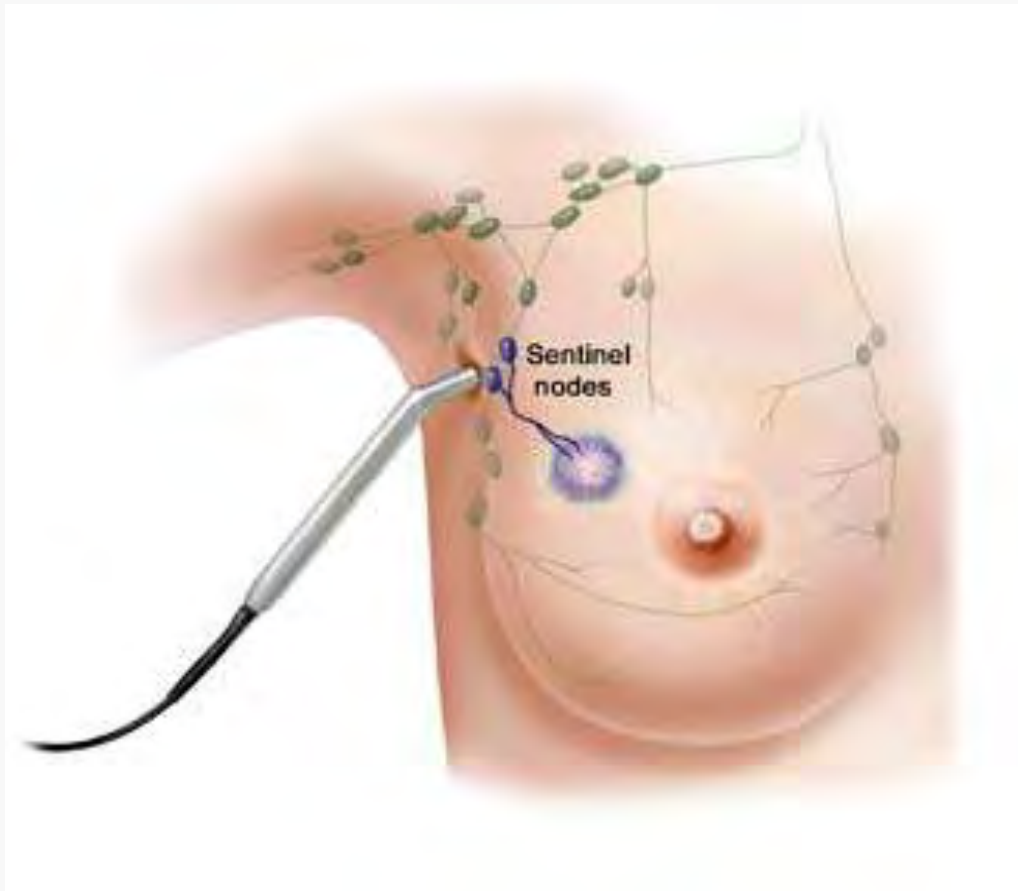


[REDACTED] 15 Jun 99 OCTREOSCAN 16 Jun 99 16 Jun 99
4 HRS. [REDACTED] 4 HRS. 24 HRS. 24 HRS.



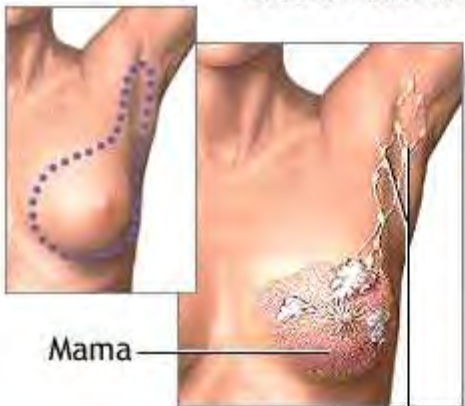


LINFONODO SENTINELLA





Mastectomía radical modificada



Extirpación de la
mama y los ganglios
linfáticos afectados

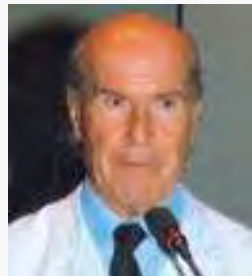
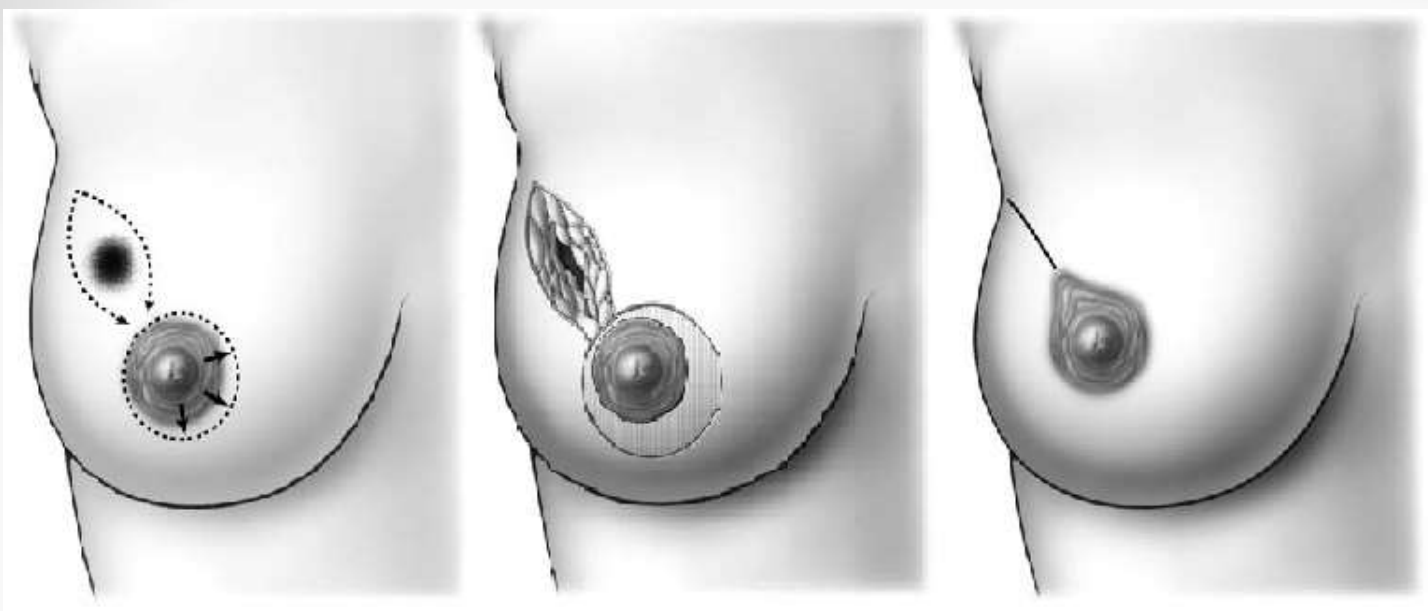


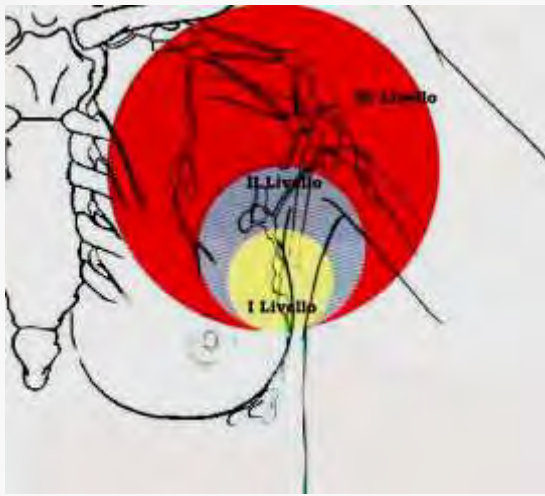
Figura 1 – Linfedema del brazo destro (dominante)



courtesy of Dr. Carlo Farina

Lymphedema in the dominant arm



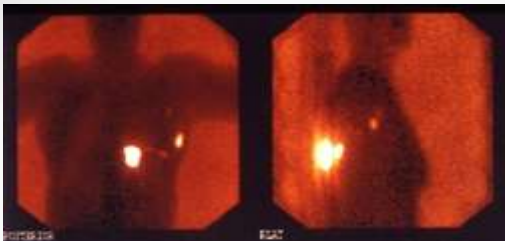


**La dissezione ascellare
di per se non migliora la
prognosi, ma è importante come
elemento di stadiazione**

**La biopsia radioguidata del
Linfonodo SENTINELLA
rappresenta attualmente lo
standard nella terapia del
carcinoma mammario di
dimensioni limitate.**



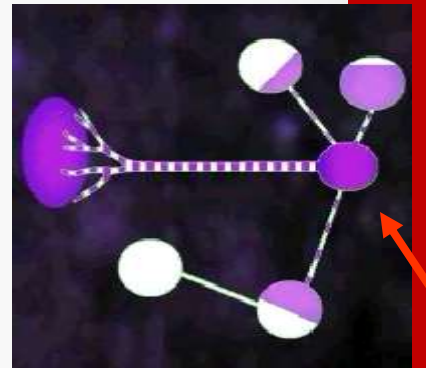
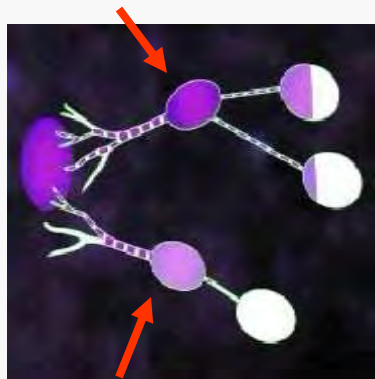
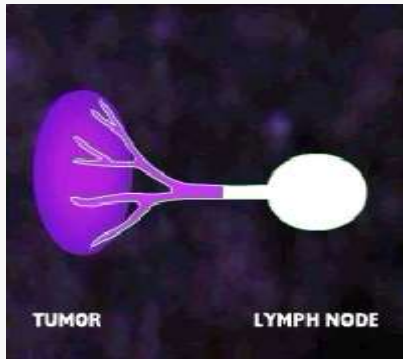
Breast lymph nodes



Linfoscintigrafia



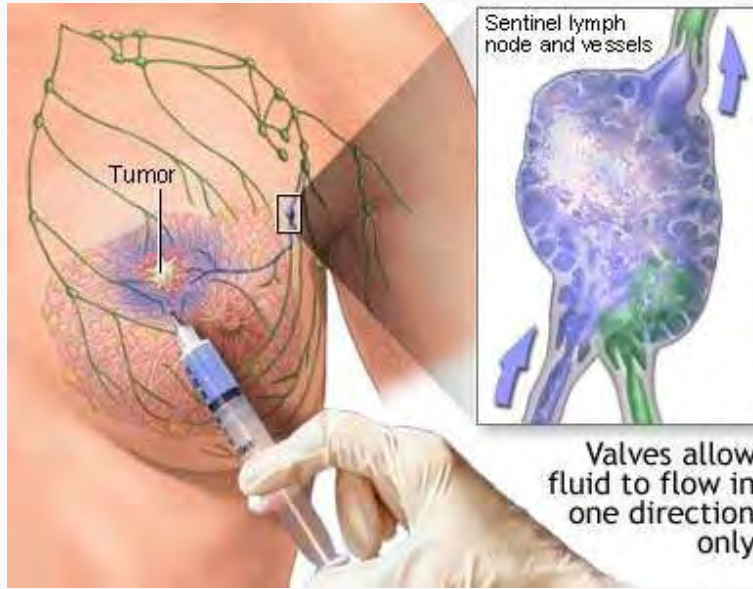
Definizione di LINFONODO SENTINELLA



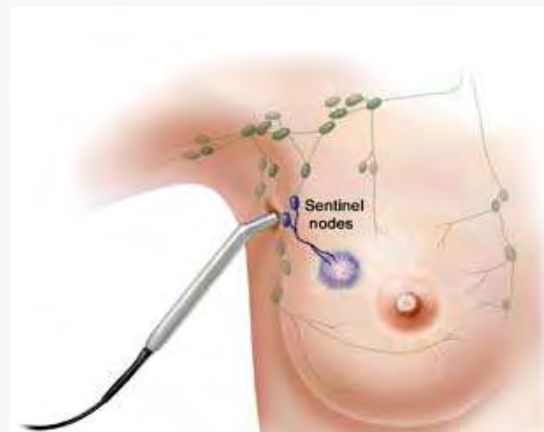
- Il Linfonodo Sentinella è quello che drena dal tumore primitivo con un canale linfatico diretto ed è pertanto il primo ad essere coinvolto dallo spreading linfatico tumorale

- Possono esservi più di un Linfonodo Sentinella

Biopsia del linfonodo sentinella

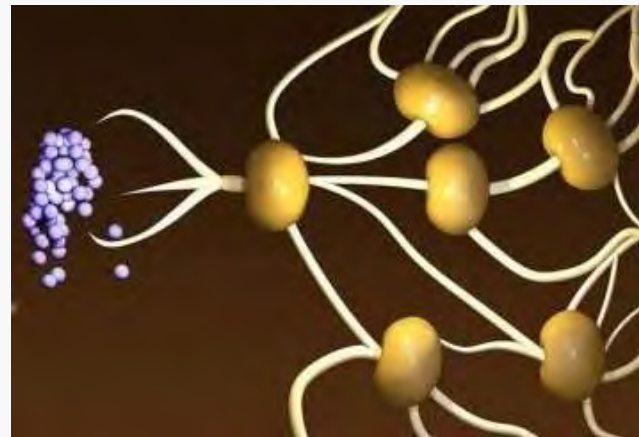
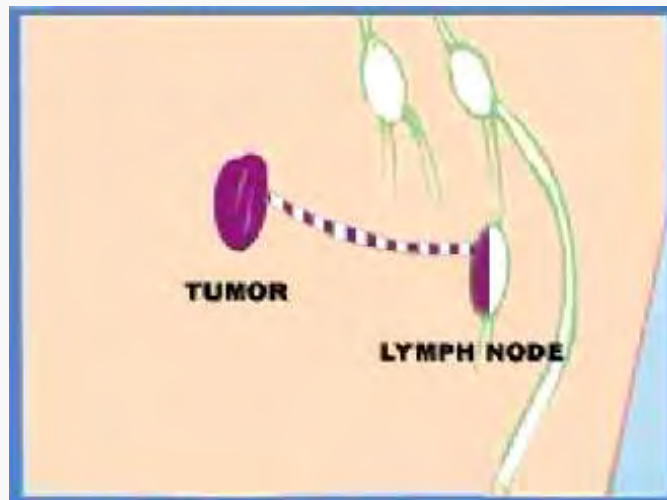


"Il primo possibile sito di metastasi dall'area di drenaggio linfatico della lesione primaria¹"



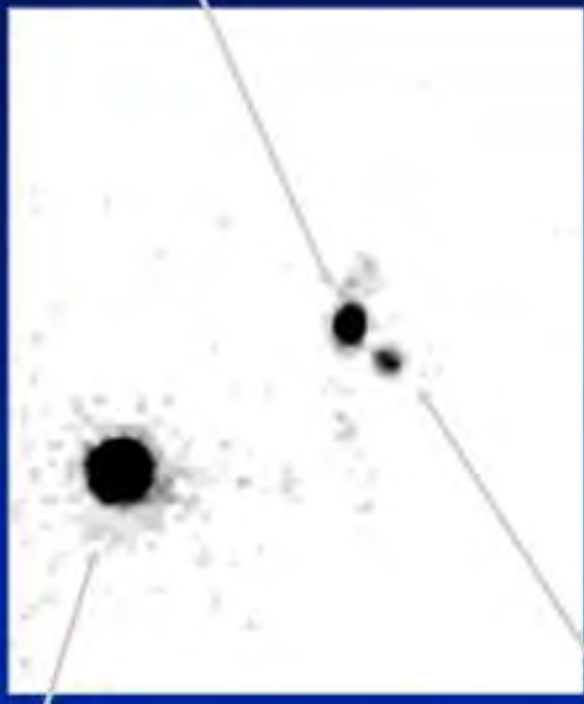
- Il coinvolgimento “tumorale” del linfonodo sentinella predice la diffusione metastatica del tumore agli altri linfonodi del bacino linfatico: tutti i linfonodi del bacino linfatico sono “sani” se il Linfonodo sentinella è “sano”.

La Biopsia e l'esame istologico del Linfonodo Sentinella permettono di evitare la dissezione ascellare senza rinunciare all'informazione sullo stato dei linfonodi ascellari.





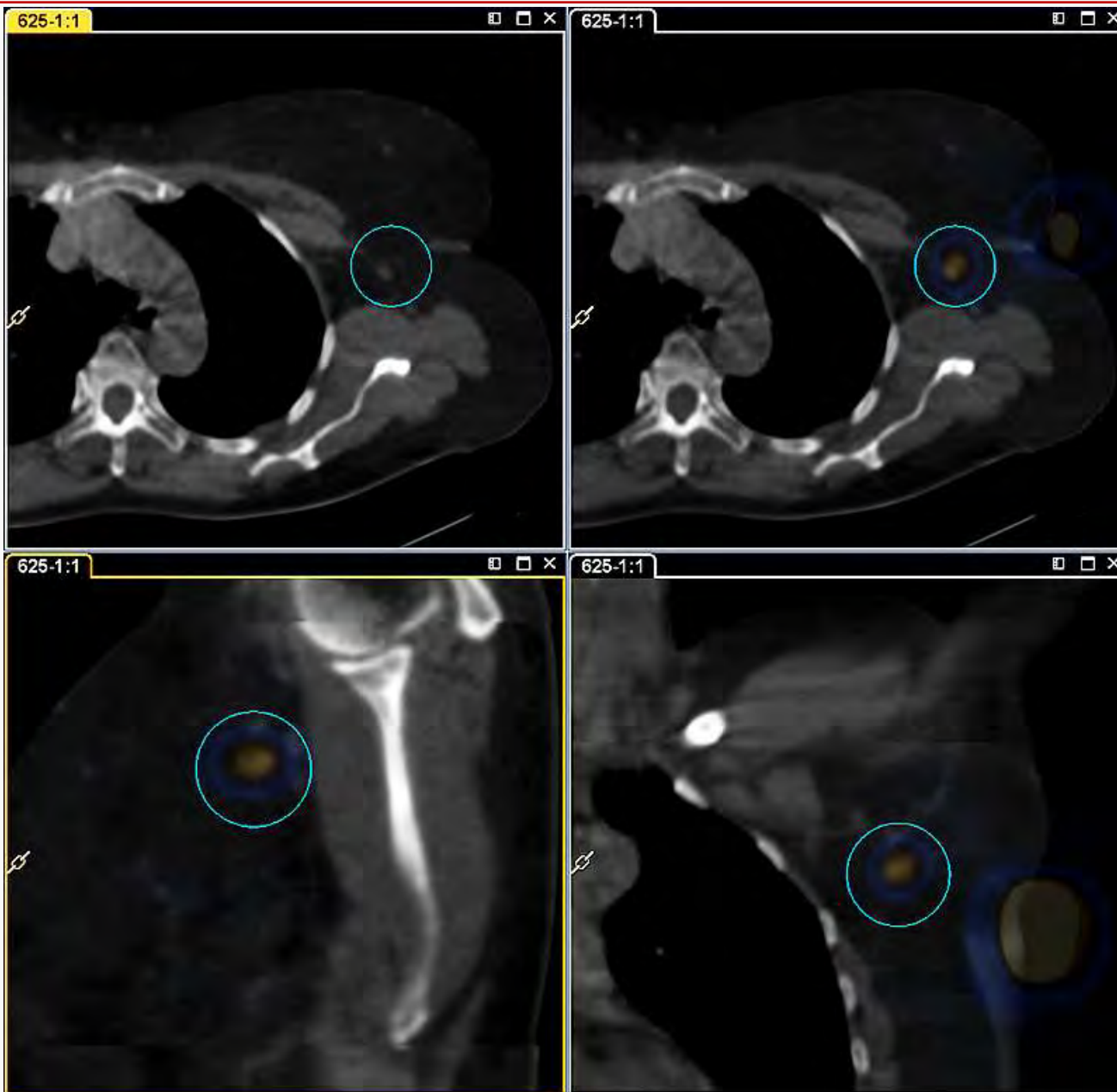
LN sentinella



Punto di inoculo

Altro LN

SPECT/CT - Studio Linfonodo Sentinella





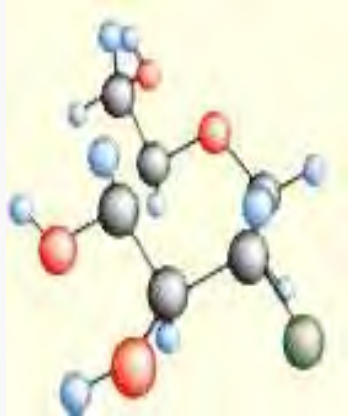
Tecnica

• Impiego della sonda

- Durante l'intervento chirurgico si utilizza una sonda per rilevare la radiazione gamma. La sonda viene passata molto lentamente e perpendicolare ai linfonodi del cavo ascellare per valutare il punto di maggiore emissione del segnale



PET :Tomografia ad Emissione di Positroni



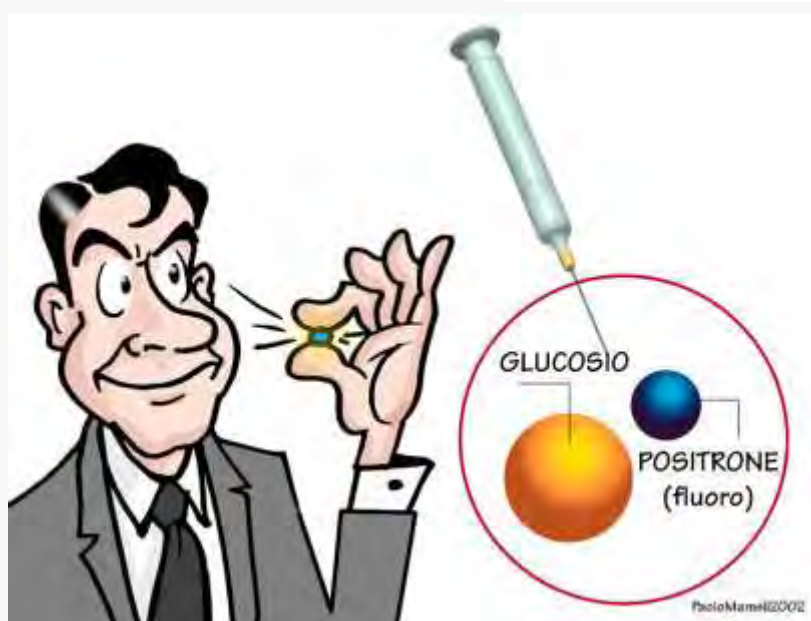
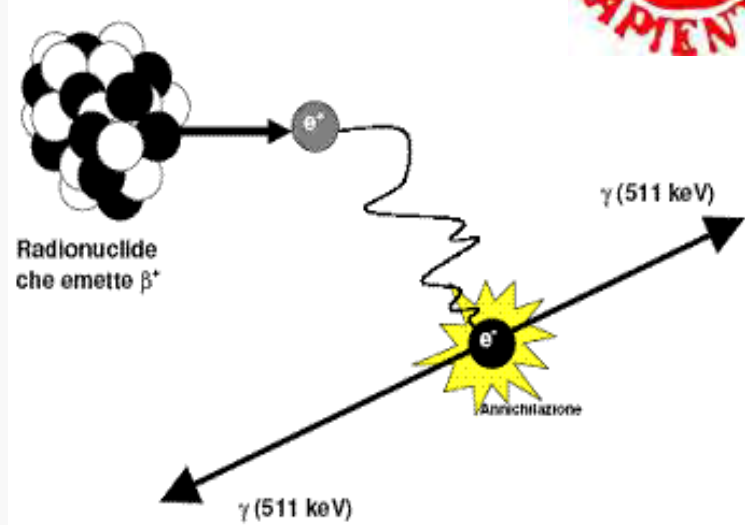
metodica non invasiva
di imaging funzionale



basata sull'impiego di traccianti radioattivi
che, inglobati in specifici complessi molecolari,
vengono somministrati al paziente in esame

PET?

PET/TC



Paolo Manelli 2002

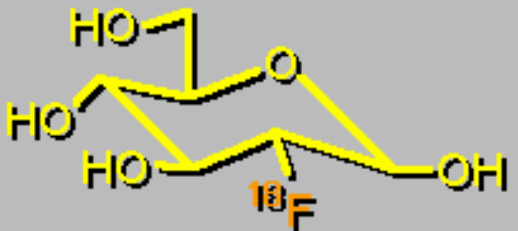
Isotopi β^+ + emittenti PET



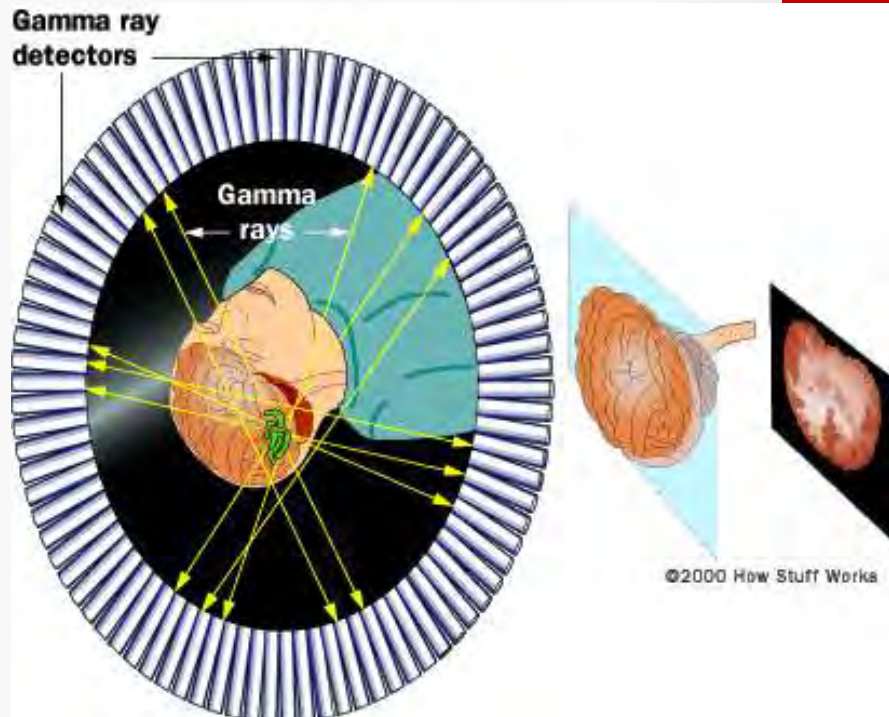
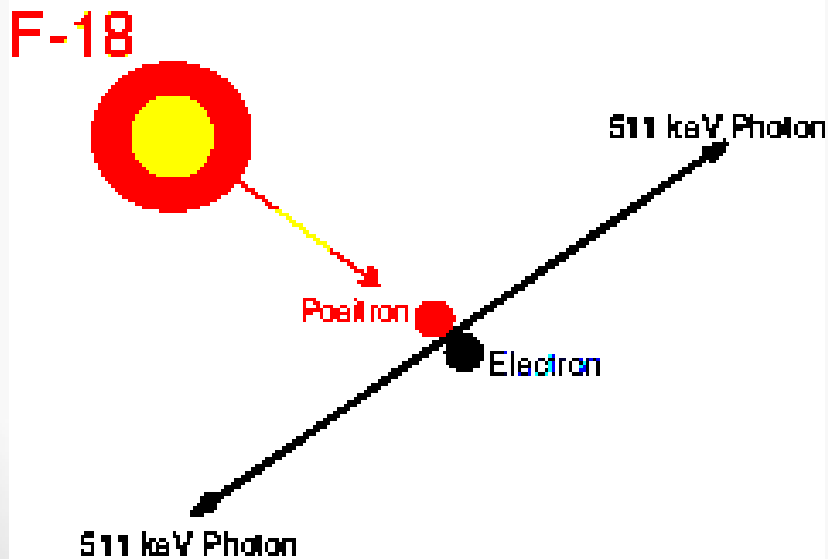
Isotopo β^+ $T_{1/2}$ (minuti)

^{11}C	20,3
^{13}N	10,0
^{15}O	1,8
^{18}F	109,0
^{68}Ga	68,3
^{75}Br	102,0
^{77}Kr	72,0
^{82}Rb	1,3

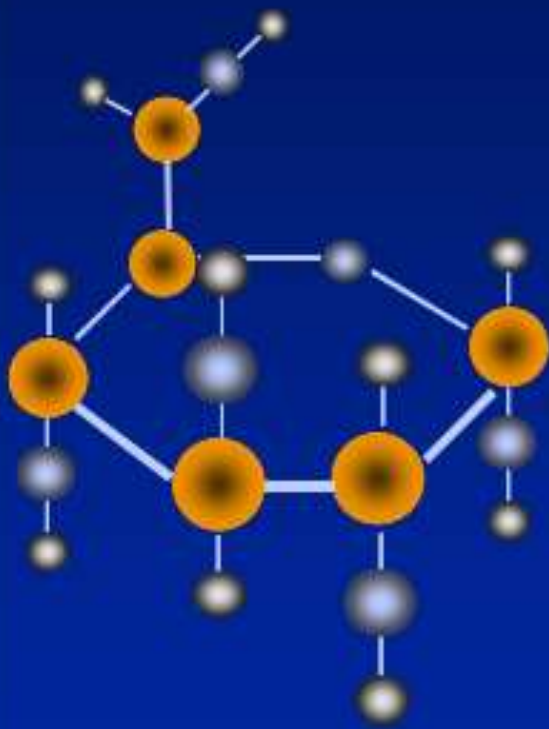
^{18}F -Fluorodesossiglucosio
(FDG)



Gli isotopi PET sono emettitori di positroni (e^+)



Radiofarmaci



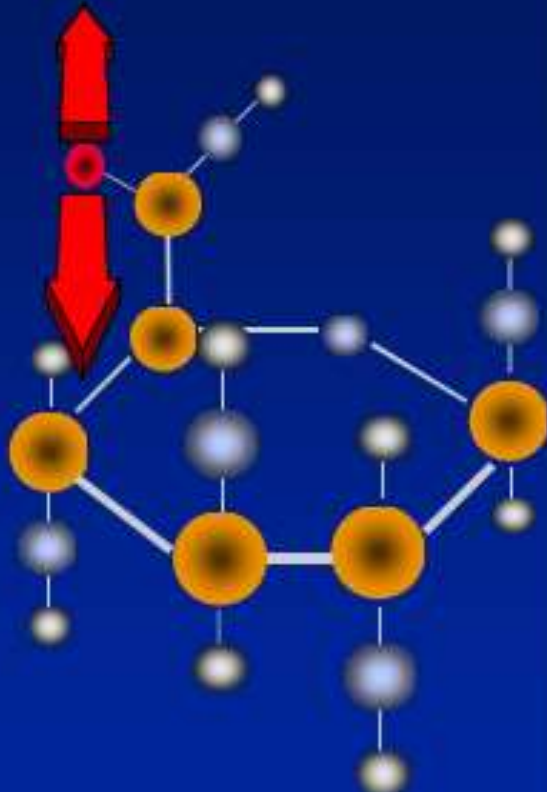
Glucosio

Carbonio

Ossigeno

Fluoro-18

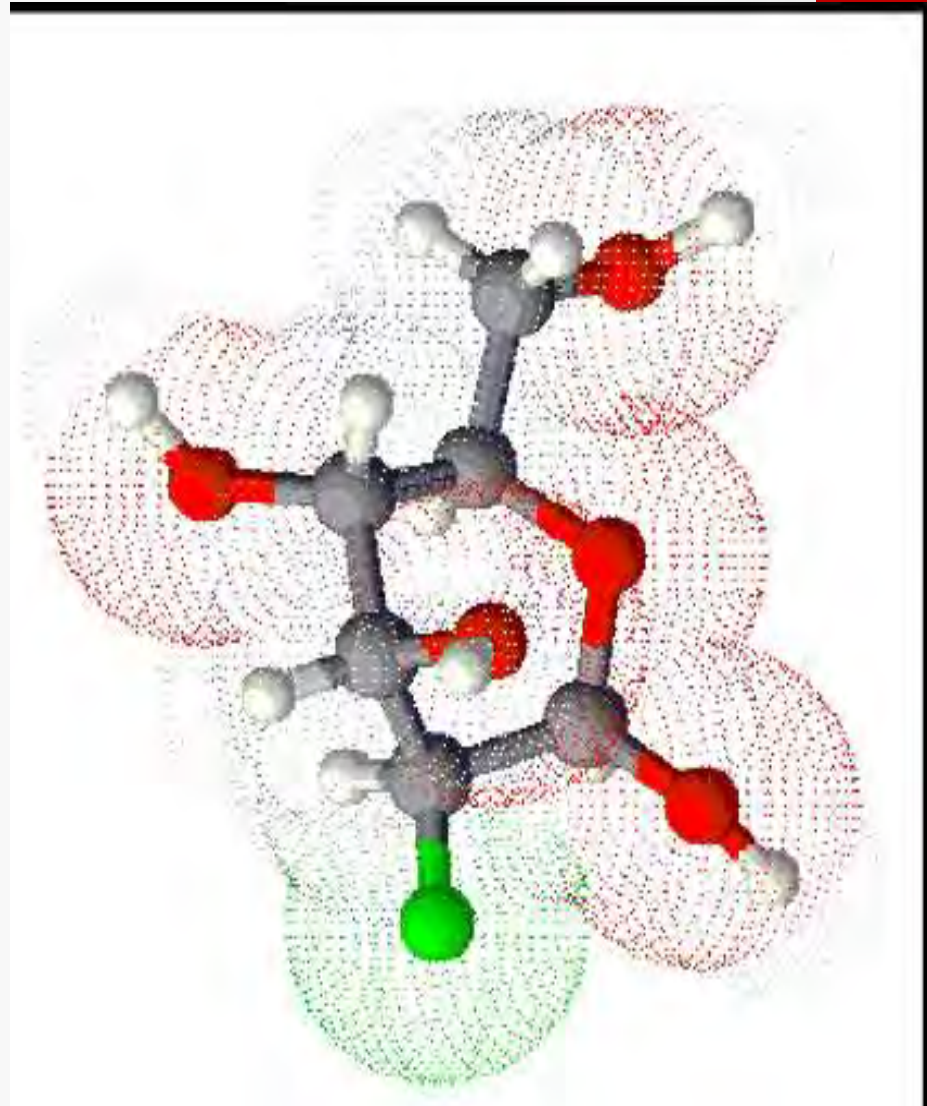
Idrogeno



^{18}F -fluorodesossiglucosio

[18F]-FDG Il radiofarmaco principe

- Il radiofarmaco più utilizzato in Medicina Nucleare PET (95% degli esami è il 18F-FDG)
- Il 18F-FDG è un analogo del glucosio a cui è stato sostituito un gruppo ossidrile (- OH) con il fluoro radioattivo
- E' un tracciante del metabolismo glucidico.

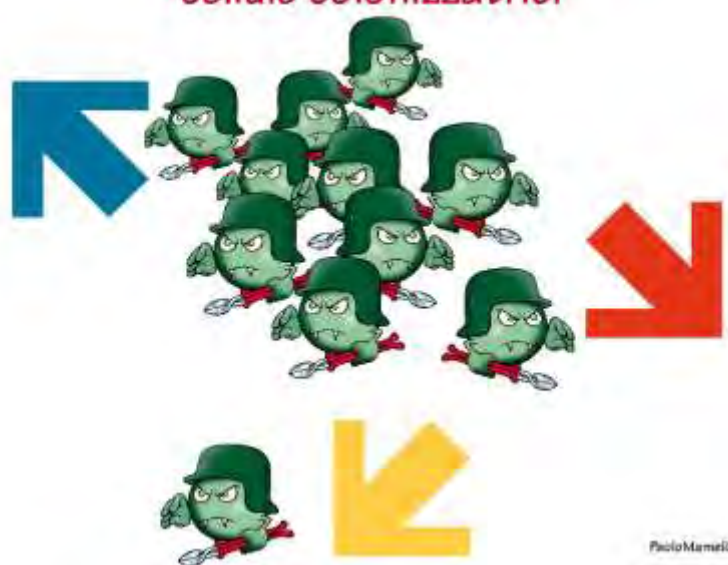


Radiofarmaci





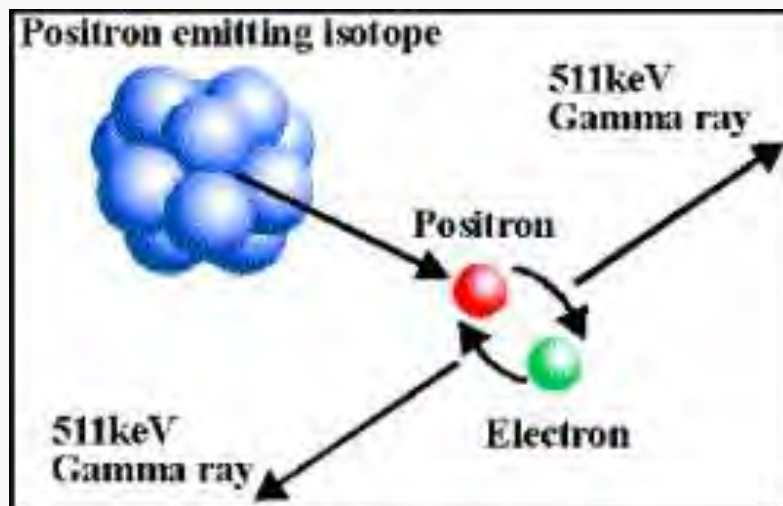
"cellule colonizzatrici"





**L'accumulo di FDG nel tumore
E' STRETTAMENTE CORRELATO
al numero di cellule vitali ed
all'attività metabolica**

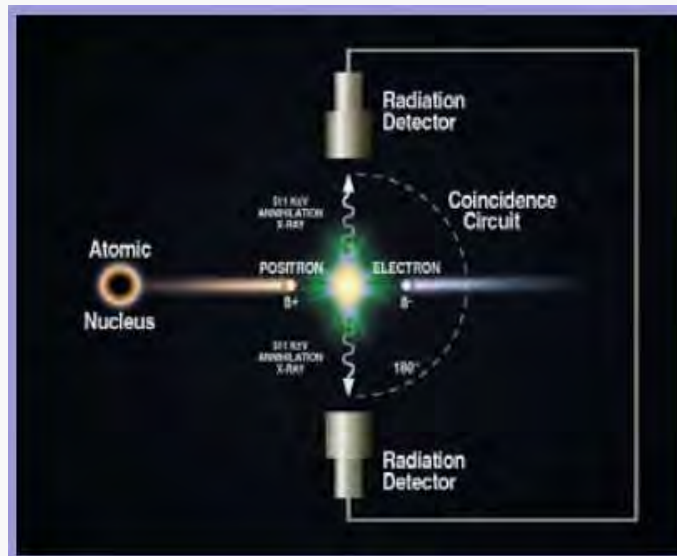
L' FDG iniettato al paziente si comporta come il glucosio e si accumula maggiormente in sedi ove la glicolisi è attivata in misura abnorme rispetto al consueto metabolismo aerobico, cosa che avviene in varie condizioni patologiche, come ad esempio nel contesto di tumori primitivi e di loro metastasi.





Una serie di rivelatori disposti a corona intorno al paziente, è in grado di registrare questi impatti catturando i fotoni opposti emessi durante le annichilazioni e trasformandoli in segnali elettrici.

- **Un calcolatore riceve queste informazioni e calcola la posizione dell'impatto. Con questi dati ricostruisce poi delle immagini in due o tre dimensioni della zona analizzata**
- **I raggi gamma, di energia pari a 0.511 MeV, essendo in grado di fuoriuscire dal corpo del paziente, possono essere facilmente rivelati.**



Il Metabolismo dei glucidi



- I glucidi vengono metabolizzati dalle cellule (cioè convertiti in energia) attraverso una serie di reazioni chimiche cicliche. La Glicolisi, Il ciclo di Krebs, La catena di trasporto degli elettroni
- Queste reazioni avvengono all'interno di ogni cellula del nostro corpo ma in alcuni tessuti (o per ragioni fisiologiche o a causa di malattia) la richiesta di energia è molto maggiore.

• **Cervello Cuore Tessuti Neoplastici**

- In queste cellule il fabbisogno e consumo di zuccheri risulta maggiorato rispetto alla norma

Il Metabolismo dei glucidi: Glucosio e FDG a confronto

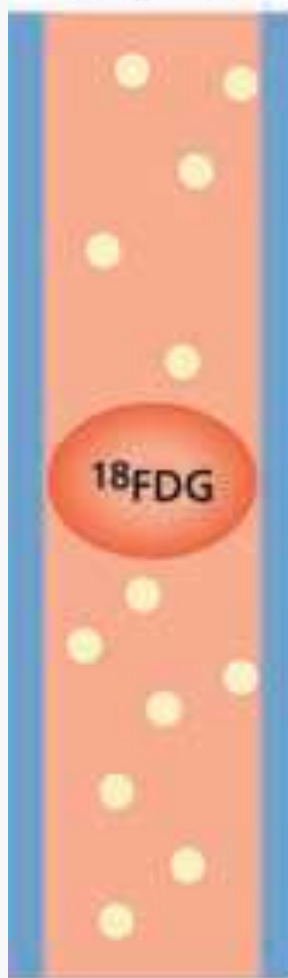


- L' FDG segue il metabolismo dei glucidi, inizia la glicolisi ma non è riconosciuto dal secondo enzima del ciclo (isomerasi) e rimane bloccato nelle cellule.
- In particolare le cellule neoplastiche hanno una intensa attività glicolitica e quindi accumulano maggiori quantità di farmaco.



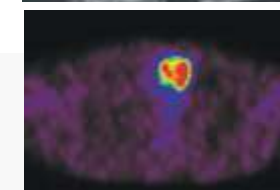
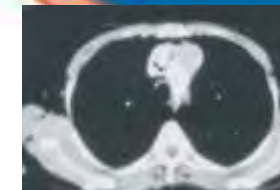
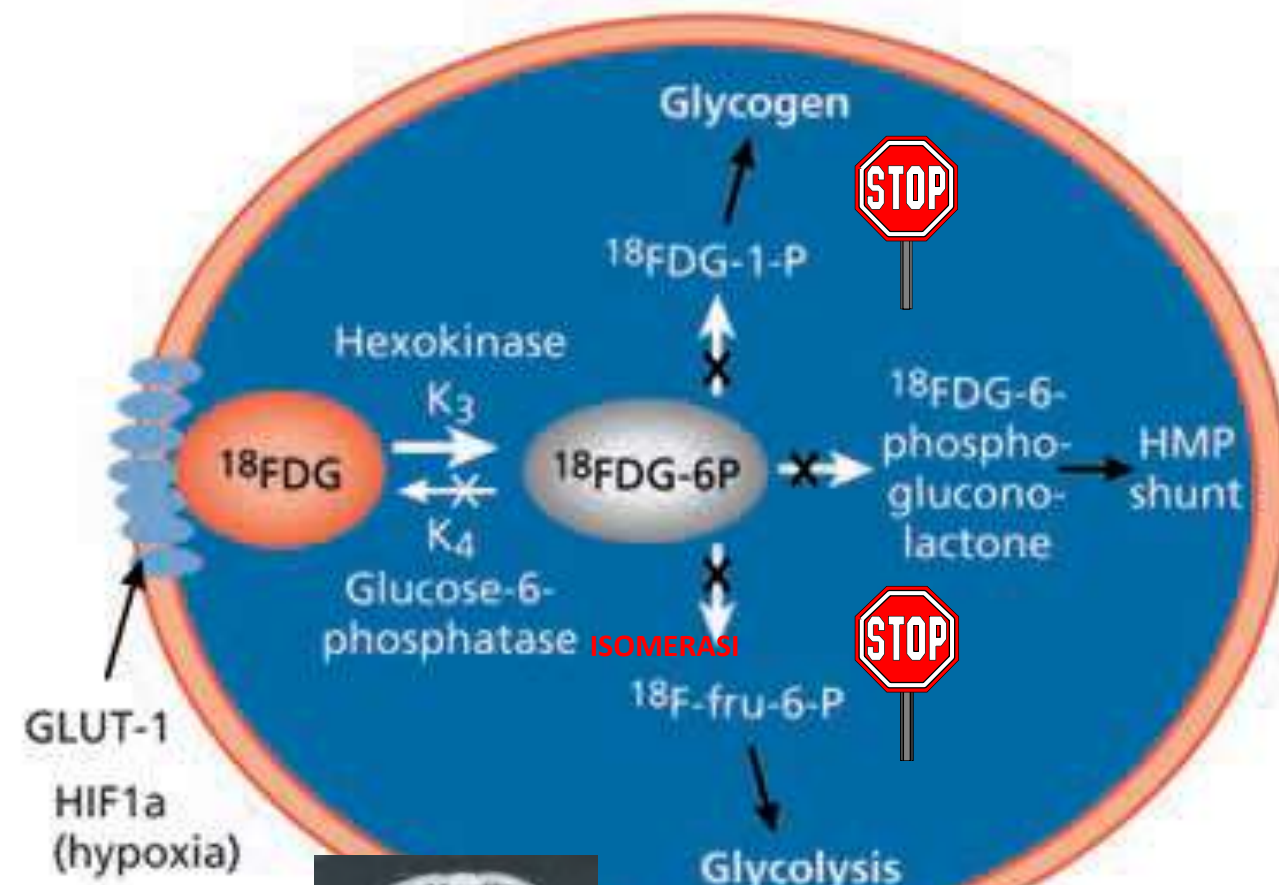
“Metabolic trapping” del FDG

Vascular



angiogenesis, bFGF, PDGF-BB, EGFR

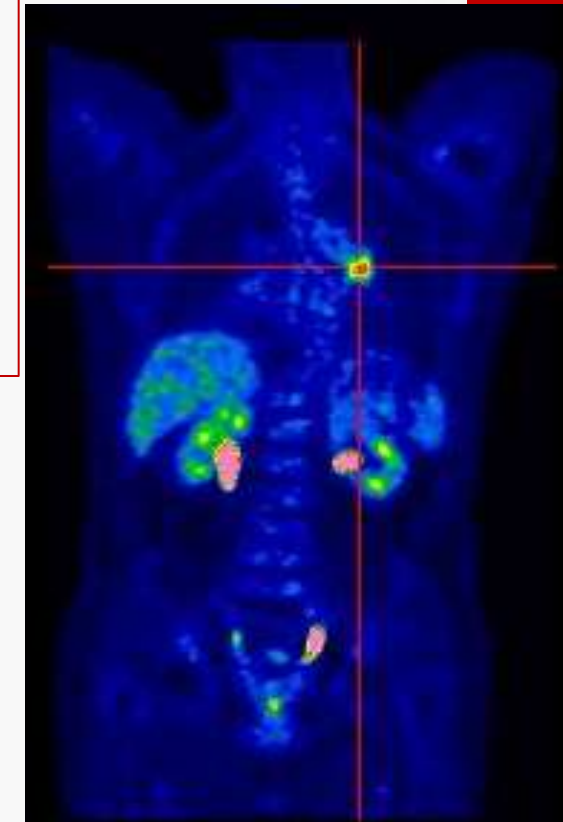
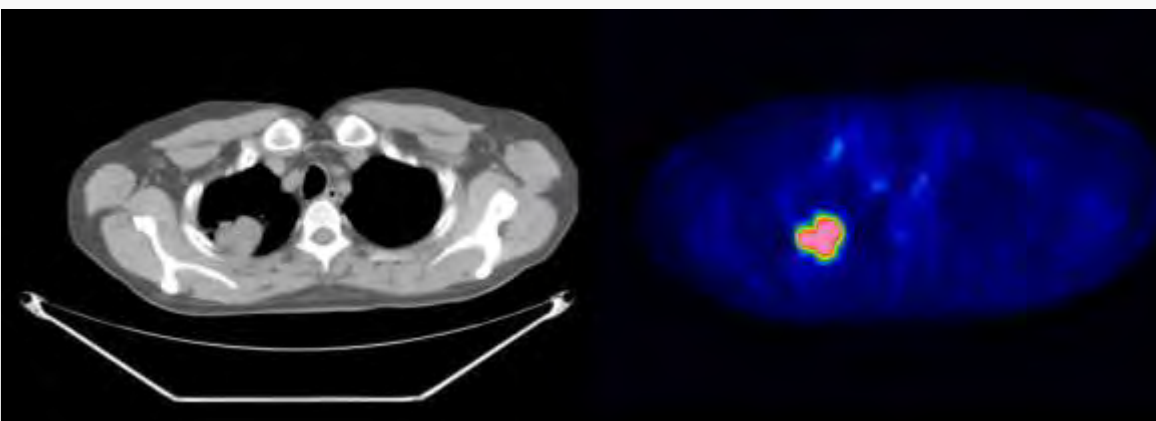
Cancer Cell

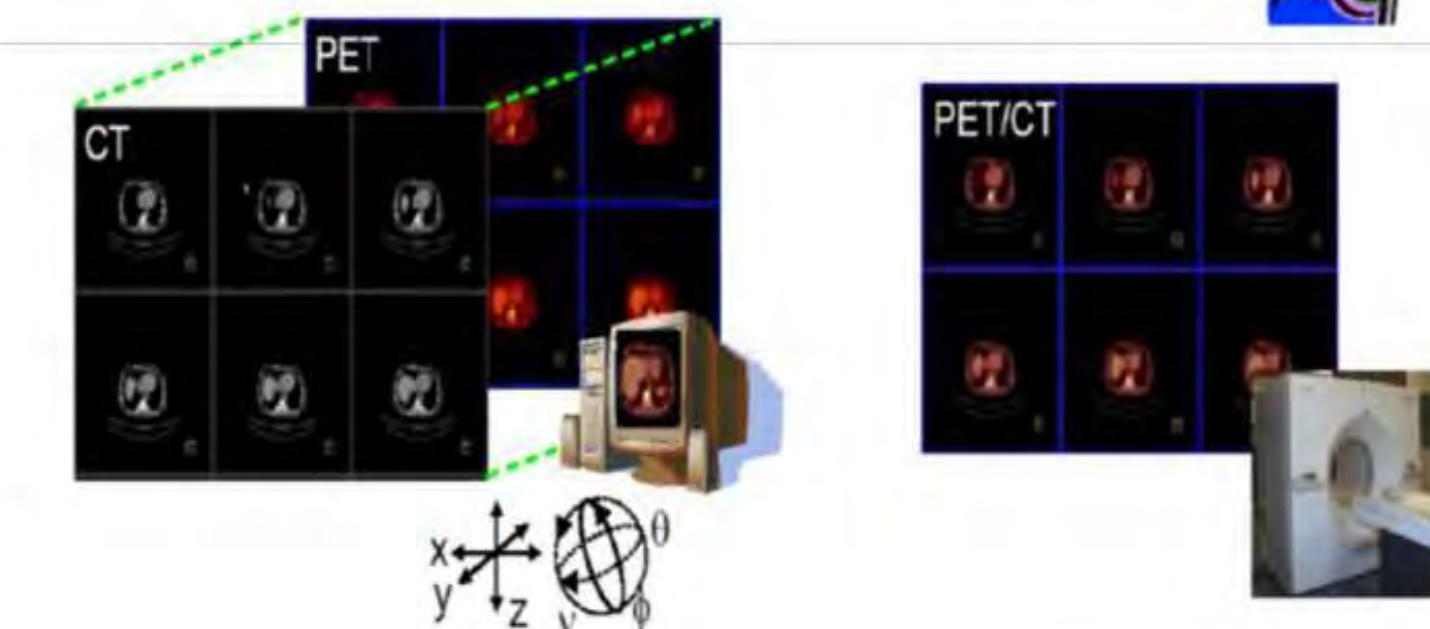
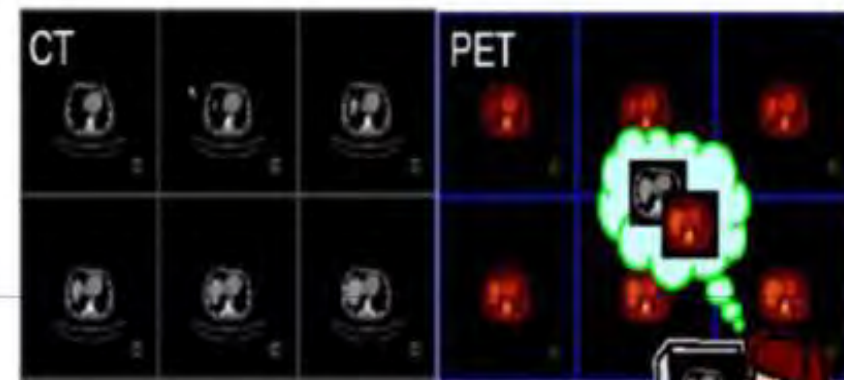


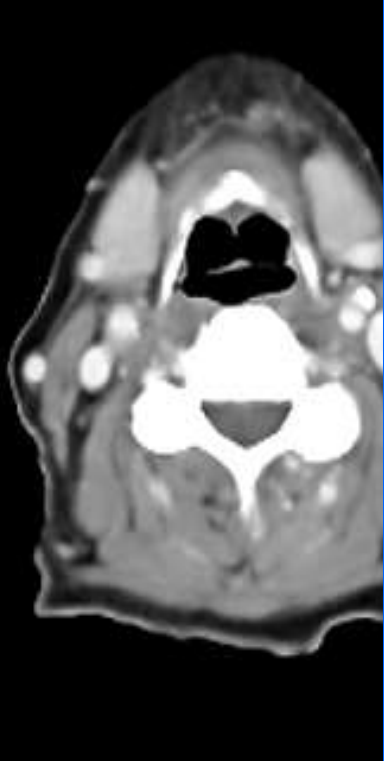
Rimane intrappolato nei tessuti tumorali con attiva glicolisi

Le cellule tumorali presentano caratteristiche alterazioni a livello genetico, a cui corrispondono modificazioni del comportamento metabolico

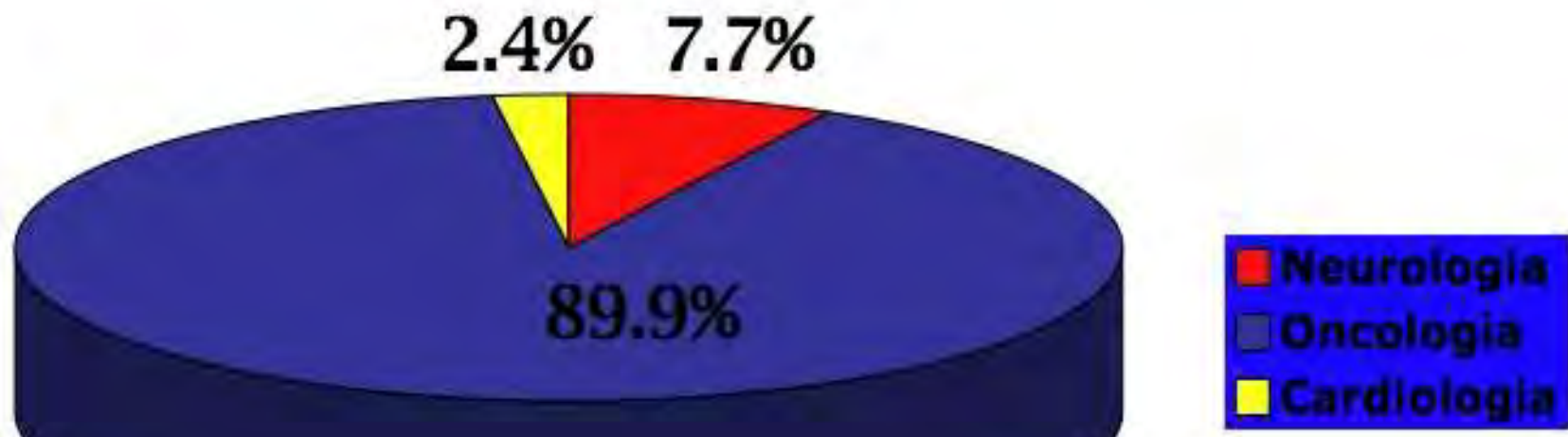
**L'accumulo di FDG nel tumore
E' STRETTAMENTE CORRELATO
al numero di
cellule vitali ed all'incremento dell'attività
metabolica glicolitica tumorale**



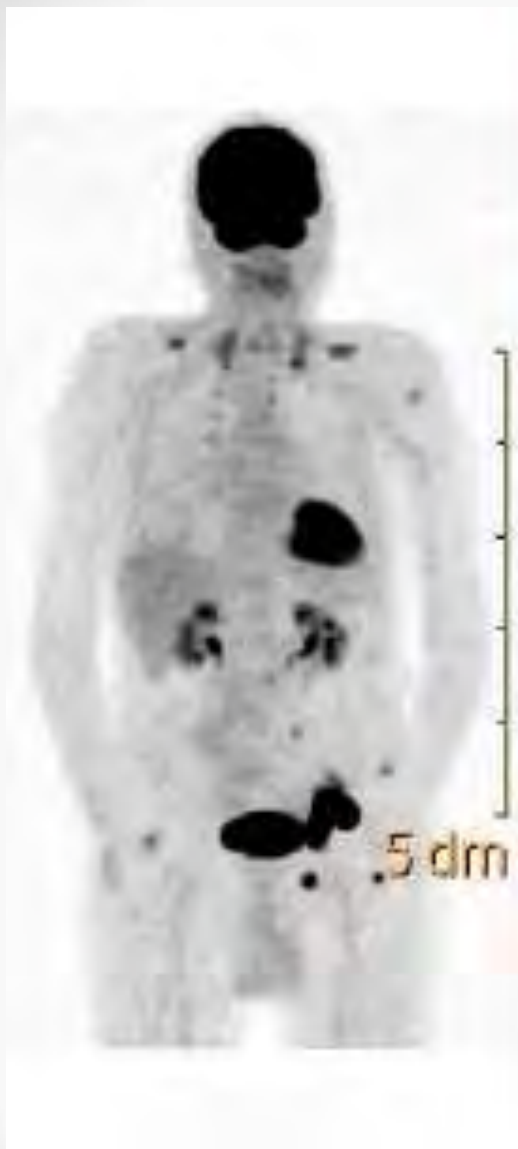




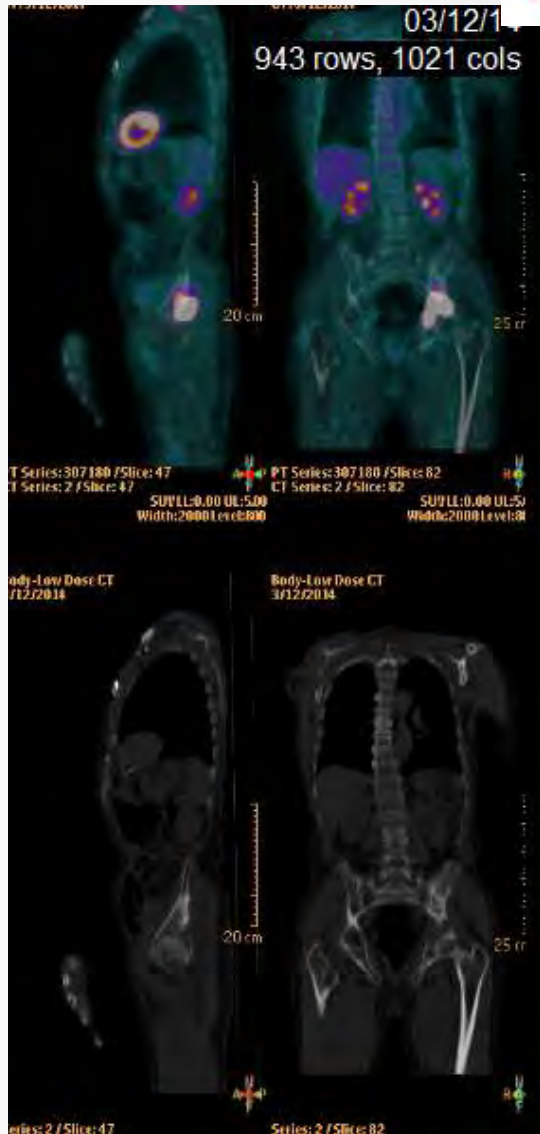
Applicazioni cliniche della FDG-PET

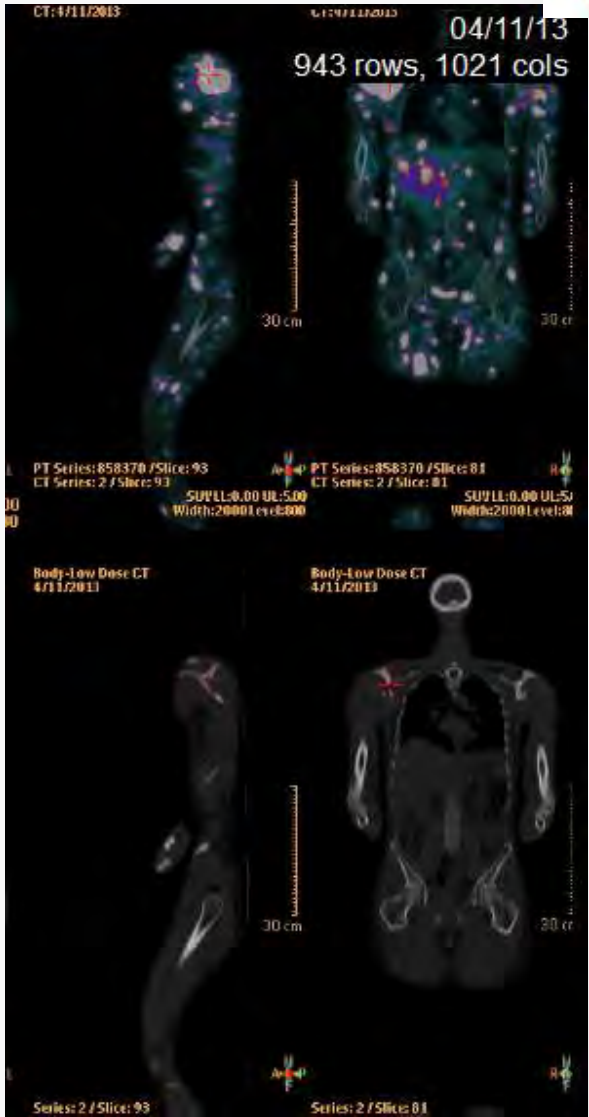
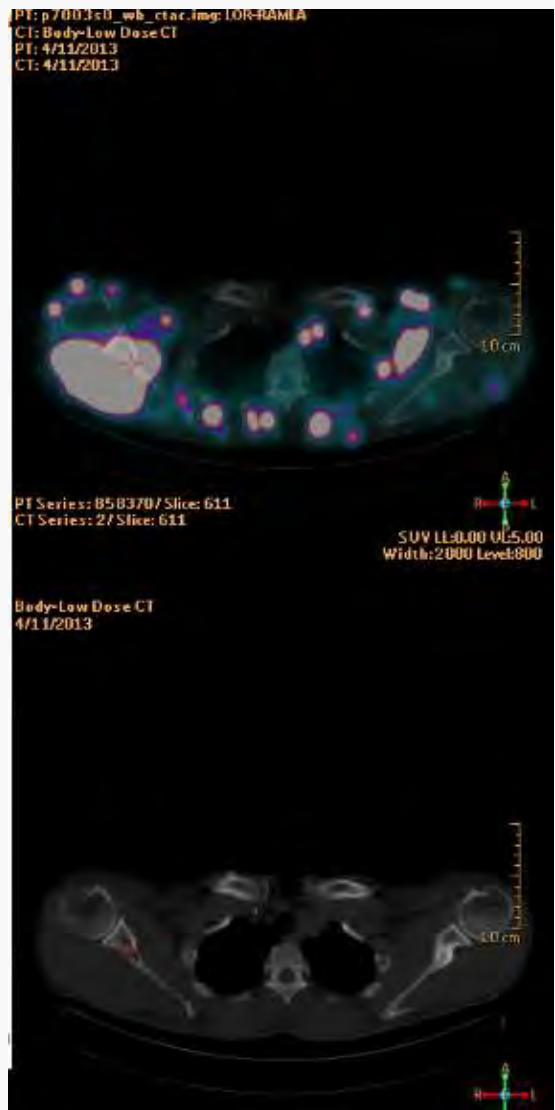


esami PET in Italia

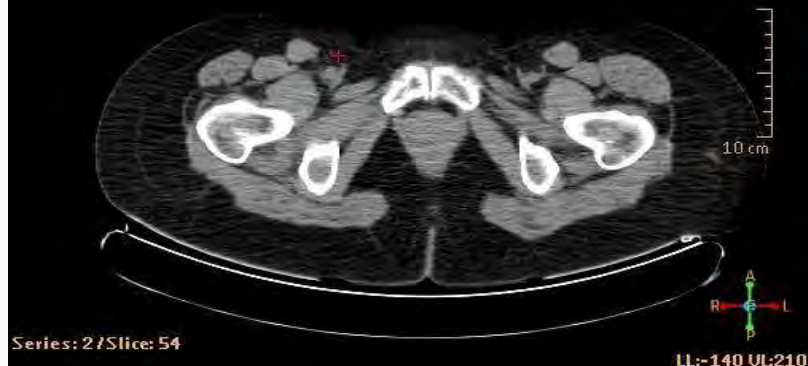


18F-Fluorodesossiglucosio
(FDG)

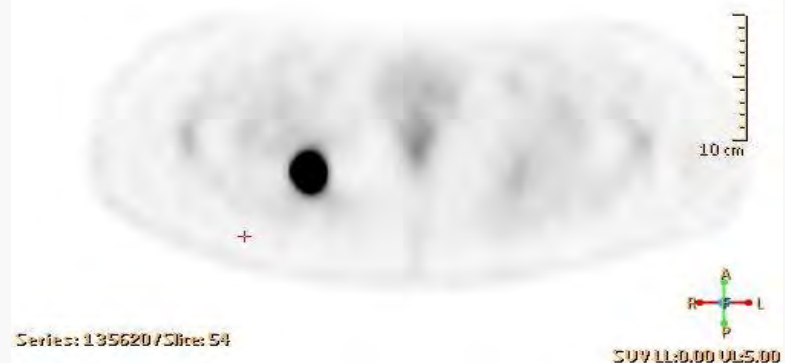




Body-Low Dose CT
5/27/2008



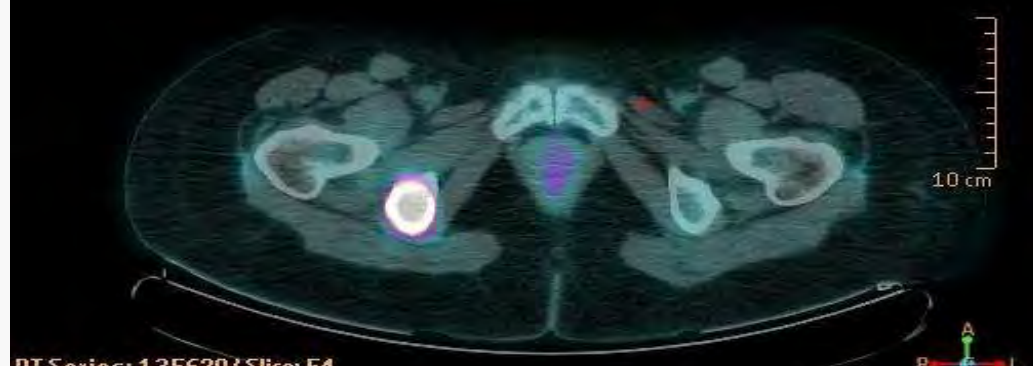
p552s0_wb_ctac.img: LOR-RAMLA
5/27/2008



PT: p552s0_wb_ctac.img: LOR-RAMLA
CT: Body-Low Dose CT
PT: 5/27/2008
CT: 5/27/2008

PT Series: 135620/Slice: 54
CT Series: 2/Slice: 54

SUV LL:0.00 UL:5.00
LL:-140 UL:210



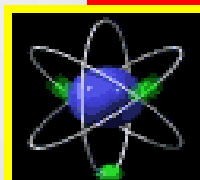


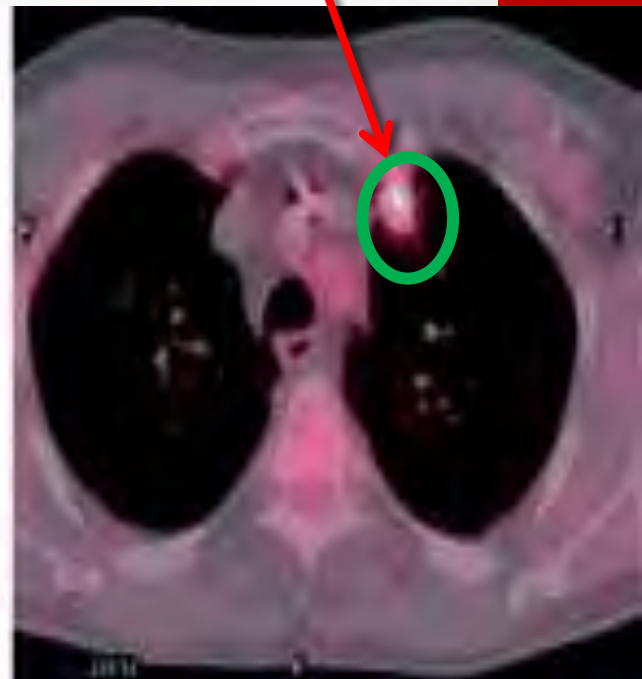
Standardized Uptake Value (SUV)

- Parametro semiquantitativo che normalizza la quantità di FDG in una ROI in rapporto all'attività iniettata ed al peso del paziente, corretta per il decadimento

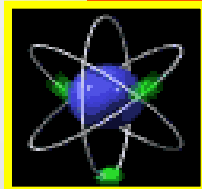
$$\text{SUV} = \frac{\text{Attività ROI (mCi/ml)}}{\text{Dose iniettata (mCi) / Peso pz. (gr)}}$$

- Può orientare la diagnosi differenziale tra una lesione benigna ed una neoplastica.
- Utile per valutare la risposta al trattamento.





PET/TC





PET Scans Have Limited Use in Some Situations

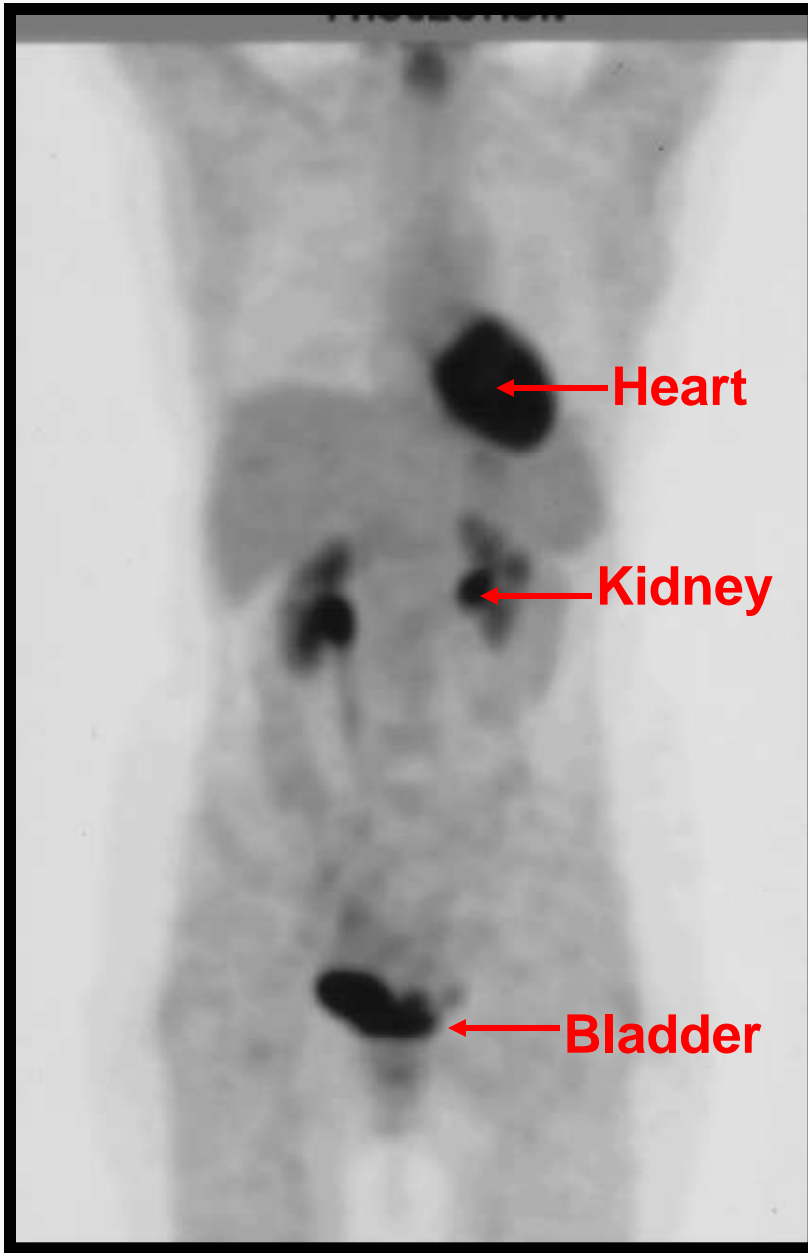
Normal retention in:

- brain
- heart
- bowel
- kidneys
- bladder

Infection can show increased FDG uptake.

A physician needs to interpret PET in the context of all the clinical information

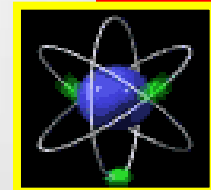




NORMAL FDG-PET



**NORMAL FDG UPTAKE
IN THE HEART,
KIDNEYS, BLADDER**

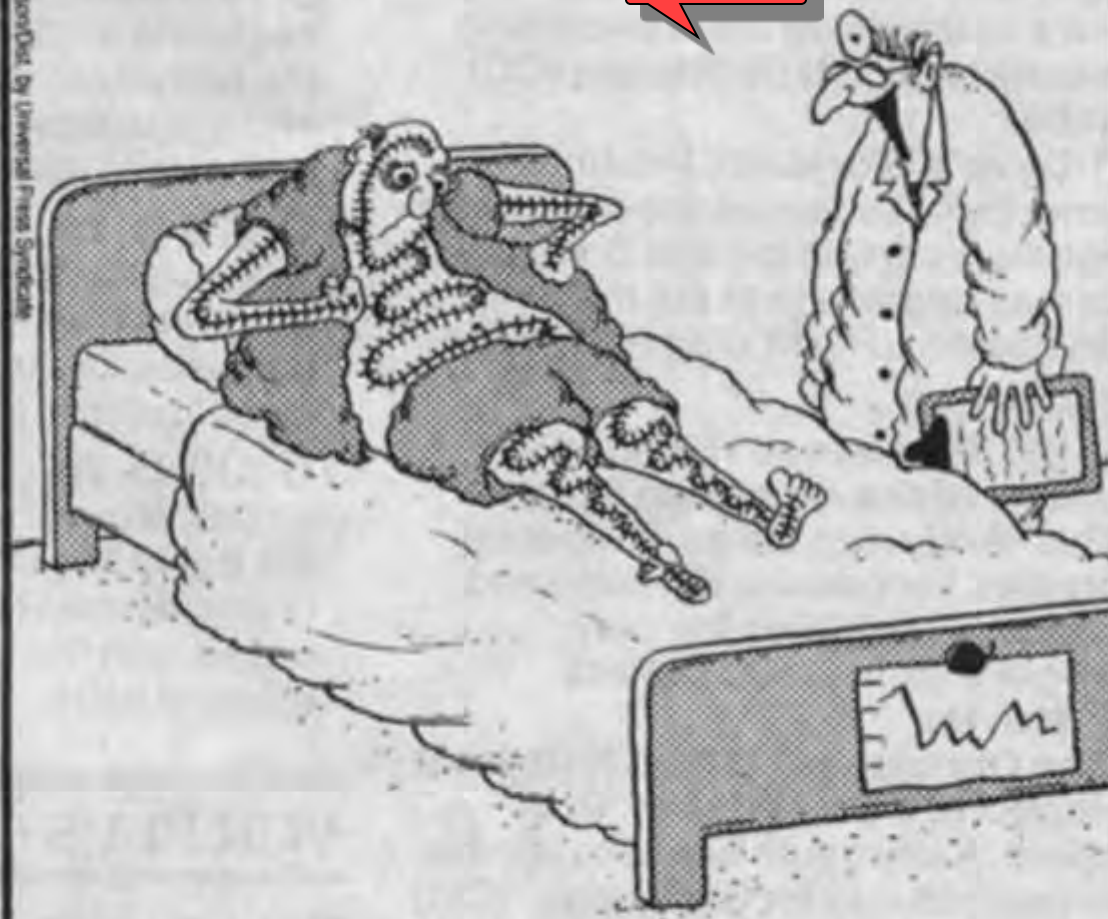


CLOSE TO HOME

JOHN MCPHERSON

© 1994 John McPherson by Universal Press Syndicate

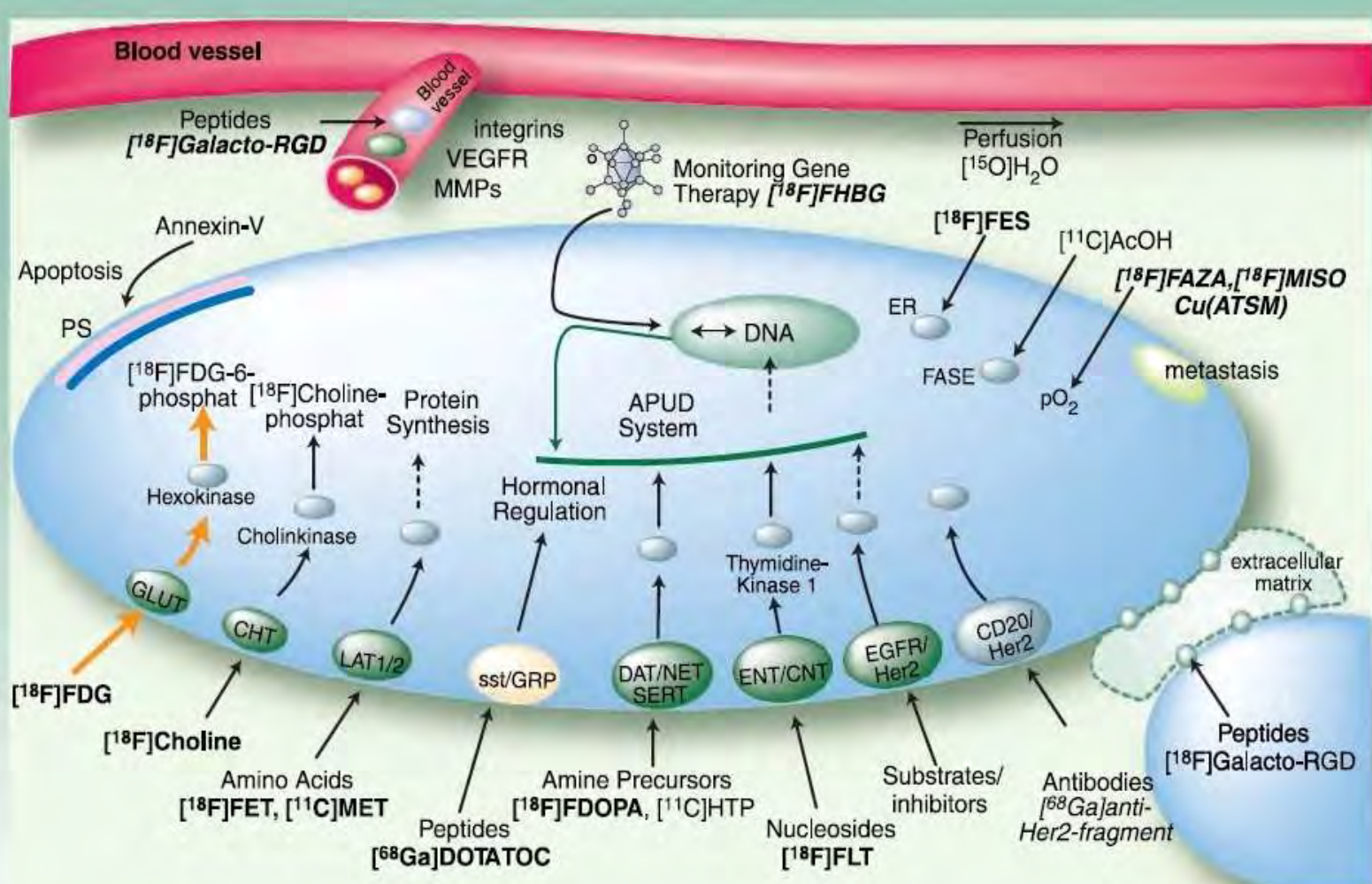
Why
PET?



"Good news! The exploratory surgery
turned up negative!"



Radiotracers of interest in oncology



Medicina Nucleare



Diagnosi

SPET

Tomografia ad emissione di fotone singolo
 ^{99m}Tc -MIBI

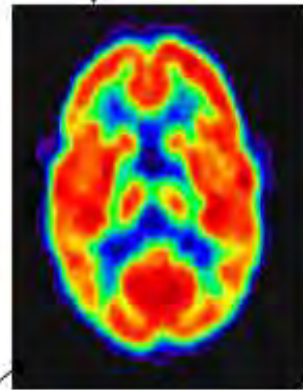
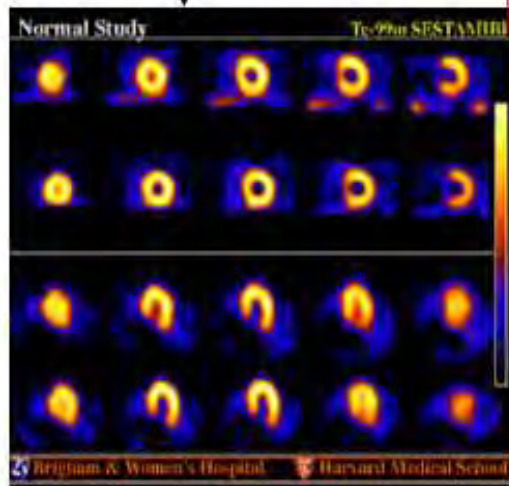


Terapia

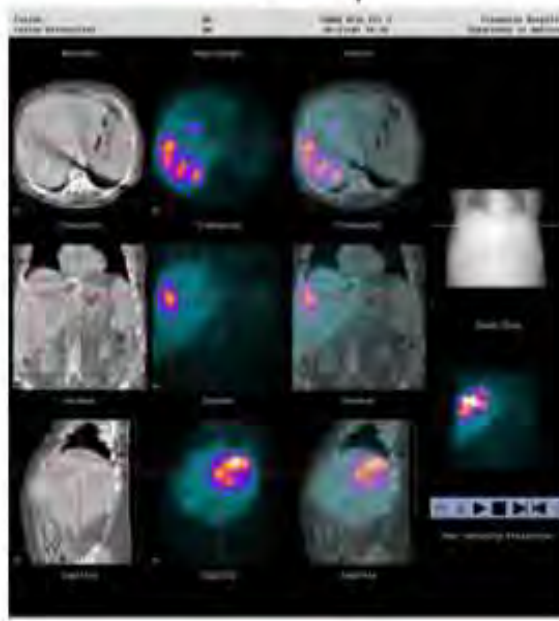
^{188}Re -Lipiodol
(componente γ)

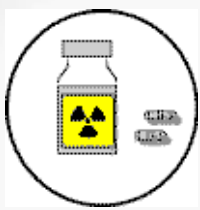


PET
Tomografia ad emissione di positroni
 ^{18}F -[FDG]

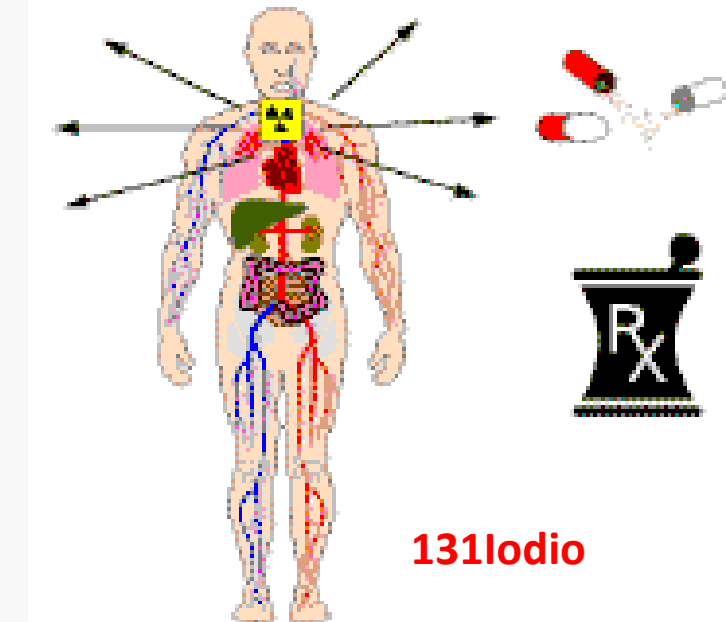
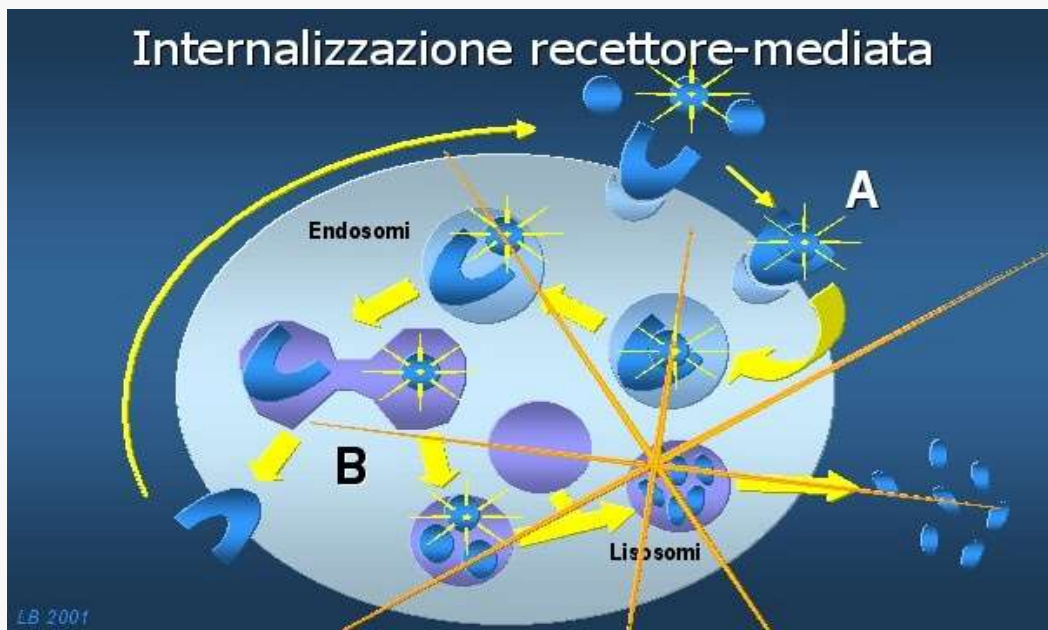


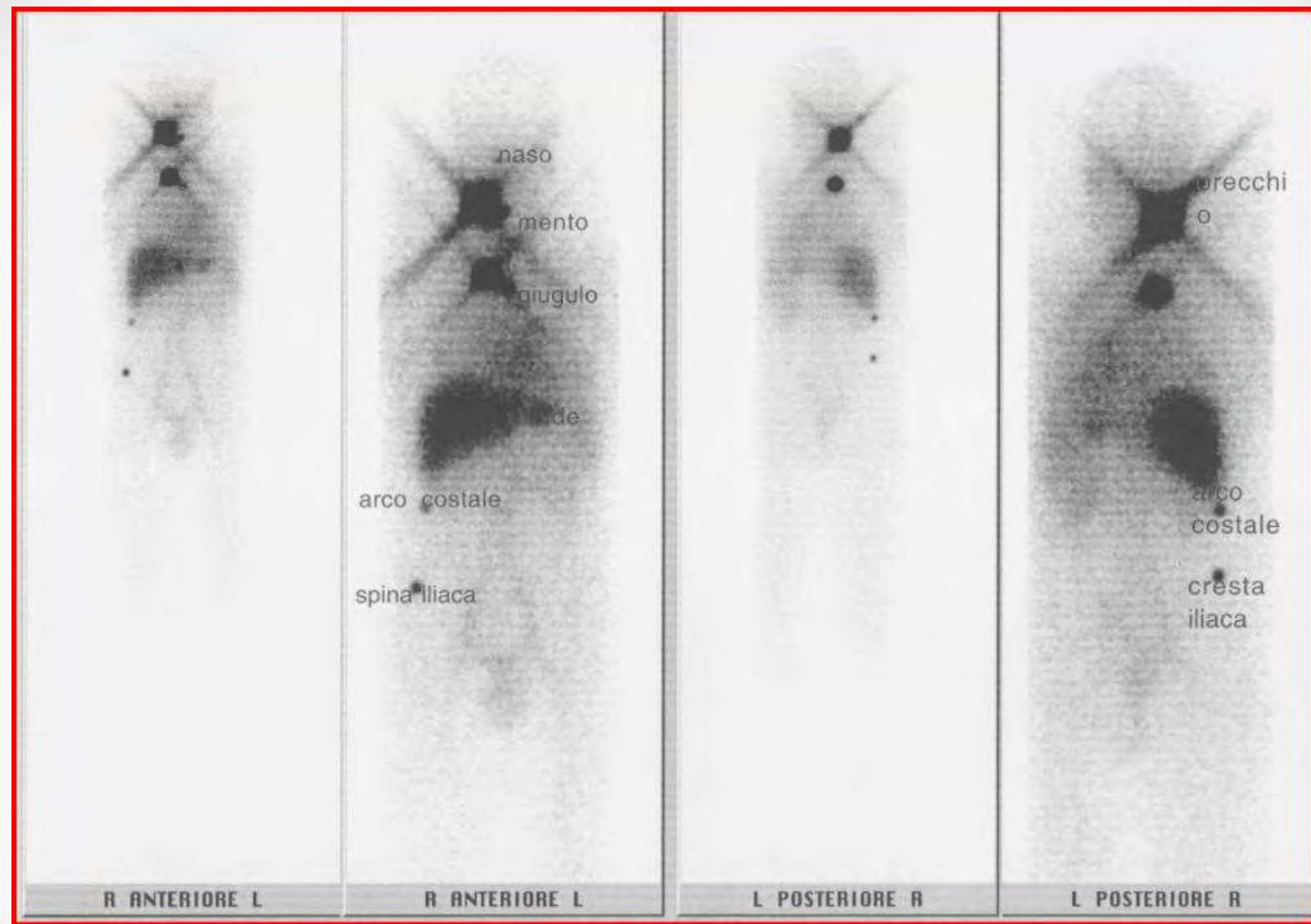
Scintigrafia





TERAPIA RADIOMETABOLICA





Carcinoma endocrino della testa del pancreas



TERAPIA RADIOMETABOLICA DELLE METASTASI OSSEE



Confronti tra radiofarmaci Efficacia terapeutica

radiofarmaco	risultati		durata	inizio	mielotossicità
	totale miglioramenti	scomparsa del dolore			
89-Sr cloruro	70-75%	20-25%	3-6 mesi	< 2 settim.	moderata
186-Re-HEDP	65-75%	18-20%	2-3 mesi	1-2 settim.	lieve
153-Sm-EDTMP	65-75%	30%	2-3 mesi	1-2 settim.	lieve



Science For A Better Life

Medical Use of Radium-223 Chloride

Advisory Committee on the Medical Uses of Isotopes

- **Product name** Radium-223 chloride solution for injection
- **Interim Tradename** Alpharadin
- **Chemical name** Radium-223 chloride ($^{223}\text{RaCl}_2$)
- **Proposed Indication** Treatment of castration resistant (hormone refractory) prostate cancer patients with bone metastases

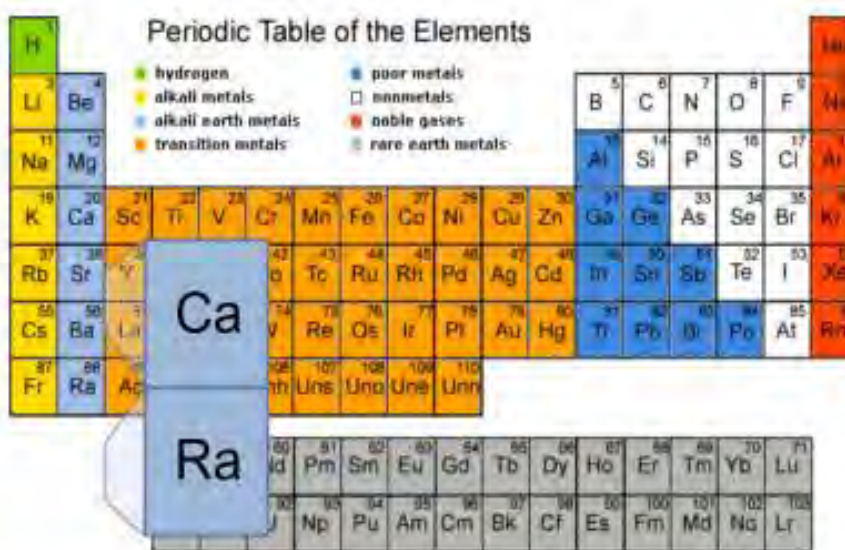


FDA-Approved Bone-Targeting Radionuclides for the Treatment of Bone Metastases

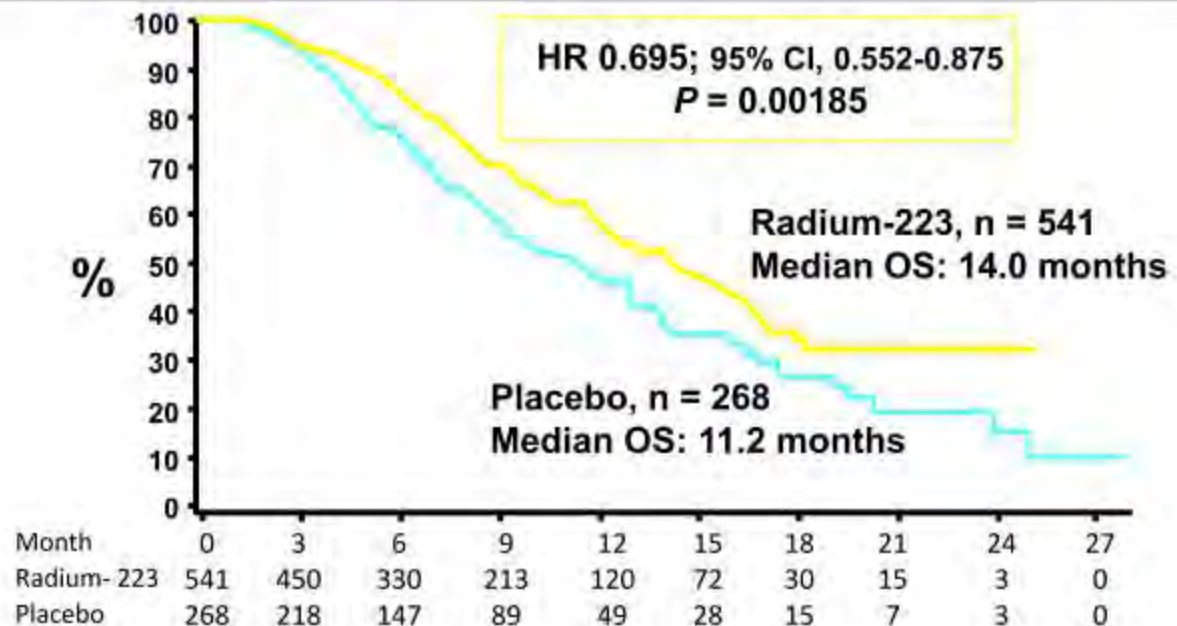
FDA Approval	Bone Agent	Indication
March 2013 ¹	Radium-223	Treatment of patients with castration-resistant prostate cancer, symptomatic bone metastases, and no known visceral metastatic disease
March 1997 ²	Samarium-153 lexidronam	Relief of pain in patients with confirmed osteoblastic metastatic bone lesions that enhance on radionuclide bone scan
June 1993 ³	Strontium-89	Relief of bone pain in patients with painful skeletal metastases

Radium-223 Targets Bone Metastases

- Radium-223 acts as a calcium mimetic
- Naturally targets new bone growth in and around bone metastases



ALSYMPCA Overall Survival

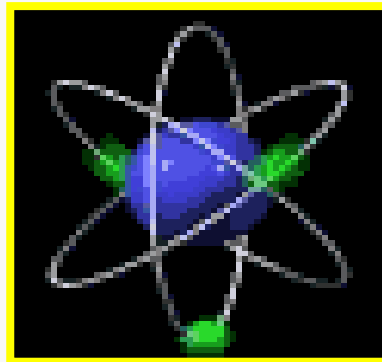




GRACIAS **THANK**
ARIGATO **YOU**
SHUKURIA **BOLZİN** **MERCI**
JUSPAXAR **GOZAIMASHITA** **MINMONCHAR**
DANKSCHEEN DANKSHEEN
SPASIBO SHACHALJRYA HOKH
TASHAKKUR ATU CHALTU YAQHANYELAY
MAKE MAKE SUKSAMA EKHMET
MAKAPSUMMINIDA MAKE SUKSAMA EKHMET
LAH LAH MEHRBANI PALLIES
HERASTAHIT GALJTHO AGUYJE FAKAAUE
KOMAPSUMMINIDA LAH MEHRBANI PALLIES
TAVAPUCH MIDAHAGSE ELMA
EFCHARISTO AGUYJE FAKAAUE

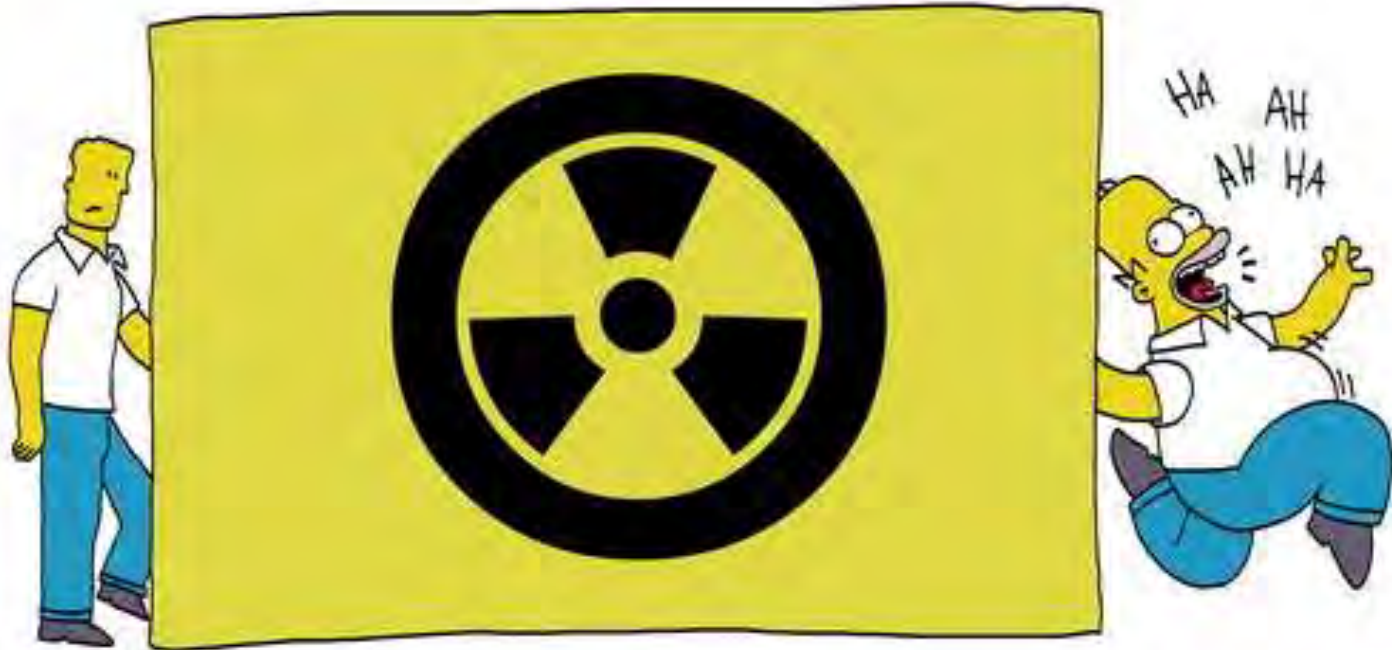
..... PIU' TARDI.....

VISITA AL REPARTO





NUCLEARE: COSA CI ASPETTERÀ...



vesdan 2008









REC(TIME)

11% 06/02/09 02:57:09



